

資料 10-2

泊発電所 3号炉 審査資料	
資料番号	SA48H-9 r.0.0
提出年月日	令和5年4月28日

## 泊発電所 3号炉

設置許可基準規則等への適合状況について  
(重大事故等対処設備)  
補足説明資料  
比較表

48条

令和5年4月  
北海道電力株式会社

枠囲みの内容は機密情報に属しますので公開できません。

赤字：設備、運用又は体制の相違（設計方針の相違）  
 青字：記載箇所又は記載内容の相違（記載方針の相違）  
 緑字：記載表現、設備名称の相違（実質的な相違なし）

48条 最終ヒートシンクへ熱を輸送するための設備

大阪発電所3 / 4号炉	泊発電所3号炉	相違理由
<p>48-8 格納容器再循環ユニットによる自然対流冷却について</p>	<p>48-11 格納容器再循環ユニットによる自然対流冷却について</p>	

泊発電所3号炉 SA基準適合性 比較表

赤字：設備、運用又は体制の相違（設計方針の相違）  
 青字：記載箇所又は記載内容の相違（記載方針の相違）  
 緑字：記載表現、設備名称の相違（実質的な相違なし）

48条 最終ヒートシンクへ熱を輸送するための設備

大阪発電所3 / 4号炉	泊発電所3号炉	相違理由
<p><u>格納容器再循環ユニットによる自然対流冷却について</u></p> <p>大阪3、4号炉の格納容器再循環ユニットによる自然対流冷却について次頁以降に示す。</p>	<p><u>格納容器再循環ユニットによる自然対流冷却について</u></p> <p>泊3号炉の格納容器再循環ユニットによる自然対流冷却について次頁以降に示す。</p>	

赤字：設備、運用又は体制の相違（設計方針の相違）  
 青字：記載箇所又は記載内容の相違（記載方針の相違）  
 緑字：記載表現、設備名称の相違（実質的な相違なし）

48条 最終ヒートシンクへ熱を輸送するための設備

大阪発電所3 / 4号炉	泊発電所3号炉	相違理由
<p style="text-align: center;">目次</p> <p>1章 はじめに</p> <p>2章 格納容器再循環ユニット冷却コイル性能試験概要（PWR5電力共研概要）</p> <p>2.1 性能試験</p> <p>2.1.1 試験に使用する冷却コイルの選定</p> <p>2.1.2 測定項目の設定</p> <p>2.1.3 試験装置</p> <p>2.1.4 試験条件の設定</p> <p>2.1.5 試験方法</p> <p>3章 除熱評価式の試験による検証</p> <p>3.1 除熱評価式について</p> <p>3.2 除熱評価式の試験での検証</p> <p>4章 自然対流冷却時の除熱性能評価</p> <p>4.1 ドラフト力計算について</p> <p>4.2 系統圧力損失計算について</p> <p>4.3 冷却コイル部の凝縮水等の影響考慮について</p> <p>4.4 自然対流冷却の除熱量評価手順について</p> <p>5章 除熱量計算手法の妥当性に関する考察</p> <p>5.1 不凝縮性ガスの除熱性能に対する影響について</p> <p>5.2 冷却コイル性能試験範囲の妥当性について</p> <p>6章 まとめ</p> <p>(添付資料)</p> <p>参考資料-0 格納容器再循環ユニットの実機条件</p> <p>参考資料-1 冷却コイル高さ方向での熱容量の余裕について</p> <p>参考資料-2 エアロゾルによる自然対流冷却除熱性能劣化について</p> <p>参考資料-3 格納容器再循環ユニットのダクト内外での水素燃焼影響について</p> <p>参考資料-4 格納容器再循環ユニットによる自然対流冷却時の沸騰防止運用について</p> <p>参考資料-5 OECD PANDA 試験の知見を踏まえた自然対流冷却に関する考察</p> <p>参考資料-6 格納容器再循環ユニットによる格納容器内自然対流冷却の水素影響について</p> <p>参考資料-7 実機における凝縮水の影響について</p> <p>参考資料-8 格納容器再循環ユニットによる自然対流冷却発生プロセスの定量的考察</p> <p>参考資料-9 格納容器再循環ユニットラフフィルタ撤去による影響について</p>	<p style="text-align: center;">目次</p> <p>1章 はじめに</p> <p>2章 格納容器再循環ユニット冷却コイル性能試験概要（PWR5電力共研概要）</p> <p>2.1 性能試験</p> <p>2.1.1 試験に使用する冷却コイルの選定</p> <p>2.1.2 測定項目の設定</p> <p>2.1.3 試験装置</p> <p>2.1.4 試験条件の設定</p> <p>2.1.5 試験方法</p> <p>3章 除熱評価式の試験による検証</p> <p>3.1 除熱評価式について</p> <p>3.2 除熱評価式の試験での検証</p> <p>4章 自然対流冷却時の除熱性能評価</p> <p>4.1 ドラフト力計算について</p> <p>4.2 系統圧力損失計算について</p> <p>4.3 冷却コイル部の凝縮水等の影響考慮について</p> <p>4.4 自然対流冷却の除熱量評価手順について</p> <p>5章 除熱量計算手法の妥当性に関する考察</p> <p>5.1 不凝縮性ガスの除熱性能に対する影響について</p> <p>5.2 冷却コイル性能試験範囲の妥当性について</p> <p>6章 まとめ</p> <p>(添付資料)</p> <p>参考資料-0 格納容器再循環ユニットの実機条件</p> <p>参考資料-1 冷却コイル高さ方向での熱容量の余裕について</p> <p>参考資料-2 エアロゾルによる自然対流冷却除熱性能劣化について</p> <p>参考資料-3 格納容器再循環ユニットのダクト内外での水素燃焼影響について</p> <p>参考資料-4 格納容器再循環ユニットによる自然対流冷却時の沸騰防止運用について</p> <p>参考資料-5 OECD PANDA 試験の知見を踏まえた自然対流冷却に関する考察</p> <p>参考資料-6 格納容器再循環ユニットによる格納容器内自然対流冷却の水素影響について</p> <p>参考資料-7 実機における凝縮水の影響について</p> <p>参考資料-8 格納容器再循環ユニットによる自然対流冷却発生プロセスの定量的考察</p> <p>参考資料-9 格納容器再循環ユニット粗フィルタ撤去による影響について</p>	<p>設備名称の相違</p>



赤字：設備、運用又は体制の相違（設計方針の相違）  
 青字：記載箇所又は記載内容の相違（記載方針の相違）  
 緑字：記載表現、設備名称の相違（実質的な相違なし）

48条 最終ヒートシンクへ熱を輸送するための設備

大阪発電所3/4号炉	泊発電所3号炉	相違理由
<p>1章 審査会合指摘事項</p> <p>1. 1 はじめに</p> <p>格納容器再循環ユニットは、原子炉冷却材喪失事故（LOCA）、全交流電源喪失（SBO）及び最終ヒートシンク喪失（LUHS）の事象の重量を想定するような重大事故発生時において、冷却水を通水し自然対流による格納容器気相部冷却を行うことにより、炉心及び格納容器の損傷防止を図る設備である。</p> <p>ここで、格納容器再循環ユニットは、自然対流冷却性能の観点から、自然対流冷却時に使用するA、D-格納容器再循環ユニットのラフフィルタを取外し、流路の圧力損失を低減することで、自然対流量を増大させている。</p> <p>本書は、ラフフィルタを取外した格納容器再循環ユニット冷却コイルの除熱評価式及び除熱評価式を検証するために実施した試験、並びに除熱評価式を用いた重大事故時における格納容器再循環ユニットによる自然対流冷却の除熱性能評価手順についてまとめたものであり、以下の構成としている。</p> <p>2章は、PWR5電力共研として実施した、格納容器再循環ユニット冷却コイルの性能試験の概要について述べる。</p> <p>3章は、冷却コイルの性能試験で得られた結果を踏まえた冷却コイル単体における除熱評価式の妥当性の検証結果について述べる。</p> <p>4章は、冷却コイル単体の除熱評価式を踏まえて、フィルタ・冷却コイル・ダクト等で構成される格納容器再循環ユニットにおける自然対流冷却時の除熱性能評価手法について述べる。</p> <p>5章は、除熱量評価手法の妥当性に関する考察を行った結果について述べる。</p> <p>2章 格納容器再循環ユニット冷却コイル性能試験概要（PWR5電力共研概要）</p> <p>重大事故時に格納容器内の圧力・温度を低減させ格納容器の破損を防止する格納容器再循環ユニットについて、冷却コイル性能を評価する除熱評価式の確認を行うため、実機サイズの冷却コイルによる冷却性能試験を実施した。また、発生した凝縮水による冷却コイル下段での混合ガス流路面積減少の影響について確認を行うために、コイル高さ方向での冷却性能の確認試験を行った。</p> <p>2. 1 性能試験</p> <p>2. 1. 1 試験に使用する冷却コイルの選定</p> <p>本試験に使用する冷却コイルは、ハーフサーキット型で、奥行き方向8列、幅方向有効長500mm、高さ方向34チューブの冷却コイルを選定した。</p> <p>(1) 冷却コイル型式</p> <p>PWRプラントの格納容器再循環ユニット冷却コイルの型式では最も多く大阪発電所3、4号機でも使用しているハーフサーキット型を選定した。</p>	<p>1章 はじめに</p> <p>格納容器再循環ユニットは、原子炉冷却材喪失事故（LOCA）、全交流電源喪失（SBO）及び最終ヒートシンク喪失（LUHS）の事象の重量を想定するような重大事故発生時において、冷却水を通水し自然対流による格納容器気相部冷却を行うことにより、炉心及び格納容器の損傷防止を図る設備である。</p> <p>ここで、格納容器再循環ユニットは、自然対流冷却性能の観点から、自然対流冷却時に使用するC、D-格納容器再循環ユニットの粗フィルタを取外し、流路の圧力損失を低減することで、自然対流量を増大させている。</p> <p>本書は、粗フィルタを取外した格納容器再循環ユニット冷却コイルの除熱評価式及び除熱評価式を検証するために実施した試験、並びに除熱評価式を用いた重大事故時における格納容器再循環ユニットによる自然対流冷却の除熱性能評価手順についてまとめたものであり、以下の構成としている。</p> <p>2章は、PWR5電力共研として実施した、格納容器再循環ユニット冷却コイルの性能試験の概要について述べる。</p> <p>3章は、冷却コイルの性能試験で得られた結果を踏まえた冷却コイル単体における除熱評価式の妥当性の検証結果について述べる。</p> <p>4章は、冷却コイル単体の除熱評価式を踏まえて、冷却コイル・ダクト等で構成される格納容器再循環ユニットにおける自然対流冷却時の除熱性能評価手法について述べる。</p> <p>5章は、除熱量評価手法の妥当性に関する考察を行った結果について述べる。</p> <p>2章 格納容器再循環ユニット冷却コイル性能試験概要（PWR5電力共研概要）</p> <p>重大事故時に格納容器内の圧力・温度を低減させ格納容器の破損を防止する格納容器再循環ユニットについて、冷却コイル性能を評価する除熱評価式の確認を行うため、実機サイズの冷却コイルによる冷却性能試験を実施した。また、発生した凝縮水による冷却コイル下段での混合ガス流路面積減少の影響について確認を行うために、コイル高さ方向での冷却性能の確認試験を行った。</p> <p>2. 1 性能試験</p> <p>2. 1. 1 試験に使用する冷却コイルの選定</p> <p>本試験に使用する冷却コイルは、ハーフサーキット型で、奥行き方向8列、幅方向有効長500mm、高さ方向34チューブの冷却コイルを選定した。</p> <p>(1) 冷却コイル型式</p> <p>PWRプラントの格納容器再循環ユニット冷却コイルの型式では最も多く泊発電所3号炉でも使用しているハーフサーキット型を選定した。</p>	<p>設備名称の相違</p>

赤字：設備、運用又は体制の相違（設計方針の相違）  
 青字：記載箇所又は記載内容の相違（記載方針の相違）  
 緑字：記載表現、設備名称の相違（実質的な相違なし）

48条 最終ヒートシンクへ熱を輸送するための設備

大阪発電所3 / 4号炉	泊発電所3号炉	相違理由
<p>(2) 冷却コイルのサイズ</p> <p>水蒸気凝縮量が多い場合に、冷却コイル高さ方向での熱交換量に差が生じ（上部&gt;下部）、コイルの高さの高いものほどその差は大きいと考えられるため、PWRプラントで使用しているハーフサーキット型の冷却コイルのうち、最も有効高さの高いものを選定した。ただし、コイルの幅については、実機の流速分布と大きな差が出ない範囲として500mmとした。</p> <p>2. 1. 2 測定項目の設定</p> <p>測定項目は、重大事故時の条件下での除熱評価式の検証、及び凝縮水等による冷却コイル熱交換量への影響を評価できるように設定した。</p> <p style="text-align: center;">表2-1 測定項目の設定根拠</p> <div style="border: 1px solid black; width: 280px; height: 280px; margin: 0 auto;"></div> <p>2. 1. 3 試験装置</p> <div style="border: 1px solid black; width: 380px; height: 80px; margin: 0 auto;"></div> <p style="text-align: center; border: 1px solid black; padding: 2px;">枠囲みの範囲は機密に係る事項ですので公開することはできません。</p>	<p>(2) 冷却コイルのサイズ</p> <p>水蒸気凝縮量が多い場合に、冷却コイル高さ方向での熱交換量に差が生じ（上部&gt;下部）、コイルの高さの高いものほどその差は大きいと考えられるため、PWRプラントで使用しているハーフサーキット型の冷却コイルのうち、最も有効高さの高いものを選定した。ただし、コイルの幅については、実機の流速分布と大きな差が出ない範囲として500mmとした。</p> <p>2. 1. 2 測定項目の設定</p> <p>測定項目は、重大事故時の条件下での除熱評価式の検証、及び凝縮水等による冷却コイル熱交換量への影響を評価できるように設定した。</p> <p style="text-align: center;">表2-1 測定項目の設定根拠</p> <div style="border: 1px solid black; width: 360px; height: 360px; margin: 0 auto;"></div> <p>2. 1. 3 試験装置</p> <div style="border: 1px solid black; width: 380px; height: 100px; margin: 0 auto;"></div> <p style="text-align: center; border: 1px solid black; padding: 2px;">枠囲みの内容は機密情報に属しますので公開できません。</p>	

赤字：設備、運用又は体制の相違（設計方針の相違）  
 青字：記載箇所又は記載内容の相違（記載方針の相違）  
 緑字：記載表現、設備名称の相違（実質的な相違なし）

48条 最終ヒートシンクへ熱を輸送するための設備

大阪発電所3 / 4号炉	泊発電所3号炉	相違理由
<div data-bbox="264 263 943 774" data-label="Image"> </div> <div data-bbox="376 778 813 802" data-label="Caption"> <p>図2-1 格納容器再循環ユニット冷却性能試験システム構成</p> </div> <div data-bbox="264 805 943 1228" data-label="Image"> </div> <div data-bbox="465 1233 723 1257" data-label="Caption"> <p>図2-2 試験装置内温度測定位置</p> </div> <div data-bbox="465 1273 907 1300" data-label="Text"> <p>枠囲みの範囲は機密に係る事項ですので公開することはできません。</p> </div>	<div data-bbox="1167 236 1845 746" data-label="Image"> </div> <div data-bbox="1279 751 1715 775" data-label="Caption"> <p>図2-1 格納容器再循環ユニット冷却性能試験システム構成</p> </div> <div data-bbox="1167 778 1845 1201" data-label="Image"> </div> <div data-bbox="1368 1206 1626 1230" data-label="Caption"> <p>図2-2 試験装置内温度測定位置</p> </div> <div data-bbox="1317 1313 1758 1340" data-label="Text"> <p>枠囲みの内容は機密情報に属しますので公開できません。</p> </div>	



赤字：設備、運用又は体制の相違（設計方針の相違）  
 青字：記載箇所又は記載内容の相違（記載方針の相違）  
 緑字：記載表現、設備名称の相違（実質的な相違なし）

48条 最終ヒートシンクへ熱を輸送するための設備

大阪発電所3/4号炉	泊発電所3号炉	相違理由																																																																								
<p>2. 1. 4 試験条件の設定</p> <p>事故時と同様の空気と水蒸気の混合ガス環境下において冷却コイルでの除熱量、凝縮量等を実験により求め、除熱量評価式を検証した（実験条件 表2-2）。</p> <p>表2-2 再循環ユニット（冷却コイル）凝縮熱伝達実験条件</p> <table border="1" data-bbox="280 327 907 742"> <thead> <tr> <th>実験条件</th> <th>大阪3、4号機</th> </tr> </thead> <tbody> <tr><td>全圧</td><td>2~5 ata</td></tr> <tr><td>水蒸気分圧</td><td>0.80~3.57 ata</td></tr> <tr><td>温度</td><td>93~139℃</td></tr> <tr><td>混合ガス流速</td><td>0.1~0.4 m/sec</td></tr> <tr><td>冷却水入口温度</td><td>常温</td></tr> <tr><td>冷却水流量</td><td>13m<sup>3</sup>/hr/基</td></tr> <tr><td>冷却コイル型式</td><td>フィン付管型冷却コイル</td></tr> <tr><td>チューブ有効長さ</td><td>0.5 m</td></tr> <tr><td>チューブ本数</td><td>34 本</td></tr> <tr><td>列数</td><td>8 列</td></tr> <tr><td>冷却コイル高さ</td><td>約1.3m（フィン長さ）</td></tr> </tbody> </table> <p>※大阪3、4号機における格納容器圧力 1Pd~2Pd での値</p> <div data-bbox="336 837 952 1380" style="border: 1px solid blue; padding: 5px;"> <p>表2-2 再循環ユニット（冷却コイル）凝縮熱伝達実験条件</p> <table border="1" data-bbox="369 901 907 1252"> <thead> <tr> <th>実験条件</th> <th>伊方3号機</th> </tr> </thead> <tbody> <tr><td>全圧</td><td>2~5 ata</td></tr> <tr><td>水蒸気分圧</td><td>0.80~3.57 ata</td></tr> <tr><td>温度</td><td>93~139℃</td></tr> <tr><td>混合ガス流速</td><td>0.1~0.4 m/sec</td></tr> <tr><td>冷却水入口温度</td><td>常温</td></tr> <tr><td>冷却水流量</td><td>13m<sup>3</sup>/hr/基</td></tr> <tr><td>冷却コイル型式</td><td>フィン付管型冷却コイル</td></tr> <tr><td>チューブ有効長さ</td><td>0.5 m</td></tr> <tr><td>チューブ本数</td><td>34 本</td></tr> <tr><td>列数</td><td>8 列</td></tr> <tr><td>冷却コイル高さ</td><td>約1.3m（フィン長さ）</td></tr> </tbody> </table> <p>※伊方3号機における格納容器圧力 1Pd~2Pd での値</p> <p style="text-align: center;">本記載は、伊方号炉の参考掲載</p> </div>	実験条件	大阪3、4号機	全圧	2~5 ata	水蒸気分圧	0.80~3.57 ata	温度	93~139℃	混合ガス流速	0.1~0.4 m/sec	冷却水入口温度	常温	冷却水流量	13m <sup>3</sup> /hr/基	冷却コイル型式	フィン付管型冷却コイル	チューブ有効長さ	0.5 m	チューブ本数	34 本	列数	8 列	冷却コイル高さ	約1.3m（フィン長さ）	実験条件	伊方3号機	全圧	2~5 ata	水蒸気分圧	0.80~3.57 ata	温度	93~139℃	混合ガス流速	0.1~0.4 m/sec	冷却水入口温度	常温	冷却水流量	13m <sup>3</sup> /hr/基	冷却コイル型式	フィン付管型冷却コイル	チューブ有効長さ	0.5 m	チューブ本数	34 本	列数	8 列	冷却コイル高さ	約1.3m（フィン長さ）	<p>2. 1. 4 試験条件の設定</p> <p>事故時と同様の空気と水蒸気の混合ガス環境下において冷却コイルでの除熱量、凝縮量等を実験により求め、除熱量評価式を検証した（実験条件 表2-2）。</p> <p>表2-2 再循環ユニット（冷却コイル）凝縮熱伝達実験条件</p> <table border="1" data-bbox="1198 327 1848 758"> <thead> <tr> <th>実験条件</th> <th>泊3号炉</th> </tr> </thead> <tbody> <tr><td>全圧</td><td>2~5 ata</td></tr> <tr><td>水蒸気分圧</td><td>0.80~3.57 ata</td></tr> <tr><td>温度</td><td>93~139℃</td></tr> <tr><td>混合ガス流速</td><td>0.1~0.4 m/sec</td></tr> <tr><td>冷却水入口温度</td><td>常温</td></tr> <tr><td>冷却水流量</td><td>13m<sup>3</sup>/hr/基</td></tr> <tr><td>冷却コイル型式</td><td>フィン付管型冷却コイル</td></tr> <tr><td>チューブ有効長さ</td><td>0.5 m</td></tr> <tr><td>チューブ本数</td><td>34 本</td></tr> <tr><td>列数</td><td>8 列</td></tr> <tr><td>冷却コイル高さ</td><td>約1.3m（フィン長さ）</td></tr> </tbody> </table> <p>※泊3号炉における格納容器圧力 1Pd~2Pd での値</p>	実験条件	泊3号炉	全圧	2~5 ata	水蒸気分圧	0.80~3.57 ata	温度	93~139℃	混合ガス流速	0.1~0.4 m/sec	冷却水入口温度	常温	冷却水流量	13m <sup>3</sup> /hr/基	冷却コイル型式	フィン付管型冷却コイル	チューブ有効長さ	0.5 m	チューブ本数	34 本	列数	8 列	冷却コイル高さ	約1.3m（フィン長さ）	<p>相違理由</p> <p>設計の相違</p> <ul style="list-style-type: none"> <li>・格納容器設計により定まる全圧、水蒸気分圧、温度は、大阪3/4号炉と相違しているが、泊3号炉と同じ鋼製CVである伊方3号炉とは同条件である。</li> <li>・上記以外の各条件は、格納容器再循環ユニットの設計相違による相違であるが、</li> </ul>
実験条件	大阪3、4号機																																																																									
全圧	2~5 ata																																																																									
水蒸気分圧	0.80~3.57 ata																																																																									
温度	93~139℃																																																																									
混合ガス流速	0.1~0.4 m/sec																																																																									
冷却水入口温度	常温																																																																									
冷却水流量	13m <sup>3</sup> /hr/基																																																																									
冷却コイル型式	フィン付管型冷却コイル																																																																									
チューブ有効長さ	0.5 m																																																																									
チューブ本数	34 本																																																																									
列数	8 列																																																																									
冷却コイル高さ	約1.3m（フィン長さ）																																																																									
実験条件	伊方3号機																																																																									
全圧	2~5 ata																																																																									
水蒸気分圧	0.80~3.57 ata																																																																									
温度	93~139℃																																																																									
混合ガス流速	0.1~0.4 m/sec																																																																									
冷却水入口温度	常温																																																																									
冷却水流量	13m <sup>3</sup> /hr/基																																																																									
冷却コイル型式	フィン付管型冷却コイル																																																																									
チューブ有効長さ	0.5 m																																																																									
チューブ本数	34 本																																																																									
列数	8 列																																																																									
冷却コイル高さ	約1.3m（フィン長さ）																																																																									
実験条件	泊3号炉																																																																									
全圧	2~5 ata																																																																									
水蒸気分圧	0.80~3.57 ata																																																																									
温度	93~139℃																																																																									
混合ガス流速	0.1~0.4 m/sec																																																																									
冷却水入口温度	常温																																																																									
冷却水流量	13m <sup>3</sup> /hr/基																																																																									
冷却コイル型式	フィン付管型冷却コイル																																																																									
チューブ有効長さ	0.5 m																																																																									
チューブ本数	34 本																																																																									
列数	8 列																																																																									
冷却コイル高さ	約1.3m（フィン長さ）																																																																									

赤字：設備、運用又は体制の相違（設計方針の相違）  
 青字：記載箇所又は記載内容の相違（記載方針の相違）  
 緑字：記載表現、設備名称の相違（実質的な相違なし）

48条 最終ヒートシンクへ熱を輸送するための設備

大阪発電所3 / 4号炉	泊発電所3号炉	相違理由
<p>2. 1. 5 試験方法                      (1) 除熱量（凝縮熱伝達量）計測</p> <div data-bbox="147 229 1048 520" style="border: 2px solid black; height: 180px; width: 100%;"></div> <div data-bbox="465 628 909 657" style="border: 1px solid black; padding: 2px; width: fit-content; margin: 20px auto;">                         枠囲みの範囲は機密に係る事項ですので公開することはできません。                     </div>	<p>2. 1. 5 試験方法                      (1) 除熱量（凝縮熱伝達量）計測</p> <div data-bbox="1070 229 1962 512" style="border: 2px solid black; height: 175px; width: 100%;"></div> <div data-bbox="1285 560 1899 588" style="border: 1px solid black; padding: 2px; width: fit-content; margin: 20px auto;"> <span style="border: 1px solid black; display: inline-block; width: 15px; height: 15px; vertical-align: middle;"></span> 枠囲みの内容は機密情報に属しますので公開できません。                     </div>	

赤字：設備、運用又は体制の相違（設計方針の相違）  
 青字：記載箇所又は記載内容の相違（記載方針の相違）  
 緑字：記載表現、設備名称の相違（実質的な相違なし）

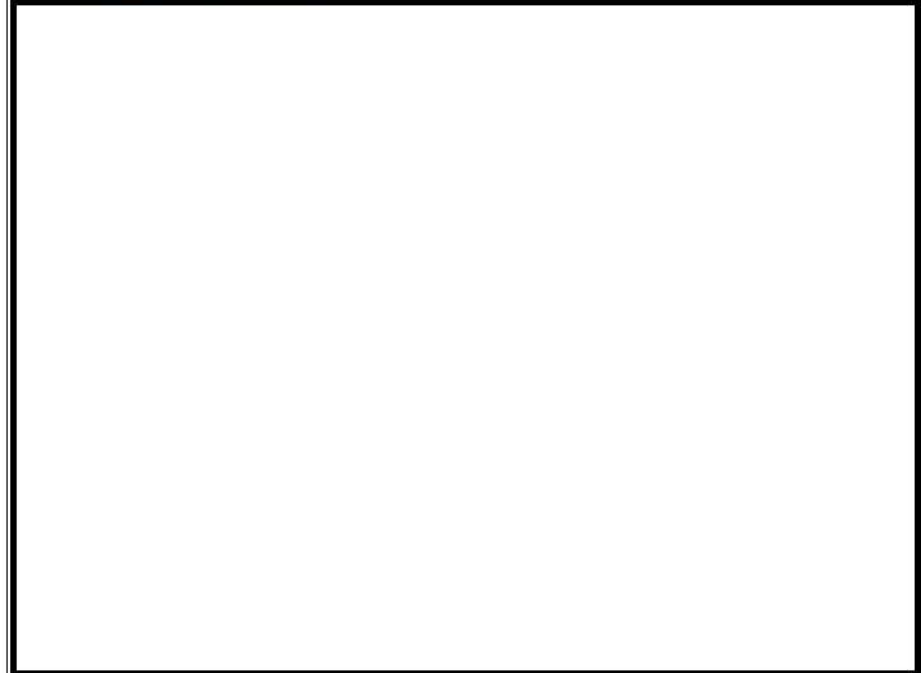
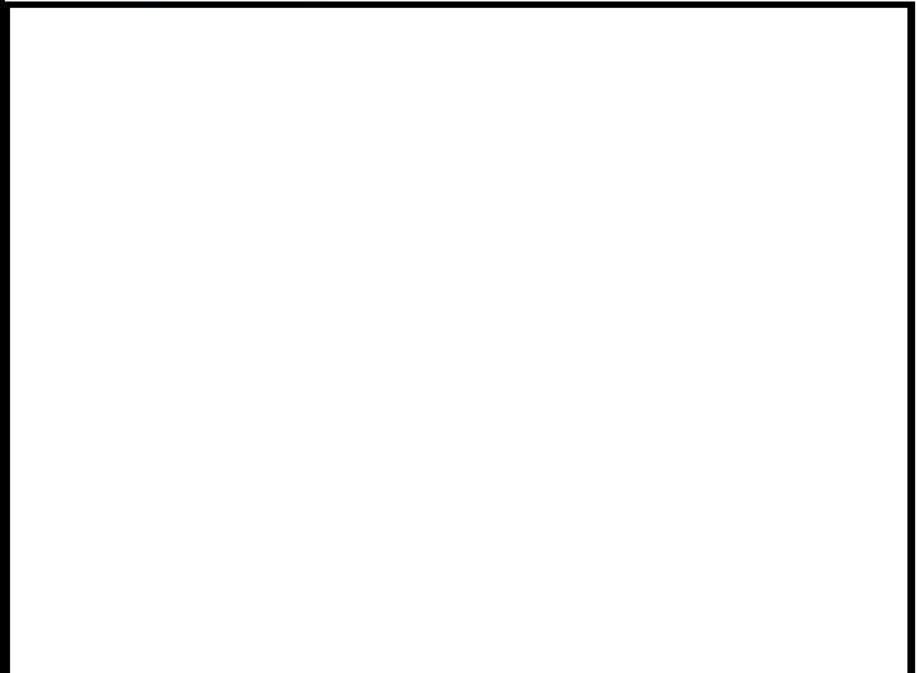
48条 最終ヒートシンクへ熱を輸送するための設備

大阪発電所3 / 4号炉	泊発電所3号炉	相違理由
<p>3章 除熱評価式の試験による検証                      3. 1 除熱評価式について                      (1) 除熱量評価の基礎式</p> <div style="border: 2px solid black; height: 600px; width: 100%;"></div>	<p>3章 除熱評価式の試験による検証                      3. 1 除熱評価式について                      (1) 除熱量評価の基礎式</p> <div style="border: 2px solid black; height: 600px; width: 100%;"></div>	<p>記載表現の相違                      ・除熱評価の基礎式にて示す左辺・右辺の関係と同じ構文として記載した（伊方と同様）</p>
<p style="border: 1px solid black; padding: 2px;">枠囲みの範囲は機密に係る事項ですので公開することはできません。</p>	<p style="border: 1px solid black; padding: 2px;">枠囲みの内容は機密情報に属しますので公開できません。</p>	



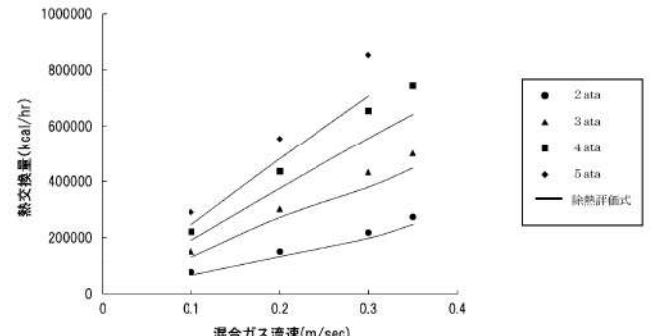
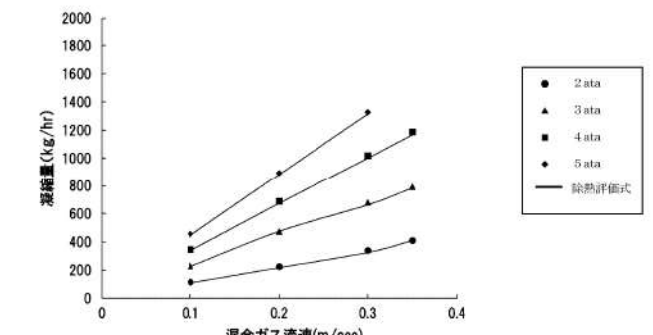
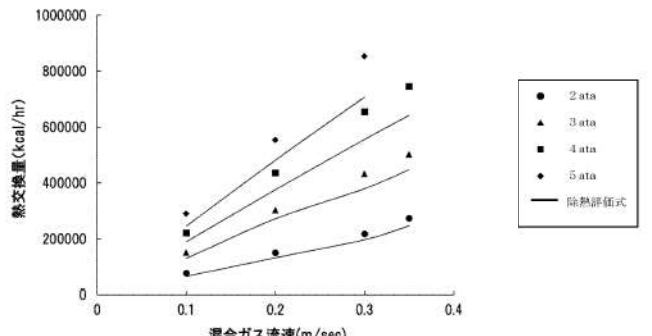
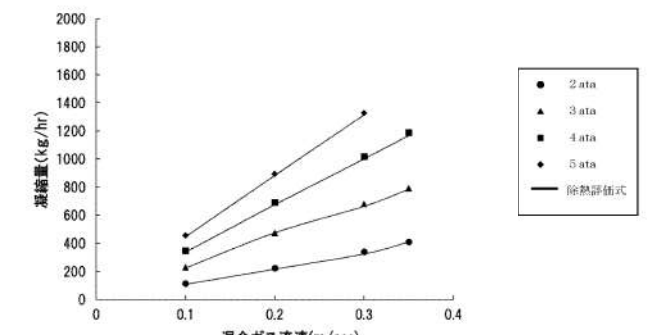
赤字：設備、運用又は体制の相違（設計方針の相違）  
 青字：記載箇所又は記載内容の相違（記載方針の相違）  
 緑字：記載表現、設備名称の相違（実質的な相違なし）

48条 最終ヒートシンクへ熱を輸送するための設備

大阪発電所3 / 4号炉	泊発電所3号炉	相違理由
<p>(2) 除熱基礎式を用いた除熱評価</p> 	<p>(2) 除熱基礎式を用いた除熱評価</p> 	
<p>図3.1-1 格納容器再循環ユニットの除熱量評価モデル</p> <div style="border: 1px solid black; padding: 2px; width: fit-content; margin: 10px auto;"> <p>枠囲みの範囲は機密に係る事項ですので公開することはできません。</p> </div>	<p>図3.1-1 格納容器再循環ユニットの除熱量評価モデル</p> <div style="border: 1px solid black; padding: 2px; width: fit-content; margin: 10px auto;"> <p>枠囲みの内容は機密情報に属しますので公開できません。</p> </div>	

赤字：設備、運用又は体制の相違（設計方針の相違）  
 青字：記載箇所又は記載内容の相違（記載方針の相違）  
 緑字：記載表現、設備名称の相違（実質的な相違なし）

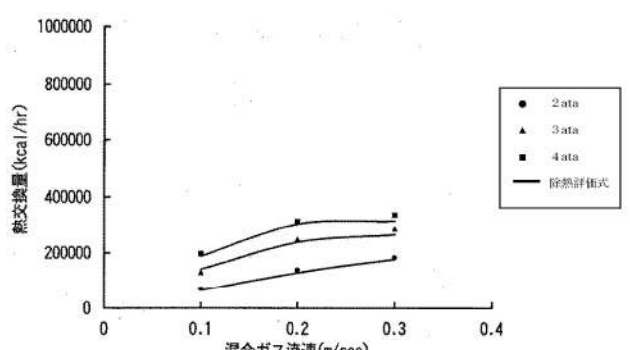
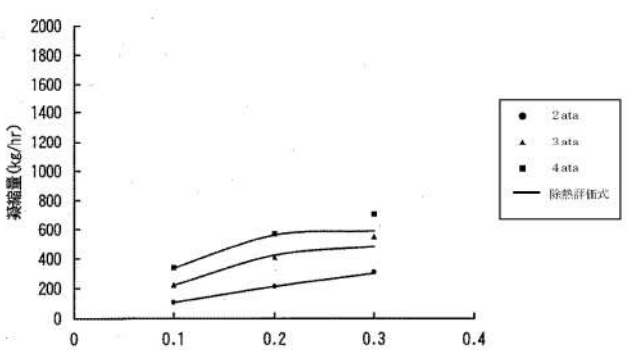
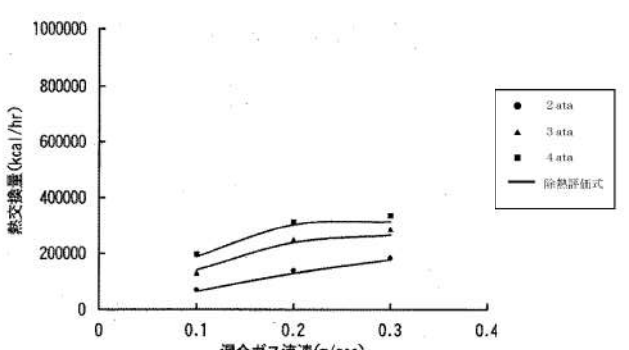
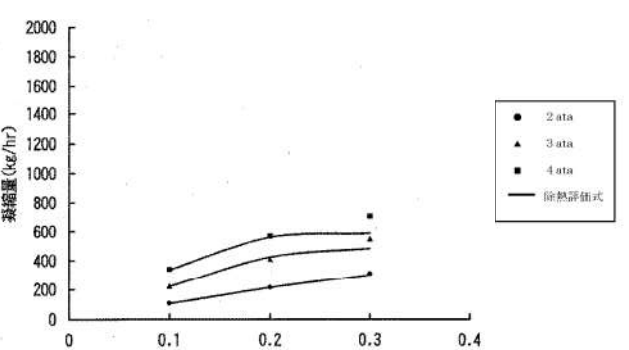
48条 最終ヒートシンクへ熱を輸送するための設備

大阪発電所3/4号炉	泊発電所3号炉	相違理由
<p>3.2 除熱評価式の試験での検証</p> <p>2章での確認試験結果と除熱評価式との比較を行う。</p> <p>冷却水流量を定格の<math>13\text{ m}^3/\text{h}</math>の他、低流量の<math>6\text{ m}^3/\text{h}</math>、<math>3\text{ m}^3/\text{h}</math>とした場合において、各圧力での混合ガス流速に対する</p> <ul style="list-style-type: none"> <li>冷却コイル熱交換量</li> <li>水蒸気凝縮量</li> </ul> <p>の比較を行ったものをそれぞれ図3.2-1～3.2-6に示す。</p>  <p>図3.2-1 混合ガス流速に対する冷却コイル熱交換量（冷却水流量：<math>13\text{ m}^3/\text{h}</math>）</p>  <p>図3.2-2 混合ガス流速に対する水蒸気凝縮量（冷却水流量：<math>13\text{ m}^3/\text{h}</math>）</p>	<p>3.2 除熱評価式の試験での検証</p> <p>2章での確認試験結果と除熱評価式との比較を行う。</p> <p>冷却水流量を定格の<math>13\text{ m}^3/\text{h}</math>の他、低流量の<math>6\text{ m}^3/\text{h}</math>、<math>3\text{ m}^3/\text{h}</math>とした場合において、各圧力での混合ガス流速に対する</p> <ul style="list-style-type: none"> <li>冷却コイル熱交換量</li> <li>水蒸気凝縮量</li> </ul> <p>の比較を行ったものをそれぞれ図3.2-1～<b>図</b>3.2-6に示す。</p>  <p>図3.2-1 混合ガス流速に対する冷却コイル熱交換量（冷却水流量：<math>13\text{ m}^3/\text{h}</math>）</p>  <p>図3.2-2 混合ガス流速に対する水蒸気凝縮量（冷却水流量：<math>13\text{ m}^3/\text{h}</math>）</p>	

赤字：設備、運用又は体制の相違（設計方針の相違）  
 青字：記載箇所又は記載内容の相違（記載方針の相違）  
 緑字：記載表現、設備名称の相違（実質的な相違なし）

大阪発電所3 / 4号炉	泊発電所3号炉	相違理由
<p>図3. 2-3 混合ガス流速に対する冷却コイル熱交換量 (冷却水流量: 6 m<sup>3</sup>/h)</p>	<p>図3. 2-3 混合ガス流速に対する冷却コイル熱交換量 (冷却水流量: 6 m<sup>3</sup>/h)</p>	
<p>図3. 2-4 混合ガス流速に対する水蒸気凝縮量 (冷却水流量: 6 m<sup>3</sup>/h)</p>	<p>図3. 2-4 混合ガス流速に対する水蒸気凝縮量 (冷却水流量: 6 m<sup>3</sup>/h)</p>	

赤字：設備、運用又は体制の相違（設計方針の相違）  
 青字：記載箇所又は記載内容の相違（記載方針の相違）  
 緑字：記載表現、設備名称の相違（実質的な相違なし）

大阪発電所3/4号炉	泊発電所3号炉	相違理由
 <p>図3. 2-5 混合ガス流速に対する冷却コイル熱交換量（冷却水流量：3 m<sup>3</sup>/h）</p>  <p>図3. 2-6 混合ガス流速に対する水蒸気凝縮量（冷却水流量：3 m<sup>3</sup>/h）</p> <p>それぞれの図中に実線で表されているものが除熱評価式に基づく計算結果である。</p> <p>これより、冷却コイル熱交換量、水蒸気凝縮量については試験結果と約1割程度の誤差範囲内で良く一致している。なお、除熱評価式は、実機条件（約5.0～9.0ata, 11.75m<sup>3</sup>/h）においては実験データに対して1割程度は保守側（余裕がある）となると考えられる。</p>	 <p>図3. 2-5 混合ガス流速に対する冷却コイル熱交換量（冷却水流量：3 m<sup>3</sup>/h）</p>  <p>図3. 2-6 混合ガス流速に対する水蒸気凝縮量（冷却水流量：3 m<sup>3</sup>/h）</p> <p>それぞれの図中に実線で表されているものが除熱評価式に基づく計算結果である。</p> <p>これより、冷却コイル熱交換量、水蒸気凝縮量については試験結果と約1割程度の誤差範囲内で良く一致している。なお、除熱評価式は、実機条件（約3.9～6.9ata, 10.3m<sup>3</sup>/h）においては実験データに対して1割程度は保守側（余裕がある）となると考えられる。</p>	



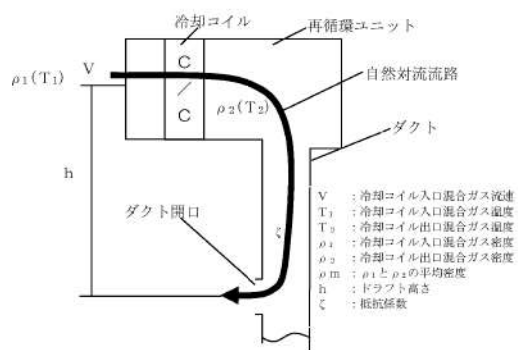
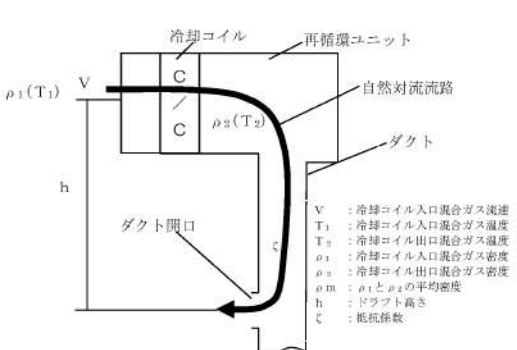
赤字：設備、運用又は体制の相違（設計方針の相違）  
 青字：記載箇所又は記載内容の相違（記載方針の相違）  
 緑字：記載表現、設備名称の相違（実質的な相違なし）

48条 最終ヒートシンクへ熱を輸送するための設備

大阪発電所3/4号炉	泊発電所3号炉	相違理由
<p>4章 自然対流冷却時の除熱性能評価</p> <p>格納容器再循環ユニットを用いた自然対流冷却は、冷却コイルにより凝縮・冷却され密度を増した混合ガス（空気及び水蒸気）と、格納容器内雰囲気混合ガスとの密度差及び高低差から得られるドラフト力と系全体の圧力損失によりバランスする自然対流によって、格納容器内の除熱を行うものである。</p> <p>格納容器再循環ユニットにおける自然対流冷却形成の概念は次のとおりである。</p> <p>（図4-1参照）</p> <p>（1）冷却水通水初期状態（図4-1 a）</p> <p>最初に、冷却水コイルへの冷却水通水による水蒸気凝縮によって、ユニット内側と外側の双方からコイルへ向かう流れが発生する（図中①）。次に、冷却によって密度を増すために下降流となり、コイル下部からユニット内外へ流れ出る（図中②）。その後、冷却空気の一部はコイル下部に滞留する（図中③）。</p> <p>（2）過渡状態（図4-1 b）</p> <p>過渡状態に移ると、ユニット内側は、ユニット外側の格納容器側空間よりも狭隘なことから、凝縮及び冷却が相対的に早く促進されるようになる（図中a領域）。このため、ユニット内側からのコイルへの流れが外側からの流れに比べて相対的に弱くなる（図中③）。また、ユニット内雰囲気の密度が増し、下部ダクトへの下降流が発生する（図中④）。</p> <p>（3）定常状態（図4-1 c）</p> <p>過渡状態の後に、ユニット内側の凝縮・冷却が更に促進すると、ユニット内雰囲気の密度が更に増し（図中b領域）、下降流が加速する。このために、ユニット外側⇒冷却コイル⇒ユニット内側⇒下部ダクト⇒吹出口（ダクト開放機構）⇒格納容器雰囲気の流れが形成され、自然対流冷却が定常状態となる（図中⑤）。</p> <div data-bbox="215 922 952 1236" style="border: 1px solid black; height: 197px; width: 329px; margin: 10px auto;"></div> <p style="text-align: center;">a. 冷却水通水初期状態      b. 過渡状態      c. 定常状態</p> <p style="text-align: center;">図4-1 格納容器再循環ユニット自然対流冷却形成の概念図</p> <div data-bbox="461 1316 913 1345" style="border: 1px solid black; padding: 2px; width: fit-content; margin: 10px auto;">                 枠囲みの範囲は機密に係る事項ですので公開することはできません。             </div>	<p>4章 自然対流冷却時の除熱性能評価</p> <p>格納容器再循環ユニットを用いた自然対流冷却は、冷却コイルにより凝縮・冷却され密度を増した混合ガス（空気及び水蒸気）と、格納容器内雰囲気混合ガスとの密度差及び高低差から得られるドラフト力と系全体の圧力損失によりバランスする自然対流によって、格納容器内の除熱を行うものである。</p> <p>格納容器再循環ユニットにおける自然対流冷却形成の概念は次のとおりである。</p> <p>（図4-1参照）</p> <p>（1）冷却水通水初期状態（図4-1 a）</p> <p>最初に、冷却水コイルへの冷却水通水による水蒸気凝縮によって、ユニット内側と外側の双方からコイルへ向かう流れが発生する（図中①）。次に、冷却によって密度を増すために下降流となり、コイル下部からユニット内外へ流れ出る（図中②）。その後、冷却空気の一部はコイル下部に滞留する（図中③）。</p> <p>（2）過渡状態（図4-1 b）</p> <p>過渡状態に移ると、ユニット内側は、ユニット外側の格納容器側空間よりも狭隘なことから、凝縮及び冷却が相対的に早く促進されるようになる（図中a領域）。このため、ユニット内側からのコイルへの流れが外側からの流れに比べて相対的に弱くなる（図中③）。また、ユニット内雰囲気の密度が増し、下部ダクトへの下降流が発生する（図中④）。</p> <p>（3）定常状態（図4-1 c）</p> <p>過渡状態の後に、ユニット内側の凝縮・冷却が更に促進すると、ユニット内雰囲気の密度が更に増し（図中b領域）、下降流が加速する。このために、ユニット外側⇒冷却コイル⇒ユニット内側⇒下部ダクト⇒吹出口（ダクト開放機構）⇒格納容器雰囲気の流れが形成され、自然対流冷却が定常状態となる（図中⑤）。</p> <div data-bbox="1126 933 1863 1248" style="border: 1px solid black; height: 197px; width: 329px; margin: 10px auto;"></div> <p style="text-align: center;">a. 冷却水通水初期状態      b. 過渡状態      c. 定常状態</p> <p style="text-align: center;">図4-1 格納容器再循環ユニット自然対流冷却形成の概念図</p> <div data-bbox="1319 1350 1765 1378" style="border: 1px solid black; padding: 2px; width: fit-content; margin: 10px auto;">                 枠囲みの内容は機密情報に属しますので公開できません。             </div>	

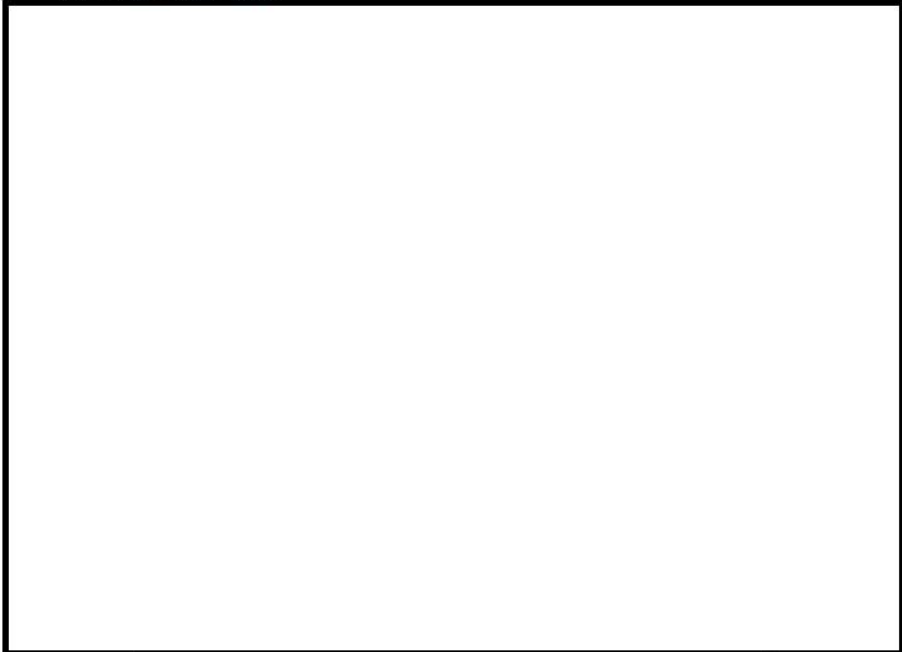

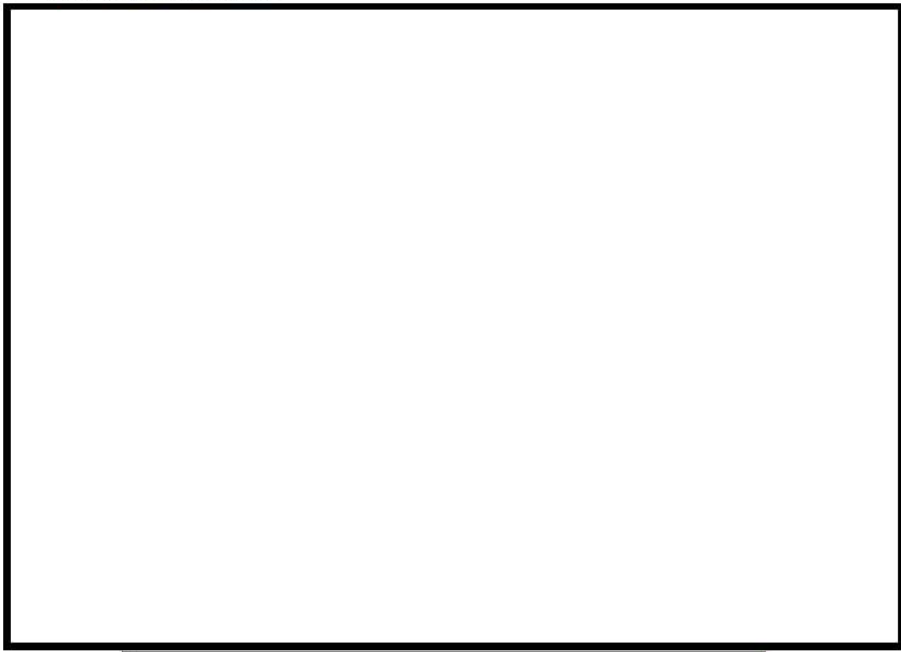

赤字：設備、運用又は体制の相違（設計方針の相違）  
 青字：記載箇所又は記載内容の相違（記載方針の相違）  
 緑字：記載表現、設備名称の相違（実質的な相違なし）

48条 最終ヒートシンクへ熱を輸送するための設備

大阪発電所3 / 4号炉	泊発電所3号炉	相違理由
<p>自然対流冷却による除熱量については、冷却コイル性能試験で得られた知見を踏まえ、以下のように求める。</p>  <p>図4-2 再循環ユニットにおける自然対流モデル</p> <p>4. 1 ドラフト力計算について                  ドラフト力 (Pd) については、以下の式で求められる。  <math>Pd = h \times (\rho_2 - \rho_1)</math>                  ここで、                  h : ドラフト高さ (再循環ユニット入口開口部中心～ダクト開口部中心までの高さ)</p> <p>4. 2 系統圧力損失計算について                  大阪3、4号機における自然対流冷却時の圧力損失を考慮するものとして、格納容器再循環ユニットの冷却コイル、ダクト (含むファン) があり、系統圧力損失 (<math>\Delta P</math>) は以下より求められる。  <math>\Delta P = \Delta P_c + \Delta P_p</math>                  ここで、  <math>\Delta P_c</math> : 冷却コイル圧力損失  <math>\Delta P_p</math> : ダクト圧力損失</p>	<p>自然対流冷却による除熱量については、冷却コイル性能試験で得られた知見を踏まえ、以下のように求める。</p>  <p>図4-2 再循環ユニットにおける自然対流モデル</p> <p>4. 1 ドラフト力計算について                  ドラフト力 (Pd) については、以下の式で求められる。  <math>Pd = h \times (\rho_2 - \rho_1)</math>                  ここで、                  h : ドラフト高さ (再循環ユニット入口開口部中心～ダクト開口部中心までの高さ)</p> <p>4. 2 系統圧力損失計算について                  泊3号炉における自然対流冷却時の圧力損失を考慮するものとして、格納容器再循環ユニットの冷却コイル、ダクト (含むファン) があり、系統圧力損失 (<math>\Delta P</math>) は以下より求められる。  <math>\Delta P = \Delta P_c + \Delta P_p</math>                  ここで、  <math>\Delta P_c</math> : 冷却コイル圧力損失  <math>\Delta P_p</math> : ダクト圧力損失</p>	



赤字：設備、運用又は体制の相違（設計方針の相違）  
 青字：記載箇所又は記載内容の相違（記載方針の相違）  
 緑字：記載表現、設備名称の相違（実質的な相違なし）

大阪発電所3 / 4号炉	泊発電所3号炉	相違理由
<p>(1) 冷却コイル圧力損失</p>   <p>図4. 2-1 冷却コイル入口混合ガス流速に対する冷却コイル抵抗係数</p> <p>枠囲みの範囲は機密に係る事項ですので公開することはできません。</p>	<p>(1) 冷却コイル圧力損失</p>   <p>図4. 2-1 冷却コイル入口混合ガス流速に対する冷却コイル抵抗係数</p> <p>枠囲みの内容は機密情報に属しますので公開できません。</p>	<p>設計の相違</p> <ul style="list-style-type: none"> <li>・格納容器再循環</li> <li>・ヒートの熱交換器コイ</li> <li>ルの設計の相違（7</li> <li>ページに示す表2-2</li> <li>の条件差異）</li> </ul>

赤字：設備、運用又は体制の相違（設計方針の相違）  
 青字：記載箇所又は記載内容の相違（記載方針の相違）  
 緑字：記載表現、設備名称の相違（実質的な相違なし）

大阪発電所 3 / 4 号炉	泊発電所 3 号炉	相違理由
<div data-bbox="286 304 943 1123" data-label="Image"> </div> <div data-bbox="324 1129 866 1152" data-label="Caption"> <p>図 4. 2-2 冷却コイル入口混合ガス流速に対する冷却コイルの前後差圧</p> </div> <div data-bbox="459 1273 909 1305" data-label="Text"> <p>枠囲みの範囲は機密に係る事項ですので公開することはできません。</p> </div>	<div data-bbox="1193 293 1850 1123" data-label="Image"> </div> <div data-bbox="1232 1129 1774 1152" data-label="Caption"> <p>図 4. 2-2 冷却コイル入口混合ガス流速に対する冷却コイルの前後差圧</p> </div> <div data-bbox="1319 1316 1767 1340" data-label="Text"> <p>枠囲みの内容は機密情報に属しますので公開できません。</p> </div>	

赤字：設備、運用又は体制の相違（設計方針の相違）  
 青字：記載箇所又は記載内容の相違（記載方針の相違）  
 緑字：記載表現、設備名称の相違（実質的な相違なし）

48条 最終ヒートシンクへ熱を輸送するための設備

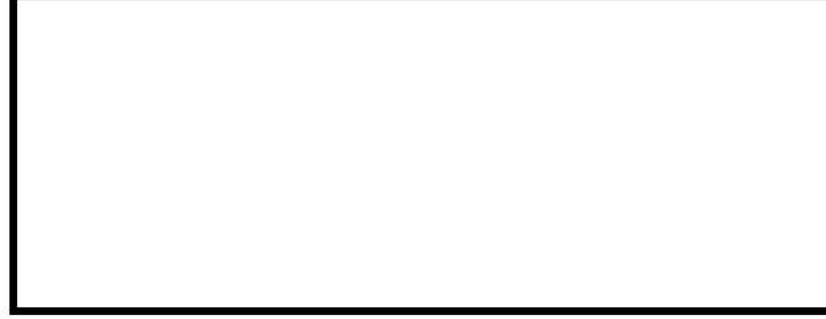
大阪発電所3/4号炉

泊発電所3号炉

相違理由

(2) ダクトの圧力損失

(2) ダクトの圧力損失



4. 3 冷却コイル部の凝縮水等の影響考慮について

4. 3 冷却コイル部の凝縮水等の影響考慮について

図4. 3-1に冷却コイル性能試験時の冷却コイル高さ方向における冷却コイル出入口での冷却水温度をもとに算出した熱交換量の分布を示す。

図4. 3-1に冷却コイル性能試験時の冷却コイル高さ方向における冷却コイル出入口での冷却水温度をもとに算出した熱交換量の分布を示す。

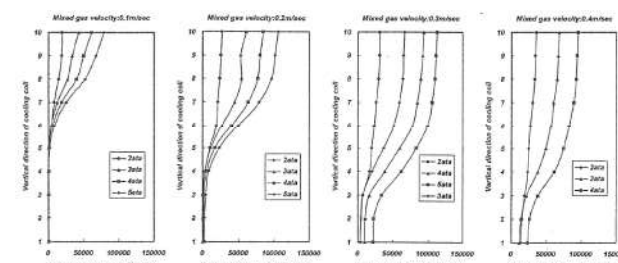
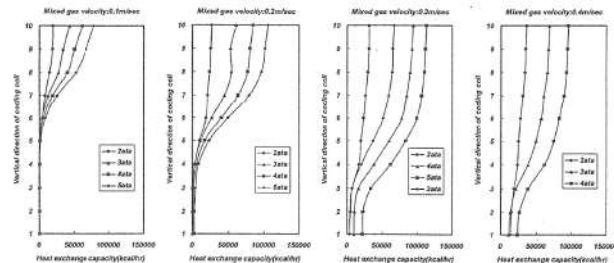


図4. 3-1 冷却コイル高さ方向の除熱分布

図4. 3-1 冷却コイル高さ方向の除熱分布

この図より、冷却コイル下部にはほとんど伝熱に寄与していない領域があることが確認できる。また、この領域は冷却コイル入口混合ガス流速が減少するほど拡大し、有効な伝熱領域が縮小する傾向にあることがわかる。

この図より、冷却コイル下部にはほとんど伝熱に寄与していない領域があることが確認できる。また、この領域は冷却コイル入口混合ガス流速が減少するほど拡大し、有効な伝熱領域が縮小する傾向にあることがわかる。

この原因としては、<①凝縮水>、<②冷却空気の滞留>の2点の影響が考えられる。

この原因としては、<①凝縮水>、<②冷却空気の滞留>の2点の影響が考えられる。

<①凝縮水の影響>

<①凝縮水の影響>

冷却コイル部では混合ガス中の水蒸気が凝縮し、コイルフィンを上部から下部に流下する。その結果、冷却コイル下部での凝縮水膜厚が上部より増し、コイルフィン間のガス流路が減少し、混合ガスの流入が妨げられると考えられる。また、凝縮膜厚の増加により、この部分での熱抵抗が増加し伝熱性能が低下すると考えられる。図4. 3-2に冷却コイルの外観（チューブとフィンの拡大）を示す。

冷却コイル部では混合ガス中の水蒸気が凝縮し、コイルフィンを上部から下部に流下する。その結果、冷却コイル下部での凝縮水膜厚が上部より増し、コイルフィン間のガス流路が減少し、混合ガスの流入が妨げられると考えられる。また、凝縮膜厚の増加により、この部分での熱抵抗が増加し伝熱性能が低下すると考えられる。図4. 3-2に冷却コイルの外観（チューブとフィンの拡大）を示す。

枠囲みの範囲は機密に係る事項ですので公開することはできません。

枠囲みの内容は機密情報に属しますので公開できません。

赤字：設備、運用又は体制の相違（設計方針の相違）  
 青字：記載箇所又は記載内容の相違（記載方針の相違）  
 緑字：記載表現、設備名称の相違（実質的な相違なし）

48条 最終ヒートシンクへ熱を輸送するための設備

大阪発電所3 / 4号炉	泊発電所3号炉	相違理由
<div data-bbox="347 175 851 542" data-label="Image"> </div> <div data-bbox="376 547 806 568" data-label="Caption"> <p>図4.3-2 冷却コイルの外観（チューブとフィンの拡大）</p> </div> <div data-bbox="203 612 465 638" data-label="Section-Header"> <p>&lt;②冷却空気の滞留の影響&gt;</p> </div> <div data-bbox="203 646 1041 775" data-label="Text"> <p>冷却コイルに進入した混合ガスが凝縮・冷却されることで、減速し、密度量を増すため、冷却コイル上部から下部への下降流が生じる。この一部が冷却コイルの下部に滞留し、より凝縮・冷却されることで冷却空気層を形成し、冷却コイル下部での混合ガスの流入が妨げられると考えられる。</p> </div> <div data-bbox="203 815 1041 911" data-label="Text"> <p>なお、冷却コイル性能試験においては、冷却コイル出口内流況を確認しており、図4.3-3に示すように、混合ガスが下向きに速度成分を持ちコイル内を斜め下方にコイル出口へ流出しており、冷却コイル下部においては、冷却空気の滞留も見られる。</p> </div> <div data-bbox="353 962 869 994" data-label="Text" style="border: 1px solid black; padding: 2px;"> <p>枠囲みの範囲は機密に係る事項ですので公開することはできません。</p> </div>	<div data-bbox="1288 199 1792 566" data-label="Image"> </div> <div data-bbox="1317 563 1747 584" data-label="Caption"> <p>図4.3-2 冷却コイルの外観（チューブとフィン）の拡大</p> </div> <div data-bbox="1099 612 1361 638" data-label="Section-Header"> <p>&lt;②冷却空気の滞留の影響&gt;</p> </div> <div data-bbox="1099 646 1937 775" data-label="Text"> <p>冷却コイルに進入した混合ガスが凝縮・冷却されることで、減速し、密度量を増すため、冷却コイル上部から下部への下降流が生じる。この一部が冷却コイルの下部に滞留し、より凝縮・冷却されることで冷却空気層を形成し、冷却コイル下部での混合ガスの流入が妨げられると考えられる。</p> </div> <div data-bbox="1099 815 1937 911" data-label="Text"> <p>なお、冷却コイル性能試験においては、冷却コイル出口内流況を確認しており、図4.3-3に示すように、混合ガスが下向きに速度成分を持ちコイル内を斜め下方にコイル出口へ流出しており、冷却コイル下部においては、冷却空気の滞留も見られる。</p> </div>	

赤字：設備、運用又は体制の相違（設計方針の相違）  
 青字：記載箇所又は記載内容の相違（記載方針の相違）  
 緑字：記載表現、設備名称の相違（実質的な相違なし）

大阪発電所3 / 4号炉	泊発電所3号炉	相違理由
<div data-bbox="224 323 940 1241" style="border: 2px solid black; width: 100%; height: 100%;"></div> <div data-bbox="943 671 965 986" style="writing-mode: vertical-rl; position: absolute; right: 10px; top: 50%; transform: translateY(-50%);">                     図4.3-3 冷却コイル出口ダクト内流況                 </div> <div data-bbox="465 1273 913 1305" style="border: 1px solid black; padding: 2px; margin-top: 10px;">                     枠囲みの範囲は機密に係る事項ですので公開することはできません。                 </div>	<div data-bbox="1131 319 1848 1236" style="border: 2px solid black; width: 100%; height: 100%;"></div> <div data-bbox="1850 671 1872 986" style="writing-mode: vertical-rl; position: absolute; right: 10px; top: 50%; transform: translateY(-50%);">                     図4.3-3 冷却コイル出口ダクト内流況                 </div> <div data-bbox="1321 1316 1765 1340" style="border: 1px solid black; padding: 2px; margin-top: 10px;">                     枠囲みの内容は機密情報に属しますので公開できません。                 </div>	



赤字：設備、運用又は体制の相違（設計方針の相違）  
 青字：記載箇所又は記載内容の相違（記載方針の相違）  
 緑字：記載表現、設備名称の相違（実質的な相違なし）

48条 最終ヒートシンクへ熱を輸送するための設備

大阪発電所3/4号炉

このように冷却コイル性能試験では、冷却コイル下部の閉塞状況が測定されている。一方、冷却コイルトータル除熱量は、平均流速で評価した評価式での除熱量とよく一致する結果となった（図3.2-1参照）。

このことから、以下の考察を実施した。

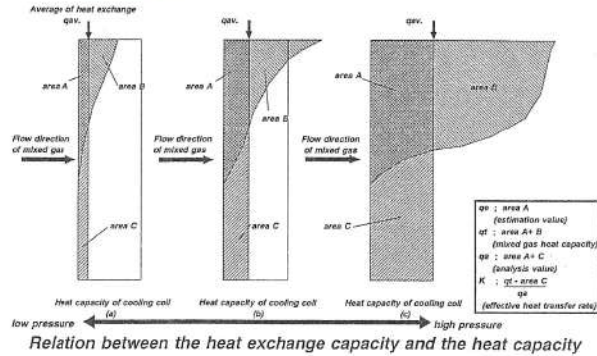


図4.3-4 冷却コイルの除熱量と熱容量の関係

図4.3-4に冷却コイルの除熱量と熱容量の関係を示す。ここで、縦軸は冷却コイル高さを、横軸は各高さにおける除熱量を、長方形の枠は冷却コイルの熱容量を表したものである。

冷却コイル性能試験では、冷却コイル下部での閉塞により、冷却コイル高さ方向での流速分布が発生したが、冷却コイルのトータル除熱量（ $qt$ =領域A+領域B）は、平均流速で評価した場合（閉塞が無い状態でコイル内を平均流速で流れた場合の）の除熱量（ $qa$ =領域A+領域C）とよく一致する結果となった（ $qt \approx qa$ ）。これは、流入する混合ガスの保有熱量に対して、冷却コイルの熱容量に余裕があったために、冷却コイル下部での除熱量低下分（領域C）が、冷却コイル上部（領域B）で補完される結果となったためであると考えられる（図4.3-4（a）の状態）。

これに対して、冷却コイル性能試験よりも高温高圧の条件を想定した場合（図4.3-4（c）の状態）には、流入する混合ガスの保有熱量が増加するために、冷却コイルの熱容量の余裕が減少し、ある温度圧力以上になると冷却コイル上部での除熱が頭打ちになり（領域Bが寄与しない。領域B=0）、冷却コイル下部での除熱量の低下分（領域C）の補完ができなくなる可能性がある（ $qt$ -領域C（領域B）=領域A）ことが考えられる。

そこで、各圧力での混合ガス流速に対し、冷却コイル全伝熱面と伝熱に寄与しない部分を除く有効な伝熱面との比率（有効伝熱率）を求め、除熱量評価において用いる。

有効伝熱率の評価においては、この条件で最も保守的と考えられる図4.3-4の（c）の状態を考慮している。具体的には、有効伝熱率（K）は、下式で示される。

$$K = (qt - \text{領域C}) / qa$$

泊発電所3号炉

このように冷却コイル性能試験では、冷却コイル下部の閉塞状況が測定されている。一方、冷却コイルトータル除熱量は、平均流速で評価した評価式での除熱量とよく一致する結果となった（図3.2-1参照）。

このことから、以下の考察を実施した。

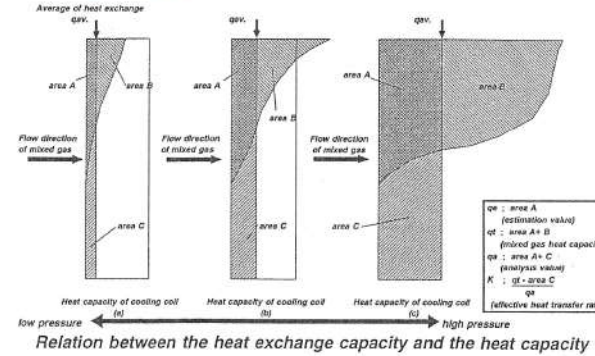


図4.3-4 冷却コイルの除熱量と熱容量の関係

図4.3-4に冷却コイルの除熱量と熱容量の関係を示す。ここで、縦軸は冷却コイル高さを、横軸は各高さにおける除熱量を、長方形の枠は冷却コイルの熱容量を表したものである。

冷却コイル性能試験では、冷却コイル下部での閉塞により、冷却コイル高さ方向での流速分布が発生したが、冷却コイルのトータル除熱量（ $qt$ =領域A+領域B）は、平均流速で評価した場合（閉塞が無い状態でコイル内を平均流速で流れた場合の）の除熱量（ $qa$ =領域A+領域C）とよく一致する結果となった（ $qt \approx qa$ ）。これは、流入する混合ガスの保有熱量に対して、冷却コイルの熱容量に余裕があったために、冷却コイル下部での除熱量低下分（領域C）が、冷却コイル上部（領域B）で補完される結果となったためであると考えられる（図4.3-4（a）の状態）。

これに対して、冷却コイル性能試験よりも高温高圧の条件を想定した場合（図4.3-4（c）の状態）には、流入する混合ガスの保有熱量が増加するために、冷却コイルの熱容量の余裕が減少し、ある温度圧力以上になると冷却コイル上部での除熱が頭打ちになり（領域Bが寄与しない。領域B=0）、冷却コイル下部での除熱量の低下分（領域C）の補完ができなくなる可能性がある（ $qt$ -領域C（領域B）=領域A）ことが考えられる。

そこで、各圧力での混合ガス流速に対し、冷却コイル全伝熱面と伝熱に寄与しない部分を除く有効な伝熱面との比率（有効伝熱率）を求め、除熱量評価において用いる。

有効伝熱率の評価においては、この条件で最も保守的と考えられる図4.3-4の（c）の状態を考慮している。具体的には、有効伝熱率（K）は、下式で示される。

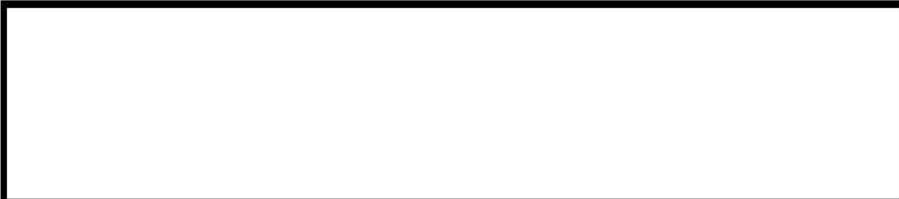

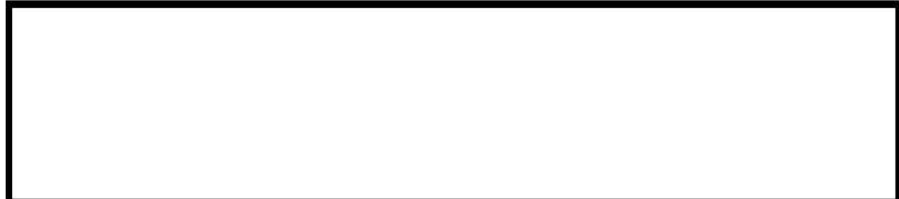
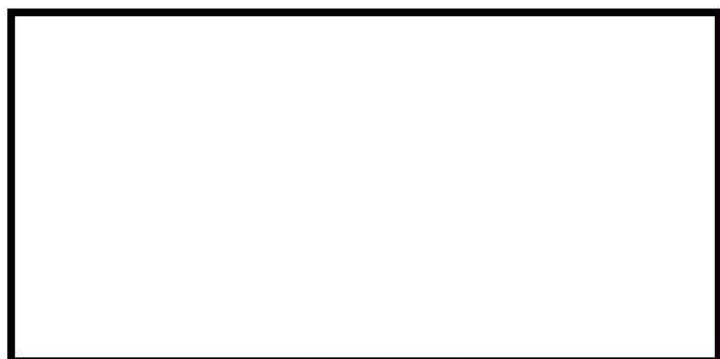
$$K = (qt - \text{領域C}) / qa$$

相違理由

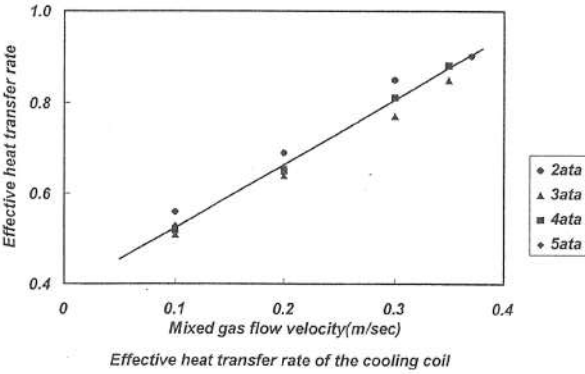
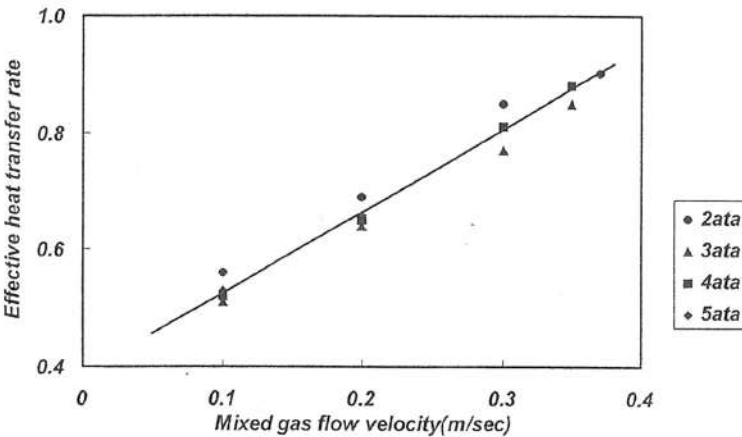


赤字：設備、運用又は体制の相違（設計方針の相違）  
 青字：記載箇所又は記載内容の相違（記載方針の相違）  
 緑字：記載表現、設備名称の相違（実質的な相違なし）

48条 最終ヒートシンクへ熱を輸送するための設備

大阪発電所3 / 4号炉	泊発電所3号炉	相違理由
<p>ここで分子の“qt-領域C”は冷却コイルの下部無効領域を差し引いた有効伝熱領域（有効除熱量）で領域Aを示し、分母のqaは冷却コイルの全伝熱領域（全除熱量）で領域A+Cを示す。また、冷却コイル性能試験においては <math>qa \approx qt</math> なので実際の評価では下式にて評価している。</p> $K = \text{領域A} / (\text{領域A} + \text{領域B})$   <p>図4. 3-5 領域Aの求め方</p> <p>枠囲みの範囲は機密に係る事項ですので公開することはできません。</p>	<p>ここで分子の“qt-領域C”は冷却コイルの下部無効領域を差し引いた有効伝熱領域（有効除熱量）で領域Aを示し、分母のqaは冷却コイルの全伝熱領域（全除熱量）で領域A+Cを示す。また、冷却コイル性能試験においては <math>qa \approx qt</math> なので実際の評価では下式にて評価している。</p> $K = \text{領域A} / (\text{領域A} + \text{領域B})$   <p>図4. 3-5 領域Aの求め方</p> <p>枠囲みの内容は機密情報に属しますので公開できません。</p>	

赤字：設備、運用又は体制の相違（設計方針の相違）  
 青字：記載箇所又は記載内容の相違（記載方針の相違）  
 緑字：記載表現、設備名称の相違（実質的な相違なし）

大阪発電所3 / 4号炉	泊発電所3号炉	相違理由
<p>このようにして求めた有効伝熱率は図4. 3-6の通りであり、流速の増加とともに有効伝熱率は増加する傾向にある。有効伝熱率に影響を及ぼす&lt;①凝縮水&gt;、&lt;②冷却空気の滞留&gt;の2つの要因のうち、&lt;②冷却空気の滞留&gt;の方が有効伝熱率に対して支配的な要因と考えられる。これは、一般的に&lt;①凝縮水&gt;については流速の増加に伴い増加するが、冷却コイル性能試験の結果では、流速が増加しても伝熱性能が低下する方向とならなかったためである。</p>  <p>図4. 3-6 冷却コイルの有効伝熱率</p> <p>上記の結果は、2章「格納容器再循環ユニット冷却コイル性能試験概要（PWR5 電力共研概要）」において、実機を模擬した単体（1段積み）の冷却コイルによる性能試験の結果を基に評価したものである。一方、実機は上下方向に設置された複数の冷却コイル（大阪3、4号機は添付資料0 図1-2に示す通り3段積み）で形成されている。有効伝熱率に対して支配的な要因である冷却空気の滞留に関しては、上下方向に積み重ねた方が滞留域から離れた冷却コイルの範囲が広くなるとともに、ドラフト力が増加するために冷却コイル出の流速が増し、有効伝熱率の評価に用いた冷却コイル入口の流速も速くなる。したがって、コイル全体としては冷却空気の滞留の影響を受けにくくなるため、性能試験結果を適用することは妥当である。</p>	<p>このようにして求めた有効伝熱率は図4. 3-6の通りであり、流速の増加とともに有効伝熱率は増加する傾向にある。有効伝熱率に影響を及ぼす&lt;①凝縮水&gt;、&lt;②冷却空気の滞留&gt;の2つの要因のうち、&lt;②冷却空気の滞留&gt;の方が有効伝熱率に対して支配的な要因と考えられる。これは、一般的に&lt;①凝縮水&gt;については流速の増加に伴い増加するが、冷却コイル性能試験の結果では、流速が増加しても伝熱性能が低下する方向とならなかったためである。</p>  <p>図4. 3-6 冷却コイルの有効伝熱率</p> <p>上記の結果は、2章「格納容器再循環ユニット冷却コイル性能試験概要（PWR5 電力共研概要）」において、実機を模擬した単体（1段積み）の冷却コイルによる性能試験の結果を基に評価したものである。一方、実機は上下方向に設置された複数の冷却コイル（泊3号炉は参考資料0 図1-2に示す通り2段積み）で形成されている。有効伝熱率に対して支配的な要因である冷却空気の滞留に関しては、上下方向に積み重ねた方が滞留域から離れた冷却コイルの範囲が広くなるとともに、ドラフト力が増加するために冷却コイル出口の流速が増し、有効伝熱率の評価に用いた冷却コイル入口の流速も速くなる。したがって、コイル全体としては冷却空気の滞留の影響を受けにくくなるため、性能試験結果を適用することは妥当である。</p>	<p>記載表現の相違</p> <p>設計の相違</p> <p>・格納容器再循環モジュールの熱交換器コイルの設計の相違。</p> <p>但し、記載のとおり試験体が1段に対し、複数段設置のため試験結果の適用が妥当であることに相違なし。</p>

赤字：設備、運用又は体制の相違（設計方針の相違）  
 青字：記載箇所又は記載内容の相違（記載方針の相違）  
 緑字：記載表現、設備名称の相違（実質的な相違なし）

48条 最終ヒートシンクへ熱を輸送するための設備

大阪発電所3/4号炉	泊発電所3号炉	相違理由
<p>4.4 自然対流冷却の除熱量評価手順について</p> <p>自然対流冷却時の除熱量は、ドラフト高さから引き起こされるドラフト力と系全体の圧力損失がバランスする冷却コイル入口混合ガス流速から求める。</p> <p>実際の除熱においては4.3で示したように冷却コイル下部は閉塞が見られ除熱に寄与しない箇所があるため、有効伝熱率（K）を用いて、以下のように自然対流冷却時の除熱性能を評価している。</p> <p>図4.4-1 自然対流冷却の除熱量評価フロー</p> <p>ここで、</p> <ol style="list-style-type: none"> <li>①冷却コイル入口混合ガス流速Vを想定する。</li> <li>②除熱評価式により、上記流速Vと格納容器雰囲気条件を想定した場合の除熱量qと冷却コイル出口ガス温度・密度を求める</li> <li>③VからK値を求める（4.3参照）。</li> <li>④ドラフト力Pdを求める（4.1参照）。</li> </ol> <div style="border: 1px solid black; padding: 5px; margin: 10px 0;">                 枠囲みの範囲は機密に係る事項ですので公開できません。             </div> <p style="text-align: right;">48-8-24</p>	<p>4.4 自然対流冷却の除熱量評価手順について</p> <p>自然対流冷却時の除熱量は、ドラフト高さから引き起こされるドラフト力と系全体の圧力損失がバランスする冷却コイル入口混合ガス流速から求める。</p> <p>実際の除熱においては4.3で示したように冷却コイル下部は閉塞が見られ除熱に寄与しない箇所があるため、有効伝熱率（K）を用いて、以下のように自然対流冷却時の除熱性能を評価している。</p> <p>図4.4-1 自然対流冷却の除熱量評価フロー</p> <p>ここで、</p> <ol style="list-style-type: none"> <li>①冷却コイル入口混合ガス流速Vを想定する。</li> <li>②除熱評価式により、上記流速Vと格納容器雰囲気条件を想定した場合の除熱量qと冷却コイル出口ガス温度・密度を求める</li> <li>③VからK値を求める（4.3参照）。</li> <li>④ドラフト力Pdを求める（4.1参照）。</li> </ol> <div style="border: 1px solid black; padding: 5px; margin: 10px 0;">                 枠囲みの内容は機密情報に属しますので公開できません。             </div>	

赤字：設備、運用又は体制の相違（設計方針の相違）  
 青字：記載箇所又は記載内容の相違（記載方針の相違）  
 緑字：記載表現、設備名称の相違（実質的な相違なし）

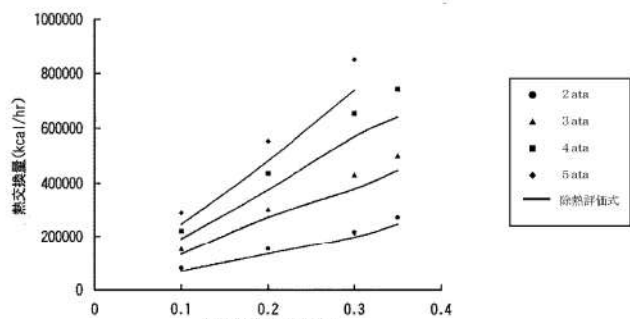
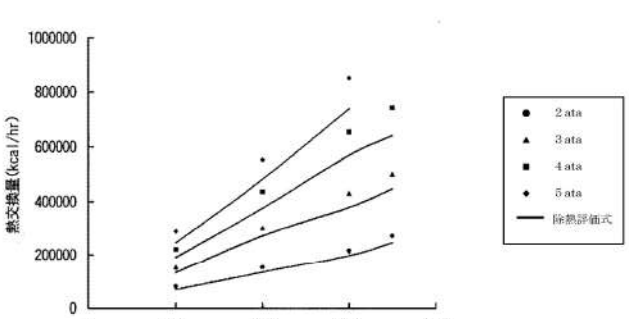
48条 最終ヒートシンクへ熱を輸送するための設備

大阪発電所3 / 4号炉	泊発電所3号炉	相違理由
<div data-bbox="255 178 934 595" style="border: 2px solid black; width: 100%; height: 100%;"></div> <p data-bbox="383 609 775 632">図4. 4-2 ドラフト高さと混合ガス流速について</p> <p data-bbox="185 646 1039 678">⑤圧力損失<math>\Delta P = \Delta P_c + \Delta P_p</math>を求める（4. 2参照）。その際、冷却コイル <span style="border: 1px solid black; display: inline-block; width: 100px; height: 15px;"></span></p> <p data-bbox="185 678 779 710"><span style="border: 1px solid black; display: inline-block; width: 100%; height: 15px;"></span></p> <p data-bbox="185 715 1039 774">⑥④と⑤で求めたドラフト力と圧力損失がバランスしていなければ、①に戻りユニット入口ガス流速Vを見直す。</p> <p data-bbox="185 783 1039 842">⑦バランスしたユニット入口ガス流速Vと除熱評価式から求めた除熱量qにKを掛け自然対流冷却時の除熱量q<sub>n</sub>を求める。</p> <p data-bbox="165 885 1039 944">上記の手順で格納容器内圧（格納容器内温度）を変化させて求めたq<sub>n</sub>が添付資料0図1-1の重大事故時の再循環ユニットの除熱性能曲線となる。</p> <div data-bbox="450 975 900 1002" style="border: 1px solid black; padding: 2px; width: fit-content; margin: 10px auto;">枠囲みの範囲は機密に係る事項ですので公開することはできません。</div> <p data-bbox="920 1098 987 1118" style="text-align: right;">48-8-25</p>	<div data-bbox="1205 178 1861 579" style="border: 2px solid black; width: 100%; height: 100%;"></div> <p data-bbox="1330 593 1722 616">図4. 4-2 ドラフト高さと混合ガス流速について</p> <p data-bbox="1099 646 1953 678">⑤圧力損失<math>\Delta P = \Delta P_c + \Delta P_p</math>を求める（4. 2参照）。<span style="border: 1px solid black; display: inline-block; width: 100%; height: 15px;"></span></p> <p data-bbox="1099 678 1680 710"><span style="border: 1px solid black; display: inline-block; width: 100%; height: 15px;"></span></p> <p data-bbox="1099 715 1953 774">⑥④と⑤で求めたドラフト力と圧力損失がバランスしていなければ、①に戻りユニット入口ガス流速Vを見直す。</p> <p data-bbox="1099 783 1953 842">⑦バランスしたユニット入口ガス流速Vと除熱評価式から求めた除熱量qにKを掛け自然対流冷却時の除熱量q<sub>n</sub>を求める。</p> <p data-bbox="1079 885 1953 944">上記の手順で格納容器内圧（格納容器内温度）を変化させて求めたq<sub>n</sub>が参考資料0図1-1の重大事故時の再循環ユニットの除熱性能曲線となる。</p> <div data-bbox="1319 1002 1935 1029" style="border: 1px solid black; padding: 2px; width: fit-content; margin: 10px auto;"><span style="border: 1px solid black; display: inline-block; width: 20px; height: 15px;"></span> 枠囲みの内容は機密情報に属しますので公開できません。</div>	<p data-bbox="1973 885 2096 908" style="color: green;">記載表現の相違</p>



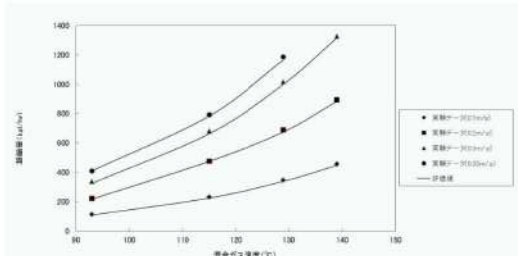
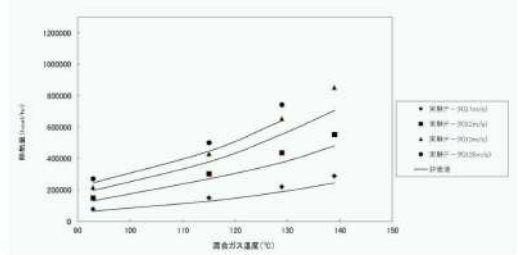
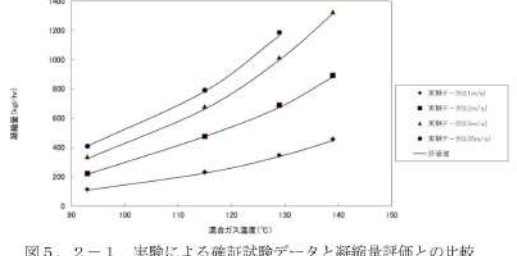
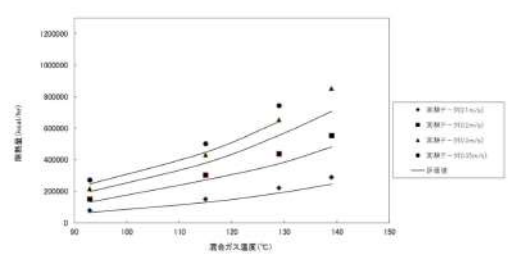
赤字：設備、運用又は体制の相違（設計方針の相違）  
 青字：記載箇所又は記載内容の相違（記載方針の相違）  
 緑字：記載表現、設備名称の相違（実質的な相違なし）

48条 最終ヒートシンクへ熱を輸送するための設備

大阪発電所3/4号炉	泊発電所3号炉	相違理由
<p>5章 除熱量計算手法の妥当性に関する考察</p> <p>5.1 不凝縮性ガスの除熱性能に対する影響について</p> <p>(1) 不凝縮性ガスの影響について</p> <p>格納容器再循環ユニットの除熱性能は不凝縮性ガスの影響（除熱性能、コイル下部の影響）を含む評価を実施している。</p> <p>冷却コイル性能試験では、実機格納容器雰囲気条件を模擬した不凝縮性ガスを含む条件にて、不凝縮性ガスの影響を含む冷却コイルの除熱性能、冷却コイル下部の影響を把握している。</p> <p>冷却コイルの除熱性能について、試験結果と評価結果がよく一致しており（図5.1-1）、実機冷却除熱性能は試験により検証された除熱評価式を用いて評価している。</p>  <p>図5.1-1 混合ガス流速対除熱量（図3.2-1の再掲）</p> <p>また、最終的な自然対流冷却除熱性能評価では、上記冷却コイルの除熱性能に対してコイル下部の影響を考慮した評価を実施している。</p> <p>試験では、実機と同タイプ、同サイズの冷却コイルを用いているため、凝縮面の形状、液膜の除去能力も実機と同等の影響を把握できているものと考えている。</p> <p>(2) 生成される水素の影響について</p> <p>原子炉格納容器内に水素が存在する場合に、格納容器再循環ユニットの除熱性能は水素濃度に応じて変化するため、格納容器破損防止の観点で、ドライ換算で13vol%の水素が原子炉格納容器内に存在する場合の感度解析を実施し、原子炉格納容器圧力及び温度に対する影響を確認した。</p> <p>ドライ換算で13vol%の水素が原子炉格納容器内に存在する場合、原子炉格納容器圧力は格納容器再循環ユニットによる格納容器内自然対流冷却開始前に最高値に到達するため、最高値に関して格納容器内自然対流冷却の水素濃度の影響はない。その後の格納容器内自然対流冷却開始後においては、水素濃度の影響を考慮しても、格納容器内自然対流冷却により原子炉格納容器圧力は低下傾向となっており、原子炉格納容器最高使用圧力の2倍(0.78MPa[gage])に対して十分余裕がある。また、原子炉格納容器雰囲気温度への影響は小さく、原子炉格納容器雰囲気温度200℃に対して十分</p>	<p>5章 除熱量計算手法の妥当性に関する考察</p> <p>5.1 不凝縮性ガスの除熱性能に対する影響について</p> <p>(1) 不凝縮性ガスの影響について</p> <p>格納容器再循環ユニットの除熱性能は不凝縮性ガスの影響（除熱性能、コイル下部の影響）を含む評価を実施している。</p> <p>冷却コイル性能試験では、実機格納容器雰囲気条件を模擬した不凝縮性ガスを含む条件にて、不凝縮性ガスの影響を含む冷却コイルの除熱性能、冷却コイル下部の影響を把握している。</p> <p>冷却コイルの除熱性能について、試験結果と評価結果がよく一致しており（図5.1-1）、実機冷却除熱性能は試験により検証された除熱評価式を用いて評価している。</p>  <p>図5.1-1 混合ガス流速対除熱量（図3.2-1の再掲）</p> <p>また、最終的な自然対流冷却除熱性能評価では、上記冷却コイルの除熱性能に対してコイル下部の影響を考慮した評価を実施している。</p> <p>試験では、実機と同タイプ、同サイズの冷却コイルを用いているため、凝縮面の形状、液膜の除去能力も実機と同等の影響を把握できているものと考えている。</p> <p>(2) 生成される水素の影響について</p> <p>原子炉格納容器内に水素が存在する場合に、格納容器再循環ユニットの除熱性能は水素濃度に応じて変化するため、格納容器破損防止の観点で、ドライ換算で13vol%の水素が原子炉格納容器内に存在する場合の感度解析を実施し、原子炉格納容器圧力及び温度に対する影響を確認した。</p> <p>ドライ換算で13vol%の水素が原子炉格納容器内に存在する場合、原子炉格納容器圧力を約0.01MPaの範囲で高めに評価し、原子炉格納容器雰囲気温度は1℃未満の上昇幅である。評価項目である原子炉格納容器圧力及び温度は、それぞれ原子炉格納容器の最高使用圧力の2倍及び200℃に対して十分余裕があり、水素濃度による不確かさを考慮しても、評価項目となるパラメータに与える影響は小さいことを確認した。（参考資料-6）</p>	<p>相違理由</p> <p>解析結果の相違                  ・相違理由は、参考資料6にて記載する。</p> <p>記載表現の相違                  ・相違理由は、参考資料6にて記載する。</p>

赤字：設備、運用又は体制の相違（設計方針の相違）  
 青字：記載箇所又は記載内容の相違（記載方針の相違）  
 緑字：記載表現、設備名称の相違（実質的な相違なし）

48条 最終ヒートシンクへ熱を輸送するための設備

大阪発電所3/4号炉	泊発電所3号炉	相違理由
<p>余裕があるため、水素濃度による不確かさを考慮しても、評価項目となるパラメータに与える影響は小さいことを確認した。（参考資料-6）</p> <p>5. 2 冷却コイル性能試験範囲の妥当性について</p> <p>表2-2に示すように、<b>大阪3、4号機</b>における再循環ユニットの使用温度条件に対し、冷却コイル性能試験の実施範囲は少し低いものとなっていることについての考察を以下に述べる。</p> <p>冷却コイル性能試験では、凝縮熱伝達項を含む除熱評価式で算出された除熱量、凝縮量と実験で測定された実験値を比較し、除熱評価式の妥当性を確認している。</p> <p>図5. 2-1に示すとおり凝縮量について、実験値は評価値とよく一致している。</p>  <p>図5. 2-1 実験による確認試験データと凝縮量評価との比較              (図3. 2-2の横軸を変更したもの)</p> <p>一方、全除熱量については、凝縮熱伝達量（水蒸気凝縮による潜熱除去）と対流熱伝達量（温度降下による顕熱除去）によって達成され、保守的に評価される（図5. 2-2参照）。</p>  <p>図5. 2-2 実験による確認試験データと除熱評価との比較              (図3. 2-1の横軸を変更したもの)</p>	<p>5. 2 冷却コイル性能試験範囲の妥当性について</p> <p>表2-2に示すように、<b>泊3号炉</b>における再循環ユニットの使用温度条件に対し、冷却コイル性能試験の実施範囲は少し低いものとなっていることについての考察を以下に述べる。</p> <p>冷却コイル性能試験では、凝縮熱伝達項を含む除熱評価式で算出された除熱量、凝縮量と実験で測定された実験値を比較し、除熱評価式の妥当性を確認している。</p> <p>図5. 2-1に示すとおり凝縮量について、実験値は評価値とよく一致している。</p>  <p>図5. 2-1 実験による確認試験データと凝縮量評価との比較              (図3. 2-2の横軸を変更したもの)</p> <p>一方、全除熱量については、凝縮熱伝達量（水蒸気凝縮による潜熱除去）と対流熱伝達量（温度降下による顕熱除去）によって達成され、保守的に評価される（図5. 2-2参照）。</p>  <p>図5. 2-2 実験による確認試験データと除熱評価との比較              (図3. 2-1の横軸を変更したもの)</p>	<p>設備名称の相違</p>



赤字：設備、運用又は体制の相違（設計方針の相違）  
 青字：記載箇所又は記載内容の相違（記載方針の相違）  
 緑字：記載表現、設備名称の相違（実質的な相違なし）

48条 最終ヒートシンクへ熱を輸送するための設備



大阪発電所3 / 4号炉	泊発電所3号炉	相違理由
<p>凝縮熱量の全除熱量に占める割合は実験値では約80～85%、評価値では約90～95%となり、評価値が大きくなる理由としては、凝縮熱伝達量が実験値と評価値でよく一致していることから、対流熱伝達量が保守的に評価されていると考える。その理由として、混合ガスの熱伝達係数と温度低下量（凝縮液膜の温度）が保守的に評価されているため、対流熱伝達量は保守的な評価となっているが、この保守性は温度に依存しない。</p> <p>以上から凝縮熱伝達については実験値と評価値でよく一致しており、全熱量についても対流熱伝達の保守性により、保守的に評価されるが、その保守性は温度に依存しないことから、除熱評価式は実験値から有効であるといえるため、冷却コイル性能試験の範囲を超える範囲での評価も可能である。</p> <p>なお、これらの除熱評価式、冷却コイル性能試験は共に飽和蒸気条件を前提としており、有効性評価で自然対流冷却を期待しているいずれのシーケンスでも、蒸気条件は飽和状態となっている。</p>	<p>凝縮熱量の全除熱量に占める割合は実験値では約80～85%、評価値では約90～95%となり、評価値が大きくなる理由としては、凝縮熱伝達量が実験値と評価値でよく一致していることから、対流熱伝達量が保守的に評価されていると考える。その理由として、混合ガスの熱伝達係数と温度低下量（凝縮液膜の温度）が保守的に評価されているため、対流熱伝達量は保守的な評価となっているが、この保守性は温度に依存しない。</p> <p>以上から凝縮熱伝達については実験値と評価値でよく一致しており、全熱量についても対流熱伝達の保守性により、保守的に評価されるが、その保守性は温度に依存しないことから、除熱評価式は実験値から有効であるといえるため、冷却コイル性能試験の範囲を超える範囲での評価も可能である。</p> <p>なお、これらの除熱評価式、冷却コイル性能試験は共に飽和蒸気条件を前提としており、有効性評価で自然対流冷却を期待しているいずれのシーケンスでも、蒸気条件は飽和状態となっている。</p>	

赤字：設備、運用又は体制の相違（設計方針の相違）  
 青字：記載箇所又は記載内容の相違（記載方針の相違）  
 緑字：記載表現、設備名称の相違（実質的な相違なし）

48条 最終ヒートシンクへ熱を輸送するための設備

大阪発電所3/4号炉	泊発電所3号炉	相違理由
<p>6章 まとめ</p> <p>重大事故時における格納容器再循環ユニットによる自然対流冷却の除熱性能を評価するにあたり、以下の事項を実施した。</p> <ul style="list-style-type: none"> <li>・実機サイズの格納容器再循環ユニット冷却コイルを模擬した試験装置において、重大事故時の格納容器雰囲気条件を模擬した試験を行い、冷却コイルにおける除熱評価式の検証を実施した。</li> <li>・冷却コイル性能試験において凝縮水や冷却空気の滞留による冷却コイル下部での閉塞（除熱の低下）が確認されたものの、冷却コイルでの熱容量余裕からコイル上部での除熱量が増加し、総除熱量については低下が見られない状況が確認された。そこで、冷却コイル性能試験よりも高温高圧の条件で冷却コイルの熱容量余裕がなくなることを保守的に想定し、除熱評価式を使った再循環ユニットの除熱性能評価においては、閉塞する冷却コイル下部分の除熱は期待しないものとして、評価を実施した。</li> <li>・系統圧力損失として、冷却コイル部については、冷却コイル性能試験において測定した出入口差圧に基づき抵抗係数を求めた。</li> </ul> <p>上記を踏まえ、重大事故時の格納容器再循環ユニットによる自然対流冷却時の除熱性能曲線を求めた。</p>	<p>6章 まとめ</p> <p>重大事故時における格納容器再循環ユニットによる自然対流冷却の除熱性能を評価するにあたり、以下の事項を実施した。</p> <ul style="list-style-type: none"> <li>・実機サイズの格納容器再循環ユニット冷却コイルを模擬した試験装置において、重大事故時の格納容器雰囲気条件を模擬した試験を行い、冷却コイルにおける除熱評価式の検証を実施した。</li> <li>・冷却コイル性能試験において凝縮水や冷却空気の滞留による冷却コイル下部での閉塞（除熱の低下）が確認されたものの、冷却コイルでの熱容量余裕からコイル上部での除熱量が増加し、総除熱量については低下が見られない状況が確認された。そこで、冷却コイル性能試験よりも高温高圧の条件で冷却コイルの熱容量余裕がなくなることを保守的に想定し、除熱評価式を使った再循環ユニットの除熱性能評価においては、閉塞する冷却コイル下部分の除熱は期待しないものとして、評価を実施した。</li> <li>・系統圧力損失として、冷却コイル部については、冷却コイル性能試験において測定した出入口差圧に基づき抵抗係数を求めた。</li> </ul> <p>上記を踏まえ、重大事故時の格納容器再循環ユニットによる自然対流冷却時の除熱性能曲線を求めた。</p>	

第48条 最終ヒートシンクへ熱を輸送するための設備

大阪発電所3 / 4号炉	泊発電所3号炉	相違理由
<p>参考資料-0 格納容器再循環ユニットの実機条件</p> <p>1. 格納容器再循環ユニットの実機条件</p> <p>格納容器再循環ユニットは、通常運転時において、冷却コイルに原子炉補機冷却水を通水し、格納容器再循環ファンによる強制循環によって、格納容器内の機器、配管等からの発熱を除去するために設置している。</p> <p>また、重大事故時には、格納容器再循環ファンによる強制循環に期待せずとも、冷却コイルに原子炉補機冷却水又は海水を通水することで格納容器内の水蒸気を凝縮させ、自然対流による循環によって冷却し、格納容器圧力上昇を抑制できる。</p> <p>以下に、格納容器再循環ユニットの実機条件を示す。</p> <p>1. 1 実機の機器仕様・構造</p> <p>(1) 機器仕様</p> <p>格納容器再循環ユニットは、4個設置されており、通常運転時は3個、重大事故時は2個使用する。</p> <p>種類：冷却コイル</p> <p>容量（注1）：約0.74MW/個（通常運転時）</p> <p>約12.3MW/個（格納容器最高使用圧力時の値（約144℃））</p> <p>約13.0MW/個（格納容器最高使用圧力の2倍時の値（約168℃））</p> <p>（注1）冷却水温度35℃、冷却水流量 <input type="text"/> m<sup>3</sup>/h における値。</p>  <p>図1-1 重大事故時の格納容器再循環ユニットの除熱性能曲線</p> <p><input type="text"/> 枠囲みの範囲は機密に係る事項ですので公開できません。</p>	<p>参考資料-0 格納容器再循環ユニットの実機条件</p> <p>1. 格納容器再循環ユニットの実機条件</p> <p>格納容器再循環ユニットは、通常運転時において、冷却コイルに原子炉補機冷却水を通水し、格納容器再循環ファンによる強制循環によって、格納容器内の機器、配管等からの発熱を除去するために設置している。</p> <p>また、重大事故時には、格納容器再循環ファンによる強制循環に期待せずとも、冷却コイルに原子炉補機冷却水又は海水を通水することで格納容器内の水蒸気を凝縮させ、自然対流による循環によって冷却し、格納容器圧力上昇を抑制できる。</p> <p>以下に、格納容器再循環ユニットの実機条件を示す。</p> <p>1. 1 実機の機器仕様・構造</p> <p>(1) 機器仕様</p> <p>格納容器再循環ユニットは、4個設置されており、通常運転時は3個、重大事故時は2個使用する。</p> <p>種類：冷却コイル</p> <p>容量（注1）：約0.59MW/個（通常運転時）</p> <p>約6.7MW/個（格納容器最高使用圧力時の値（約132℃））</p> <p>約7.6MW/個（格納容器最高使用圧力の2倍時の値（約155℃））</p> <p>（注1）冷却水温度32℃、冷却水流量 <input type="text"/> m<sup>3</sup>/h における値</p>  <p>図1-1 重大事故時の格納容器再循環ユニットの除熱性能曲線</p> <p><input type="text"/> 枠囲みの内容は機密情報に属しますので公開できません。</p>	<p>設計の相違</p> <ul style="list-style-type: none"> <li>・格納容器再循環ユニットの設計相違</li> <li>・格納容器内雰囲気の解析結果の相違</li> <li>・冷却水条件の相違</li> </ul>

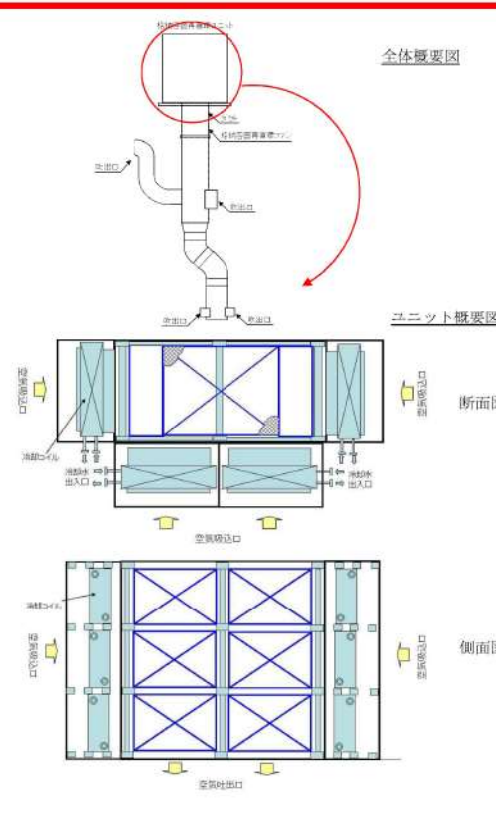
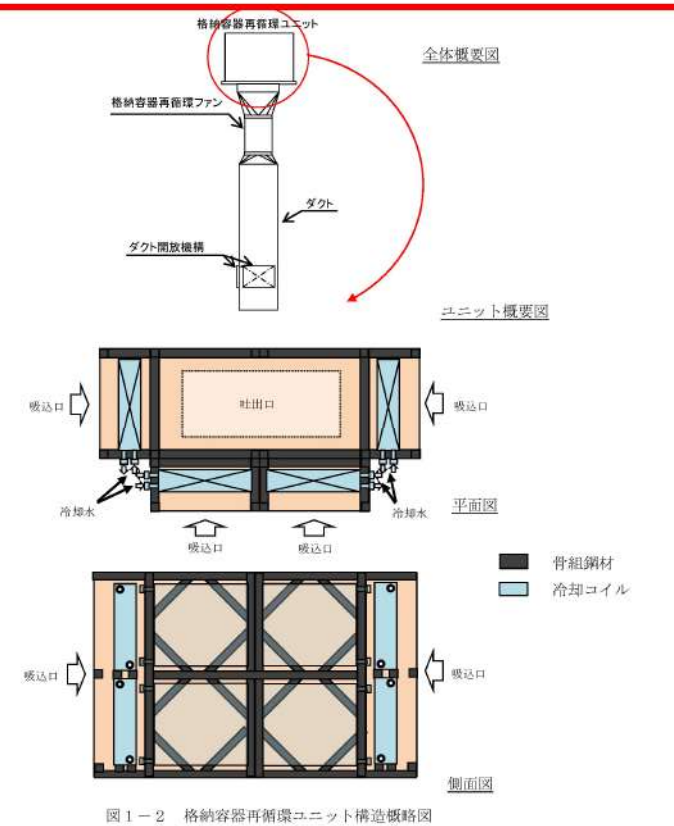


第48条 最終ヒートシンクへ熱を輸送するための設備

大阪発電所3 / 4号炉	泊発電所3号炉	相違理由
<p>(2) 容量</p> <p>格納容器再循環ユニットの容量は、通常運転時における格納容器内の環境維持のための必要冷却能力を基に設定し、格納容器内を49℃以下に維持するために必要な容量としている。</p> <p>通常運転時における格納容器内の発熱量は約2.2MWであり、3個の格納容器再循環ユニットを使用するため、格納容器再循環ユニット1個あたりの容量は約0.74MW/個である。</p> <p>また、重大事故時は、冷却水を通水した冷却コイルで水蒸気が凝縮することにより、冷却コイル出入口で密度差が生じ、冷却コイル入口と下部ダクト出口の高低差によるドラフト力で自然対流が発生し、格納容器内の熱を除去する。自然対流による除熱能力は、格納容器内雰囲気温度・圧力、ドラフト高さによる風量及び冷却水温度等により決まり、格納容器内雰囲気温度約168℃において格納容器再循環ユニット1個あたり約13.0MWの除熱量が得られる。この格納容器再循環ユニットを2個使用することにより、格納容器圧力を最高使用圧力の2倍以下に抑えることができる。</p>	<p>(2) 容量</p> <p>格納容器再循環ユニットの容量は、通常運転時における格納容器内の環境維持のための必要冷却能力を基に設定し、格納容器内を49℃以下に維持するために必要な容量としている。</p> <p>通常運転時における格納容器内の発熱量は約1.77MWであり、3個の格納容器再循環ユニットを使用するため、格納容器再循環ユニット1個あたりの容量は約0.59MWである。</p> <p>また、重大事故時は、冷却水を通水した冷却コイルで水蒸気が凝縮することにより、冷却コイル出入口で密度差が生じ、冷却コイル入口と下部ダクト出口の高低差によるドラフト力で自然対流が発生し、格納容器内の熱を除去する。自然対流による除熱能力は、格納容器内雰囲気温度・圧力、ドラフト高さによる風量及び冷却水温度等により決まり、格納容器内雰囲気温度約155℃において格納容器再循環ユニット1個あたり約7.6MWの除熱量が得られる。この格納容器再循環ユニットを2個使用することにより、格納容器圧力を最高使用圧力の2倍以下に抑えることができる。</p>	<p>設計の相違</p> <ul style="list-style-type: none"> <li>・通常運転時において格納容器内へ放出される機器放熱等の相違</li> <li>・事故時の格納容器内条件及び再循環ユニット及び再循環ダクト構成の相違</li> </ul>



第48条 最終ヒートシンクへ熱を輸送するための設備

大阪発電所3/4号炉	泊発電所3号炉	相違理由
<p>(3) 格納容器再循環ユニットの構造</p> <p>格納容器再循環ユニットの流路上には、冷却コイル、ダクト、ファンが設置されており、自然対流量の算出における圧力損失の評価では、流路上の全ての機器の抵抗を考慮し、これに基づく自然対流冷却の成立性を確認している。なお、<b>大飯3、4号機</b>の再循環ユニットは冷却コイル4面に<b>上下3段の計12個</b>のコイルが設置されている。図1-2に格納容器再循環ユニットの概要図を示す。</p>  <p>図1-2 格納容器再循環ユニット構造概略図</p>	<p>(3) 格納容器再循環ユニットの構造</p> <p>格納容器再循環ユニットの流路上には、冷却コイル、ダクト、<b>ファン</b>が設置されており、自然対流量の算出における圧力損失の評価では、流路上の全ての機器の抵抗を考慮し、これに基づく自然対流冷却の成立性を確認している。なお、<b>泊3号炉</b>の再循環ユニットは冷却コイル4面に<b>上下2段の計8個</b>のコイルが設置されている。図1-2に格納容器再循環ユニットの概要図を示す。</p>  <p>図1-2 格納容器再循環ユニット構造概略図</p>	<p>相違理由</p> <p><a href="#">設備名称の相違</a>  <a href="#">設計方針の相違</a>          ・再循環ユニット設計の相違</p>

大阪発電所3/4号炉	泊発電所3号炉	相違理由
<p>(4) 格納容器再循環ユニット冷却コイルの構造 格納容器再循環ユニットの冷却コイルは、冷却フィンとコイルで構成されている。 図1-3に冷却コイルの外観を示す。</p> <div style="display: flex; justify-content: space-around;"> <div style="text-align: center;">  <p>冷却水ヘッダー部 (冷却水温度計測用熱伝対取付状態)</p> </div> <div style="text-align: center;">  <p>チューブベント部</p> </div> </div> <div style="text-align: center; margin-top: 20px;">  <p>図1-3 冷却コイルの外観 (冷却コイル性能試験で使用のもの)</p> </div>	<p>(4) 格納容器再循環ユニット冷却コイルの構造 格納容器再循環ユニットの冷却コイルは、冷却フィンとコイルで構成されている。 図1-3に冷却コイルの外観を示す。</p> <div style="display: flex; justify-content: space-around;"> <div style="text-align: center;">  <p>冷却水ヘッダー部 (冷却水温度計測用熱伝対取付状態)</p> </div> <div style="text-align: center;">  <p>チューブベント部</p> </div> </div> <div style="text-align: center; margin-top: 20px;">  <p>図1-3 冷却コイルの外観 (冷却コイル性能試験で使用のもの)</p> </div>	

大阪発電所3 / 4号炉	泊発電所3号炉	相違理由
<p data-bbox="168 172 1041 263">大阪3、4号機の格納容器再循環ユニットでは、冷却コイルにハーフサーキット型が使用されており、これは、PWRプラントの格納容器再循環ユニット冷却コイルの型式では最も多く使用されている。</p> <p data-bbox="168 274 1041 367">図1-4にハーフサーキット型冷却コイルの側面及び鳥瞰図の概念図を示す。ハーフサーキット型冷却コイルでは、空気の流れに対して冷却水はまず下流から上流へ行き来して流れるので、ハーフサーキットでの分配本数はチューブ本数に対して半分となる。</p> <div data-bbox="206 391 976 901" style="border: 1px solid black; height: 320px; margin: 10px 0;"> <div style="display: flex; justify-content: space-between; padding: 5px;"> <span>側面図</span> <span>鳥瞰図</span> </div> </div> <p data-bbox="414 944 761 965">図1-4 ハーフサーキット型冷却コイル概念図</p> <div data-bbox="448 1141 896 1173" style="border: 1px solid black; padding: 2px; margin-top: 20px;"> <p>枠囲みの範囲は機密に係る事項ですので公開することはできません。</p> </div>	<p data-bbox="1086 172 1948 263">泊3号炉の格納容器再循環ユニットでは、冷却コイルにハーフサーキット型が使用されており、これは、PWRプラントの格納容器再循環ユニット冷却コイルの型式では最も多く使用されている。</p> <p data-bbox="1086 274 1960 367">図1-4にハーフサーキット型冷却コイルの側面及び鳥瞰図の概念図を示す。ハーフサーキット型冷却コイルでは、空気の流れに対して冷却水はまず下流から上流へ行き来して流れるので、ハーフサーキットでの分配本数はチューブ本数に対して半分となる。</p> <div data-bbox="1122 391 1892 901" style="border: 1px solid black; height: 320px; margin: 10px 0;"> <div style="display: flex; justify-content: space-between; padding: 5px;"> <span>側面図</span> <span>鳥瞰図</span> </div> </div> <p data-bbox="1321 944 1668 965">図1-4 ハーフサーキット型冷却コイル概念図</p> <div data-bbox="1310 1173 1758 1197" style="border: 1px solid black; padding: 2px; margin-top: 20px;"> <p>枠囲みの内容は機密情報に属しますので公開できません。</p> </div>	<p data-bbox="1982 172 2094 194"><a href="#">設備名称の相違</a></p>



大阪発電所3/4号炉	泊発電所3号炉	相違理由
<p>(5) ダクト開放機構</p> <p>伊方3号機の通常時の再循環ダクトの吹出口はダクト最下端部の1箇所に設置されており、重大事故等時には、吹出口のフェイルクローズ (F.C) のダンパが閉止する。また、水没することが想定されることから、水没しないレベルにダクト開放口を設置し、開放口に開放機構を設置している。(図1-5、6、表1-1)</p> <p>a. ダクト開放機構動作原理</p> <p>格納容器内雰囲気温度が上昇し、ダクト開放機構駆動装置に取り付けられた温度ヒューズ (①) が溶断することにより、ダクト開放機構の操作ハンドルの回転を止めているヒューズ押しピン (②) が引き抜かれ、作動スプリング (③) により操作ハンドル (④) が回転しダクト開放機構が開放される。</p> <p>b. ダクト開放機構の開放設定温度</p> <p>格納容器再循環ユニットによる格納容器内自然対流冷却は、格納容器圧力が最高使用圧力 (0.283MPa) に達した後に開始することを想定している。このため、ダクト開放機構の温度ヒューズの設定温度は、格納容器の最高使用圧力到達時点における蒸気分圧に対する飽和温度 (約132℃) に対して十分な裕度を考慮し、110℃に設定している。</p> <p>なお、この温度設定より低い温度設定の温度ヒューズを採用した場合、早期に格納容器内自然対流冷却を開始することが可能となるが、格納容器再循環ユニットの除熱量は格納容器内雰囲気温度に依存し、格納容器内雰囲気温度が低い場合には除熱量も低くなることから、格納容器圧力及び温度の最高値への低減効果は小さいと考えられる。</p> <p>c. 冷却水早期通水の影響</p> <p>ダクト開放機構が動作する前に冷却水を通水する場合であっても、温度ヒューズはダクト開放機構の格納容器内雰囲気側に設置しているため、ダクト内の冷却による影響を直接受けずに格納容器内雰囲気温度によって温度ヒューズは溶断され、ダクト開放機構は作動する。</p> <p style="text-align: center;">本記載は、伊方3号炉の参考掲載</p>	<p>(5) ダクト開放機構</p> <p>泊3号炉の通常時の再循環ダクトの吹出口はダクト最下端部の1箇所に設置されており、重大事故等時には、吹出口のフェイルクローズ (F.C) のダンパが閉止する。また、水没することが想定されることから、水没しないレベルにダクト開放口を新たに設置し、開放口に開放機構を設置した。(図1-5、6、表1-1)</p> <p>a. ダクト開放機構動作原理</p> <p>格納容器内雰囲気温度が上昇し、ダクト開放機構駆動装置に取り付けられたメルティングヒューズ (①) が溶断することにより、ダクト開放機構の操作ハンドルの回転を止めているヒューズ押しピン (②) が引き抜かれ、作動スプリング (③) により操作ハンドル (④) が回転しダクト開放機構が開放される。</p> <p>b. ダクト開放機構の開放設定温度</p> <p>格納容器再循環ユニットによる格納容器内自然対流冷却は、格納容器圧力が最高使用圧力に達した後に開始することを想定している。このため、ダクト開放機構のメルティングヒューズの設定温度は、格納容器の最高使用圧力に対する飽和温度 (約132℃) に対して十分な裕度を考慮し110℃に設定している。</p> <p>この温度設定より低い温度設定の標準品としては、72℃の温度設定のものがあるが、格納容器再循環系統の最高使用温度65℃を考慮するとダクト開放機構が誤作動した場合、格納容器下部への冷却空気が減少し、1次冷却材ポンプや原子炉容器などの冷却に悪影響を及ぼす懸念があるため採用しない。</p> <p>なお、この温度設定より低い温度設定の温度ヒューズを採用した場合、早期に格納容器内自然対流冷却を開始することが可能となるが、格納容器再循環ユニットの除熱量は格納容器内雰囲気温度に依存し、格納容器内雰囲気温度が低い場合には除熱量も低くなることから、格納容器圧力及び温度の最高値への低減効果は小さいと考えられる。</p> <p>c. 冷却水早期通水の影響</p> <p>ダクト開放機構が動作する前に冷却水を通水する場合であっても、温度ヒューズはダクト開放機構の格納容器内雰囲気側に設置しているため、ダクト内の冷却による影響を直接受けずに格納容器内雰囲気温度によって温度ヒューズは溶断され、ダクト開放機構は作動する。</p>	<p>設計の相違</p> <p>・PCCVである大阪3/4号炉は、CV内再循環外のメルティング、CV内構造が、鋼製CVの泊3号炉と異なり、大量のCV内注水を実施した場合でも、再循環ダクトの末端が水没せず、再循環出口が開放した状態を維持できるため、ダクト開放機構を設置していない。</p> <p>・比較対象として、鋼製CVの伊方3号炉のダクト開放機構にかかる記載と比較を行う。</p>



大飯発電所3/4号炉	泊発電所3号炉	相違理由
<p>開状態 (作動時)      閉状態 (通常時)</p> <p>温度ヒューズ</p> <p>格納容器側</p> <p>格納容器再循環ユニット側</p> <p>B-B断面</p> <p>A部詳細</p> <p>図1-5 ダクト開放機構概略図</p> <p>本記載は、伊方3号炉の参考掲載</p>	<p>開状態 (作動時)      閉状態 (通常時)</p> <p>気流</p> <p>B-B断面</p> <p>A部詳細</p> <p>④操作ハンドル      ③作動スプリング</p> <p>②ヒューズ弹出レビン      ①メルトンギンヒューズ</p> <p>図1-5 ダクト開放機構概略図</p>	<p></p>

大阪発電所3/4号炉	泊発電所3号炉	相違理由
<p>(6) ダクト開放機構の信頼性</p> <p>ダクト開放機構については、重大事故等時の環境下において、電源や空気源に頼ることなく、静的、且つ温度上昇に対して確実に開放できる仕組みとして温度ヒューズを使用したダクト開放機構を選定しており、開放機構の基本的な構造は防火ダンパと同様である。</p> <p>また、過去の研究※において自然対流冷却の流路確保に対するダクト開放機構の信頼性を確認することを目的として、下表のように温度ヒューズの単体特性試験及び作動性能実証試験を実施し、ダクト開放機構の作動性能を検証しており、高い信頼性があることを確認している。</p> <p>なお、伊方3号機の温度ヒューズ納入時にも、納入する温度ヒューズと同じロット番号の温度ヒューズを使用し、単体特性試験を実施した結果、設定温度110℃に対して、-4℃～-5℃の範囲にて溶断することを確認している。</p> <p>また、ダクト開放機構についても、電共研による作動性能実証試験において成果を得られた試験体と同仕様品を採用している。</p> <div data-bbox="181 635 981 1214" style="border: 1px solid black; height: 363px; width: 357px; margin: 10px 0;"></div> <div data-bbox="607 1270 965 1315" style="border: 1px solid black; padding: 2px; margin: 10px 0;">                     本記載は、伊方3号炉の参考掲載                 </div>	<p>(6) ダクト開放機構の信頼性</p> <p>ダクト開放機構については、重大事故時の環境下において、電源や空気源に頼ることなく、静的、且つ温度上昇に対して確実に開放できる仕組みとしてメルティングヒューズを使用したダクト開放機構を選定しており、開放機構の基本的な構造は防火ダンパと同様である。</p> <p>また、過去の研究※において自然対流冷却の流路確保に対するダクト開放機構の信頼性を確認することを目的として、下表のようにメルティングヒューズの単体特性試験及び作動性能実証試験を実施し、ダクト開放機構の作動性能を検証しており、高い信頼性があることを確認している。</p> <p>なお、泊発電所3号炉のメルティングヒューズ納入時にも、納入するメルティングヒューズと同じロット番号のメルティングヒューズを使用し、単体特性試験を実施した結果、設定温度110℃に対して、+0℃～-6℃の範囲にて溶断することを確認している。</p> <p>また、ダクト開放機構についても、電共研による作動性能実証試験において成果を得られた試験体と同仕様品を採用している。</p> <p>※「電力共同研究アクトマネジメント要素技術の実証に関する研究 (平成6年度最終報告書)」</p> <div data-bbox="1061 730 1890 1106" style="border: 1px solid black; height: 235px; width: 370px; margin: 10px 0;"></div>	<p>設備名称の相違 ・呼称は相違する が同一仕様品である。</p>

大阪発電所3 / 4号炉	泊発電所3号炉	相違理由
<div data-bbox="145 183 1041 582" style="border: 1px solid black; border-style: dashed; height: 250px; width: 100%;"></div> <div data-bbox="392 598 772 630" style="text-align: center;"> <p>図1-7 温度ヒューズ単体特性試験装置</p> </div> <div data-bbox="145 662 1041 1324" style="border: 1px solid black; border-style: dashed; height: 415px; width: 100%;"></div> <div data-bbox="324 1348 784 1380" style="text-align: center;"> <p>図1-8 ダクト解放機構の作動性能実証試験装置</p> </div> <div data-bbox="627 1380 985 1412" style="border: 1px solid black; padding: 2px; margin-top: 10px;"> <p>本記載は、伊方3号炉の参考掲載</p> </div>	<div data-bbox="1086 183 1937 558" style="border: 1px solid black; height: 235px; width: 100%;"></div> <div data-bbox="1276 566 1713 598" style="text-align: center;"> <p>図1-7 メルティングヒューズ単体特性試験装置</p> </div> <div data-bbox="1086 630 1937 1292" style="border: 1px solid black; height: 415px; width: 100%;"></div> <div data-bbox="1265 1300 1691 1332" style="text-align: center;"> <p>図1-8 ダクト開放機構の作動性能実証試験装置</p> </div>	

第48条 最終ヒートシンクへ熱を輸送するための設備

大阪発電所3/4号炉	泊発電所3号炉	相違理由
<p>(5) 実機配置</p> <p>大飯3、4号機では、重大事故時の自然対流路として、EL. 38.7mに設置の2台(A、D)の再循環ユニットの下部ダクトに設置される吹き出し口のうち、中間フロア(EL. 26m)のフロアに設置)を評価対象としている(図1-5参照)。なお、大飯3、4号機には、ダクト開放機構は設置されていない。</p> <p>&lt;中間出口のみで評価する妥当性&gt;再循環ダクトには各フロアに対して3箇所の吹き出し口がある。このうち、最下層のフロアに設置する吹き出し口については再循環ユニットからの高さがあり最もドラフト効果が期待できるとともに、現状の有効性評価のシナリオで水没することはないが、評価では期待していない。</p> <p>また、最上部の吹き出し口からの流れについては、立ち上がっているダクト形状から評価上は加味せず、中間部の吹き出し口への流れのみとすることにより自然対流量を保守的に見積もり、除熱量に対しても保守的な評価としている。</p> <p>なお、格納容器再循環ユニットで冷却された格納容器内ガスは再循環ユニット内で密度が高くなりダクト内を下降していくことでドラフト力が発生するものであるが、自然対流が形成する過程で最上部の吹き出し口から流れが全て抜けてしまうことはなく、ドラフト力の発生を阻害するものではない(最上部と中間部の吹き出し口のダクトからの分岐高さは同じ高さである)。</p>	<p>(7) 実機配置</p> <p>泊3号炉では、重大事故時の自然対流路を確保するためにメルティングヒューズで開放するダクト開放機構をT.P.38.8m設置の2台(C、D)の再循環ユニットの下部ダクトに設置しており、この開放機構(T.P. 17.8mフロアに設置)を評価対象としている。</p> <div data-bbox="1164 798 1836 1149" data-label="Diagram"> </div> <p>図1-9 格納容器再循環ユニット及びダクト開放機構配置概略図</p>	<p><u>設計の相違</u></p> <ul style="list-style-type: none"> <li>・PCCVである大飯3/4号炉はCV内再循環外のメルティング、CV内構造が、鋼製CVの泊3号炉と異なり、最大のCV内注水を実施した場合でも、再循環ダクトの末端が水没せず、再循環出口が開放した状態を維持できるため、ダクト開放機構を設置していない。</li> <li>・格納容器への注水状態においても、有効に機能するダクト解放部を評価対象とすることに相違はない。</li> </ul>



第48条 最終ヒートシンクへ熱を輸送するための設備

大飯発電所3/4号炉

表1-1 各事故シナリオにおける再循環ファン・再循環ダクト吹出口の状況

有効性評価シナリオ	再循環ユニットでの除熱評価における条件	
	各シナリオでの状況	再循環ファン の稼動状況
原子炉補機冷却機能喪失 (全交流電源喪失 +RCP シール LOCA)	吹出口(最下部の 上端)の水没状況 A系: E.L. 24.65m D系: E.L. 24.65m (格納容器内水位)	水没せず E.L. 約 19.5m (約 2,200m <sup>3</sup> )
格納容器の除熱機能喪失 (大 LOCA+低圧再循環失敗 +格納容器スプレイ失敗)	水没せず E.L. 約 19.5m (約 2,200m <sup>3</sup> )	考慮せず (自然対流冷 却で評価)
格納容器過圧破損 (大 LOCA+ECCS 注入失敗 +格納容器スプレイ注入失敗)	水没せず E.L. 約 20.5m (約 3,400m <sup>3</sup> )	
格納容器過温破損 (全交流電源喪失+補助給水失敗)	水没せず E.L. 約 20.1m (約 2,900m <sup>3</sup> )	
		想定する 吹出口
		E.L. 26.0m フロア設置吹 出口 (E.L. 約 30.7m)

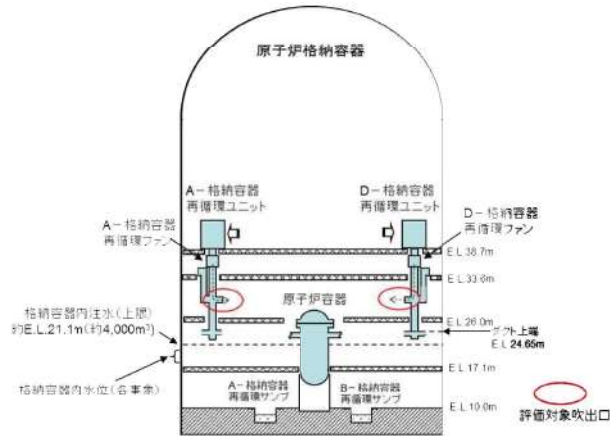


図1-5 格納容器再循環ユニット配置概要図 (原子炉格納容器断面図)

48-8-36

泊発電所3号炉

表1-1 各事故シナリオにおける再循環ファン・再循環ダクト吹出口の状況

有効性評価シナリオ	再循環ユニットでの除熱評価における条件	
	各シナリオでの状況	再循環ファン の稼動状況
原子炉補機冷却機能喪失 (全交流電源喪失 +RCP シール LOCA)	吹出口(最下部) の水没状況 C,D系: T.P. 21.9m (格納容器内水位)	水没せず T.P. 約 13.7m (約 1,800m <sup>3</sup> )
格納容器の除熱機能喪失 (大 LOCA+低圧再循環失敗 +格納容器スプレイ失敗)	水没せず T.P. 約 13.7m (約 1,800m <sup>3</sup> )	考慮せず (自然対流冷 却で評価)
格納容器過圧破損 (大 LOCA+ECCS 注入失敗 +格納容器スプレイ注入失敗)	水没せず T.P. 約 17.8m (約 3,600m <sup>3</sup> )	
格納容器過温破損 (全交流電源喪失+補助給水失敗)	水没せず T.P. 約 17.0m (約 3,200m <sup>3</sup> )	
		想定する 吹出口
		ダクト開放 機構

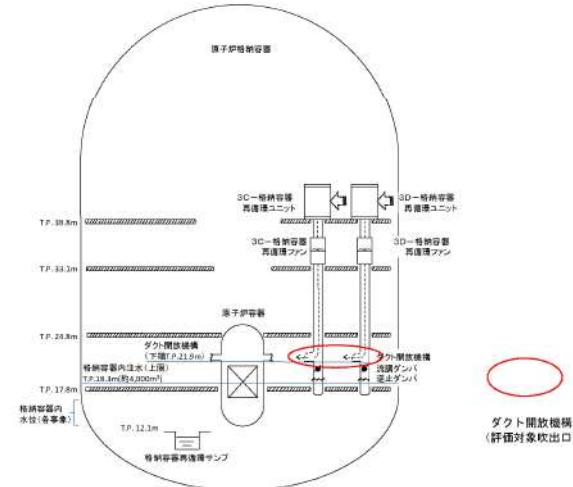


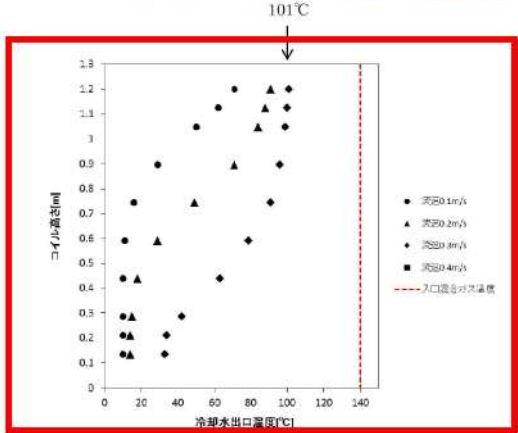
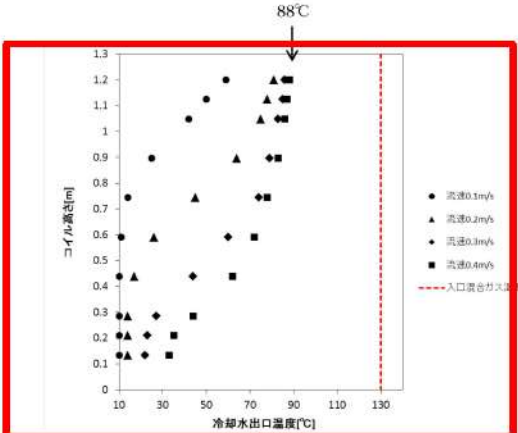
図1-6 格納容器再循環ユニット配置概要図 (原子炉格納容器断面図)

48-7-34

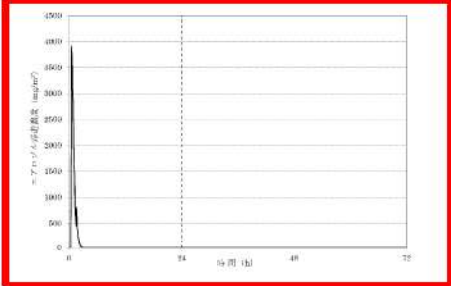
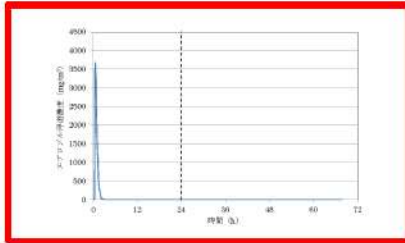
相違理由

設計方針の相違  
 ・PCCV である大飯3/4号炉は、CV内再循環外の「パッキング」、CV内構造が、鋼製CVの泊3号炉と異なり、大量のCV内注水を実施した場合でも、再循環ダクトの末端が水没せず、再循環出口が開放した状態を維持できるため、ダクト開放機構を設置していない。  
 ・各有効性シナリオにおける格納容器内注水量で水没せず、自然対流冷却の効果のみを考慮する評価内容には相違なし。

第48条 最終ヒートシンクへ熱を輸送するための設備

大阪発電所3/4号炉	泊発電所3号炉	相違理由																								
<p>参考資料-1 冷却コイル高さ方向での熱容量の裕度について</p> <p>格納容器再循環ユニット冷却コイル性能確認試験にて試験を実施した条件のうち、<b>大阪3、4号機</b>における格納容器最高使用圧力(0.39MPaG≒5ata)とほぼ同等な冷却コイル入口混合ガス条件(表1参照。圧力5ata、温度140℃)における冷却コイル高さ方向での冷却コイルの熱容量の余裕を確認するために、冷却コイル高さ方向での冷却水出口温度の分布を図1に整理した。</p> <p>図1を見ると、コイル高さが高いほど冷却水出口温度は高く、コイル高さが低いほど冷却水出口温度は低いことがわかる。冷却水の温度上昇分が除熱量であるため、コイル高さが高いほど除熱量が大きく、コイル高さが低いほど除熱量が小さいことがわかる。</p> <p>除熱量の最も大きい条件は、混合ガス流速0.3m/sにおけるコイル高さ1.2mのポイントであり、このポイントでの冷却水出口温度は101℃であるので、混合ガス温度約140℃に比べて、約40℃の冷却水温度の余裕があることがわかる。</p> <p>表1 試験条件と実機条件との比較</p> <table border="1" data-bbox="331 683 842 798"> <thead> <tr> <th></th> <th>実験条件</th> <th>大阪3、4号機*</th> </tr> </thead> <tbody> <tr> <td>全圧</td> <td>5ata</td> <td>約5ata</td> </tr> <tr> <td>温度</td> <td>約140℃</td> <td>約140℃</td> </tr> <tr> <td>混合ガス流速</td> <td>0.1~0.3m/sec</td> <td>約0.2m/sec</td> </tr> </tbody> </table> <p>※大阪3、4号機における格納容器最高使用圧力での値</p>  <p>図1 冷却コイル高さ方向での冷却水出口温度分布</p>		実験条件	大阪3、4号機*	全圧	5ata	約5ata	温度	約140℃	約140℃	混合ガス流速	0.1~0.3m/sec	約0.2m/sec	<p>参考資料-1 冷却コイル高さ方向での熱容量の裕度について</p> <p>格納容器再循環ユニット冷却コイル性能確認試験にて試験を実施した条件のうち、<b>泊3号炉</b>における格納容器最高使用圧力(0.283MPaG≒3.9ata)とほぼ同等な冷却コイル入口混合ガス条件(表1参照。圧力4ata、温度130℃)における冷却コイル高さ方向での冷却コイルの熱容量の余裕を確認するために、冷却コイル高さ方向での冷却水出口温度の分布を図1に整理した。</p> <p>図1を見ると、コイル高さが高いほど冷却水出口温度は高く、コイル高さが低いほど冷却水出口温度は低いことがわかる。冷却水の温度上昇分が除熱量であるため、コイル高さが高いほど除熱量が大きく、コイル高さが低いほど除熱量が小さいことがわかる。</p> <p>除熱量の最も大きい条件は、混合ガス流速0.4m/sにおけるコイル高さ1.2mのポイントであり、このポイントでの冷却水出口温度は88℃であるので、混合ガス温度約130℃に比べて、約40℃の冷却水温度の余裕があることがわかる。</p> <p>表1 試験条件と実機条件との比較</p> <table border="1" data-bbox="1182 676 1836 817"> <thead> <tr> <th></th> <th>実験条件</th> <th>泊3号炉*</th> </tr> </thead> <tbody> <tr> <td>全圧</td> <td>4ata</td> <td>約3.9ata</td> </tr> <tr> <td>温度</td> <td>約130℃</td> <td>約130℃</td> </tr> <tr> <td>混合ガス流速</td> <td>0.1~0.4m/sec</td> <td>約0.25m/sec</td> </tr> </tbody> </table> <p>※泊3号炉における格納容器最高使用圧力での値</p>  <p>図1 冷却コイル高さ方向での冷却水出口温度分布</p>		実験条件	泊3号炉*	全圧	4ata	約3.9ata	温度	約130℃	約130℃	混合ガス流速	0.1~0.4m/sec	約0.25m/sec	<p>相違理由</p> <p>設計の相違</p> <ul style="list-style-type: none"> <li>・格納容器型式の相違により、格納容器最高使用圧力の相違。</li> </ul> <p>設計の相違</p> <ul style="list-style-type: none"> <li>・格納容器最高使用圧力の相違により、参照する実験条件が相違。</li> </ul>
	実験条件	大阪3、4号機*																								
全圧	5ata	約5ata																								
温度	約140℃	約140℃																								
混合ガス流速	0.1~0.3m/sec	約0.2m/sec																								
	実験条件	泊3号炉*																								
全圧	4ata	約3.9ata																								
温度	約130℃	約130℃																								
混合ガス流速	0.1~0.4m/sec	約0.25m/sec																								

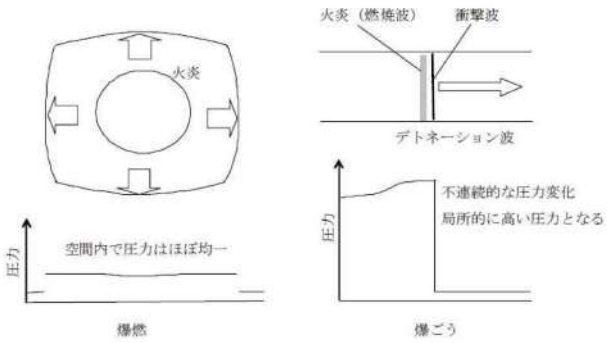
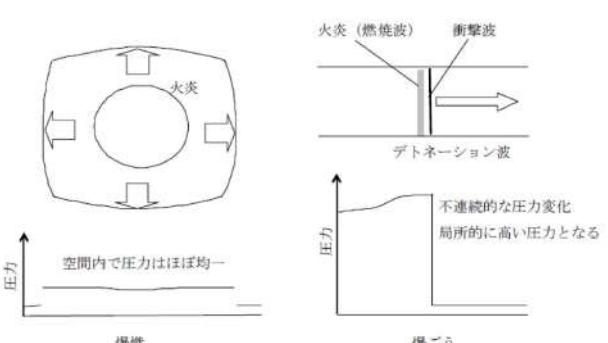
第48条 最終ヒートシンクへ熱を輸送するための設備

大阪発電所3/4号炉	泊発電所3号炉	相違理由
<p data-bbox="286 172 904 196">参考資料-2 エアロゾルによる自然対流冷却除熱性能劣化について</p> <p data-bbox="145 240 1037 367">大阪3、4号機における格納容器破損防護対策の代表シナリオである「大破断 LOCA+ECCS 注入失敗+CV スプレイ失敗」シナリオでは格納容器内のエアロゾル浮遊濃度は、MAAP 解析の結果より最大で約 4000mg/m<sup>3</sup>である(図1)。これを見ると、事故時急激にエアロゾルが発生するが、代替 CV スプレイ水により3時間程度で除去されていることがわかる。</p> <p data-bbox="145 376 1037 469">一方、本シナリオにおける格納容器再循環ユニットによる自然対流冷却の開始時刻は、エアロゾルが除去されて以降であるので、自然対流冷却開始時点では格納容器内に有意なエアロゾルの浮遊はないことがわかる。</p> <p data-bbox="145 478 1037 537">従って、格納容器再循環ユニットによる自然対流冷却について、エアロゾルによる有意な除熱性能劣化の影響はないものと判断できる。</p>  <p data-bbox="436 850 725 869">図1 エアロゾルの浮遊濃度(ドーム部)</p> <p data-bbox="286 876 898 895">(大破断 LOCA+ECCS 注入失敗+CV スプレイ失敗+代替 CV スプレイ成功) シナリオ</p>	<p data-bbox="1196 172 1814 196">参考資料-2 エアロゾルによる自然対流冷却除熱性能劣化について</p> <p data-bbox="1059 240 1960 367">泊3号炉における格納容器破損防止対策の代表シナリオである「大破断 LOCA+ECCS 注入失敗+CV スプレイ失敗」シナリオでは格納容器内のエアロゾル浮遊濃度は、MAAP 解析の結果より最大で約 3700mg/m<sup>3</sup>である(図1)。これを見ると、事故時急激にエアロゾルが発生するが、代替 CV スプレイ水により3時間程度で除去されていることがわかる。</p> <p data-bbox="1059 376 1960 469">一方、本シナリオにおける格納容器再循環ユニットによる自然対流冷却の開始時刻は、エアロゾルが除去されて以降であるので、自然対流冷却開始時点では格納容器内に有意なエアロゾルの浮遊はないことがわかる。</p> <p data-bbox="1059 478 1960 537">従って、格納容器再循環ユニットによる自然対流冷却について、エアロゾルによる有意な除熱性能劣化の影響はないものと判断できる。</p>  <p data-bbox="1346 809 1637 828">図1 エアロゾルの浮遊濃度(ドーム部)</p> <p data-bbox="1196 834 1812 853">(大破断 LOCA+ECCS 注入失敗+CV スプレイ失敗+代替 CV スプレイ成功) シナリオ</p>	<p data-bbox="1973 276 2114 534">相違理由 解析結果の相違 ・解析結果は相違するが、エアロゾルによる格納容器自然対流冷却における除熱性能への有意な影響はないことは同じである。</p>



赤字：設備、運用又は体制の相違（設計方針の相違）  
 青字：記載箇所又は記載内容の相違（記載方針の相違）  
 緑字：記載表現、設備名称の相違（実質的な相違なし）

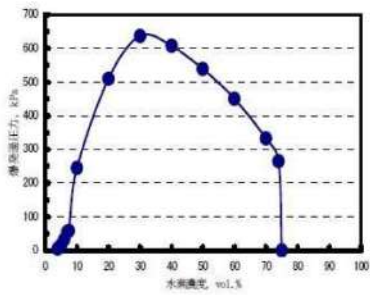
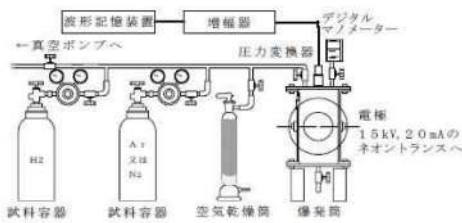
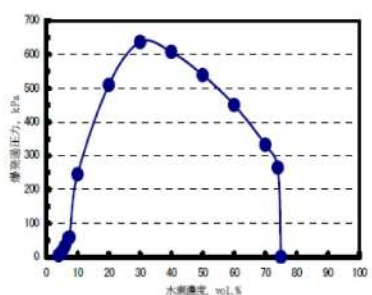
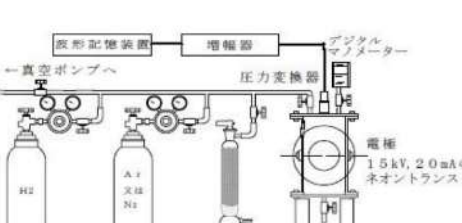
第48条 最終ヒートシンクへ熱を輸送するための設備

大阪発電所3/4号炉	泊発電所3号炉	相違理由
<p>参考資料-3 格納容器再循環ユニットのダクト内外での水素燃焼影響について</p> <p>1. はじめに</p> <p>本資料は、格納容器再循環ユニット内外の局所的な水素濃度上昇による水素燃焼の影響についてまとめたものである。なお、格納容器再循環ユニット内に着火源はないためユニット内からの水素燃焼は想定しがたいが、冷却コイル出口ではドライ環境のため入口より水素濃度が相対的に上昇することを踏まえ、念のために機器への影響を確認することを目的とする。</p> <p>2. 爆轟と爆燃における圧力伝播と圧力分布の違い</p> <p>爆轟では、火炎は音速を超えた速度で伝播するため、火炎の直前に衝撃波が形成され、火炎からのエネルギー放出により衝撃波が減衰することなく伝播し続けるものとなる。</p> <p>空間内の圧力分布を考えると、爆轟では火災伝播は圧力の伝わる速度より速く局所的に圧力が大きく上昇するため、非常に大きな被害が出やすいが、爆燃では圧力変化（音速で伝わる）は火炎伝播より十分速く空間内に伝わる。このため、燃焼による圧力上昇は閉空間全体で平均化される。</p> <p>イグナイタが着火する8%vol程度の水素濃度では、火炎伝播速度は小さく爆轟に至らないため、仮にダクト内又は外で着火・伝播しても、ダクトに有意な圧力（内外圧力差）は生じない。</p>  <p>図1 爆燃と爆轟での圧力分布(参考文献(1)より引用)</p>	<p>参考資料-3 格納容器再循環ユニットのダクト内<sup>外</sup>での水素燃焼影響について</p> <p>1. はじめに</p> <p>本資料は、格納容器再循環ユニット内<sup>外</sup>の局所的な水素濃度上昇による水素燃焼の影響についてまとめたものである。なお、格納容器再循環ユニット内に着火源はないためユニット内からの水素燃焼は想定しがたいが、冷却コイル出口ではドライ環境のため入口より水素濃度が相対的に上昇することを踏まえ、念のために機器への影響を確認することを目的とする。</p> <p>2. 爆轟と爆燃における圧力伝播と圧力分布の違い</p> <p>爆轟では、火炎は音速を超えた速度で伝播するため、火炎の直前に衝撃波が形成され、火炎からのエネルギー放出により衝撃波が減衰することなく伝播し続けるものとなる。</p> <p>空間内の圧力分布を考えると、爆轟では火災伝播は圧力の伝わる速度より速く局所的に圧力が大きく上昇するため、非常に大きな被害が出やすいが、爆燃では圧力変化（音速で伝わる）は火炎伝播より十分速く空間内に伝わる。このため、燃焼による圧力上昇は閉空間全体で平均化される。</p> <p>イグナイタが着火する8%vol程度の水素濃度では、火炎伝播速度は小さく爆轟に至らないため、仮にダクト内又は外で着火・伝播しても、ダクトに有意な圧力（内外圧力差）は生じない。</p>  <p>図1 爆燃と爆轟での圧力分布(参考文献(1)より引用)</p>	



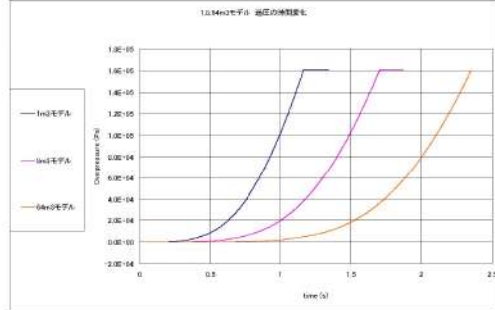
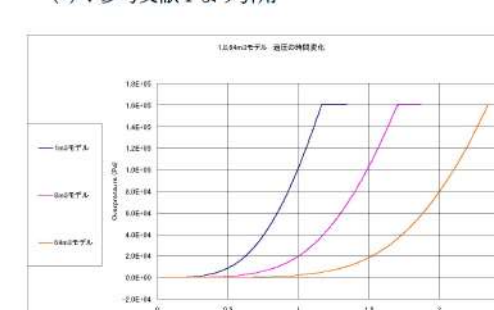
赤字：設備、運用又は体制の相違（設計方針の相違）  
 青字：記載箇所又は記載内容の相違（記載方針の相違）  
 緑字：記載表現、設備名称の相違（実質的な相違なし）

第48条 最終ヒートシンクへ熱を輸送するための設備

大阪発電所3/4号炉	泊発電所3号炉	相違理由
<p>3. 単純な体系での評価</p> <p>(1) 一般的な知見</p> <p>内容積2Lのステンレス製円筒容器(102mmφ×210H 観測窓付)を用い、着火は容器中心部において、電気スパーク(15kVのネオントランス)を用いて室温、大気圧下で行った水素/空気混合ガスの爆発圧力特性の測定結果を図2に、測定装置の概略を図3に示す。</p> <p>8%程度では、爆発過圧力は、100kPa~200kPaの間にある。</p>  <p>図2 水素/空気混合ガスの爆発圧力(参考文献(1)より引用)</p>  <p>図3 水素の爆発特性測定装置(参考文献(1)より引用)</p>	<p>3. 単純な体系での評価</p> <p>(1) 一般的な知見</p> <p>内容積2Lのステンレス製円筒容器(102mmφ×210H 観測窓付)を用い、着火は容器中心部において、電気スパーク(15kVのネオントランス)を用いて室温、大気圧下で行った水素/空気混合ガスの爆発圧力特性の測定結果を図2に、測定装置の概略を図3に示す。</p> <p>8%程度では、爆発過圧力は、100kPa~200kPaの間にある。</p>  <p>図2 水素/空気混合ガスの爆発圧力(参考文献(1)より引用)</p>  <p>図3 水素の爆発特性測定装置(参考文献(1)より引用)</p>	

赤字：設備、運用又は体制の相違（設計方針の相違）  
 青字：記載箇所又は記載内容の相違（記載方針の相違）  
 緑字：記載表現、設備名称の相違（実質的な相違なし）

第48条 最終ヒートシンクへ熱を輸送するための設備

大阪発電所3/4号炉	泊発電所3号炉	相違理由																								
<p>(2) 火炎伝播解析による評価</p> <p>1m<sup>3</sup>、8m<sup>3</sup>及び64m<sup>3</sup>の立方体（閉空間）に一樣濃度の水素と空気との予混合気形成されている場合の最大過圧を水素の燃焼解析で求め、その計算結果を表1に示す。理論的には以下の式が成り立ち、水素濃度20%の計算結果は文献値より少し低めであるが、8%および30%を含めて、凡そ文献値とほぼ同じ値を示している。水素濃度8%程度の場合、計算では最大過圧は160kPaであった。</p> $\frac{P_2}{P_1} = \frac{n_2 T_2}{n_1 T_1} \quad \left[ \begin{array}{l} 1: \text{燃焼前} \\ 2: \text{燃焼後} \end{array} \right]$ <p>8%の水素が全て燃焼した時の到達圧力は、図4に示すとおり、容積（1m<sup>3</sup>、8m<sup>3</sup>及び64m<sup>3</sup>）が異なっても最大で160kPaであり、到達圧力が同じであることを確認した。なお、圧力の時間に伴う上昇は、体系内のどの地点でもほぼ同じ圧力のまま上昇していく結果となっている。このことは、図1に示した爆燃までの燃焼では、燃焼に伴う局所的な圧力の増加は体系内に速やかに均一化されることを裏付けている。</p> <p>以上より、8%の水素濃度で水素がすべて燃焼しても、区画内の設置されている機器の表面で圧力差は小さく、健全性が脅かされることはない。</p> <p style="text-align: center;">表1 最大過圧</p> <table border="1" data-bbox="403 742 772 869"> <thead> <tr> <th>H<sub>2</sub>濃度</th> <th>文献値(*)</th> <th>計算結果</th> </tr> </thead> <tbody> <tr> <td>8%</td> <td>100~200kPa</td> <td>160kPa</td> </tr> <tr> <td>20%</td> <td>500kPa</td> <td>400kPa</td> </tr> <tr> <td>30%</td> <td>640kPa</td> <td>600kPa</td> </tr> </tbody> </table> <p>(*)：参考文献1より引用</p>  <p style="text-align: center;">図4 1m<sup>3</sup>、8m<sup>3</sup>及び64m<sup>3</sup>での圧力変化（H<sub>2</sub>濃度8%）</p>	H <sub>2</sub> 濃度	文献値(*)	計算結果	8%	100~200kPa	160kPa	20%	500kPa	400kPa	30%	640kPa	600kPa	<p>(2) 火炎伝播解析による評価</p> <p>1m<sup>3</sup>、8m<sup>3</sup>及び64m<sup>3</sup>の立方体（閉空間）に一樣濃度の水素と空気との予混合気形成されている場合の最大過圧を水素の燃焼解析で求め、その計算結果を表1に示す。理論的には以下の式が成り立ち、水素濃度20%の計算結果は文献値より少し低めではあるが、8%および30%を含めて、凡そ文献値とほぼ同じ値を示している。水素濃度8%程度の場合、計算では最大過圧は160kPaであった。</p> $\frac{P_2}{P_1} = \frac{n_2 T_2}{n_1 T_1} \quad \left[ \begin{array}{l} 1: \text{燃焼前} \\ 2: \text{燃焼後} \end{array} \right]$ <p>8%の水素が全て燃焼した時の到達圧力は、図4に示すとおり、容積（1m<sup>3</sup>、8m<sup>3</sup>及び64m<sup>3</sup>）が異なっても最大で160kPaであり、到達圧力が同じであることを確認した。なお、圧力の時間に伴う上昇は、体系内のどの地点でもほぼ同じ圧力のまま上昇していく結果となっている。このことは、図1に示した爆燃までの燃焼では、燃焼に伴う局所的な圧力の増加は体系内に速やかに均一化されることを裏付けている。</p> <p>以上より、8%の水素濃度で水素がすべて燃焼しても、区画内の設置されている機器の表面で圧力差は小さく、健全性が脅かされることはない。</p> <p style="text-align: center;">表1 最大過圧</p> <table border="1" data-bbox="1276 742 1646 869"> <thead> <tr> <th>H<sub>2</sub>濃度</th> <th>文献値(*)</th> <th>計算結果</th> </tr> </thead> <tbody> <tr> <td>8%</td> <td>100~200kPa</td> <td>160kPa</td> </tr> <tr> <td>20%</td> <td>500kPa</td> <td>400kPa</td> </tr> <tr> <td>30%</td> <td>640kPa</td> <td>600kPa</td> </tr> </tbody> </table> <p>(*)：参考文献1より引用</p>  <p style="text-align: center;">図4 1m<sup>3</sup>、8m<sup>3</sup>及び64m<sup>3</sup>での圧力変化（H<sub>2</sub>濃度8%）</p>	H <sub>2</sub> 濃度	文献値(*)	計算結果	8%	100~200kPa	160kPa	20%	500kPa	400kPa	30%	640kPa	600kPa	
H <sub>2</sub> 濃度	文献値(*)	計算結果																								
8%	100~200kPa	160kPa																								
20%	500kPa	400kPa																								
30%	640kPa	600kPa																								
H <sub>2</sub> 濃度	文献値(*)	計算結果																								
8%	100~200kPa	160kPa																								
20%	500kPa	400kPa																								
30%	640kPa	600kPa																								



赤字：設備、運用又は体制の相違（設計方針の相違）  
 青字：記載箇所又は記載内容の相違（記載方針の相違）  
 緑字：記載表現、設備名称の相違（実質的な相違なし）

第48条 最終ヒートシンクへ熱を輸送するための設備

大阪発電所3/4号炉	泊発電所3号炉	相違理由								
<p>4. ダクト体系での確認</p> <p>これまでの知見では、配管類で爆轟が生じたのは、片端又は両端が閉ざされた閉空間で水素濃度が高濃度に蓄積したもので起こっているため、PWRのユニット・ダクトのような両端が開放された構造、水素濃度が低い（ドライ水素濃度 13%未満）条件では爆轟は発生しないと考えられる。</p> <p>しかしながら、ダクト内では、火炎の伝播方向が限定され、火炎加速が比較的起こりやすいと考えられること、及びダクト内で水蒸気が凝縮して水素濃度が高濃度になる可能性を想定し、</p> <ul style="list-style-type: none"> <li>・ダクト内 13%濃度均一（解析水蒸気凝縮による水素濃度増加を考慮し、GOTHIC 解析の CV ドライ平均水素濃度の最大値を包絡する値を設定）</li> <li>・ダクト外（部屋内）8%均一</li> <li>・ダクト内で何らかの理由で着火とダクト外のイグナイタでの着火の2通りを仮定の条件で火炎伝播及び圧力伝播解析により、爆燃の範囲でもダクトユニットの健全性に影響するような内外圧差が生じないことを評価した。</li> </ul> <p>4. 1 ダクト内での着火</p> <p>(1) 解析体系</p> <p>解析体系を図5に示す。点火位置はダクト上部開口部の中央とした。</p> <p>(2) 解析結果</p> <p>図6に燃焼率コンター図を示すとおり、区画内の燃焼は1秒以内で終わっている。ダクト内の圧力はダクト上部と中央部と下部の開口部から抜けるため内部からの圧力上昇値は高くない。この時の自然対流路（ダクト開口部より上側）の内外差圧は表2及び図7に示すとおりであり、過渡的にも再循環ユニットダクトの許容圧力内に収まる結果となった。</p> <div data-bbox="224 949 963 1125" style="border: 1px solid black; padding: 5px;"> <p>表2 自然対流路の内外圧差評価結果（ダクト内着火）</p> <table border="1"> <tr> <td>自然対流路の内外圧差最大値</td> <td>大阪 3/4 号機の再循環ユニットダクトの許容圧力</td> </tr> <tr> <td>約 1.5 kPa</td> <td>約 4.5 kPa(*)</td> </tr> </table> <p>(*)：耐圧試験による検証結果</p> </div> <p>(2) 解析結果</p> <p>図6に燃焼率コンター図を示すとおり、区画内の燃焼は1秒以内で終わっている。ダクト内の圧力はダクト上部と中央部の開口部から抜けるため内部からの圧力上昇値は高くないが、ダクト内での燃焼終了後もダクト外での燃焼が下部で続いているため、区画内の燃焼終了間際にダクト外部の圧力が内部に比べて若干高くなる。この時の自然対流路（ダクト開口部より上側）の内外差圧は表2及び図7に示すとおりであり、過渡的にも格納容器循環冷暖房ユニットダクトの許容圧力内に収まる結果となった。</p> <div data-bbox="649 1404 996 1444" style="border: 1px solid black; padding: 2px; text-align: center;"> <p>本記載は、美浜3号炉の参考掲載</p> </div>	自然対流路の内外圧差最大値	大阪 3/4 号機の再循環ユニットダクトの許容圧力	約 1.5 kPa	約 4.5 kPa(*)	<p>4. ダクト体系での確認</p> <p>これまでの知見では、配管類で爆轟が生じたのは、片端又は両端が閉ざされた閉空間で水素濃度が高濃度に蓄積したもので起こっているため、PWRのユニット・ダクトのような両端が開放された構造、水素濃度が低い（ドライ水素濃度 13%未満）条件では爆轟は発生しないと考えられる。</p> <p>しかしながら、ダクト内では、火炎の伝播方向が限定され、火炎加速が比較的起こりやすいと考えられること、及びダクト内で水蒸気が凝縮して水素濃度が高濃度になる可能性を想定し、</p> <ul style="list-style-type: none"> <li>・ダクト内 13%濃度均一（解析水蒸気凝縮による水素濃度増加を考慮し、GOTHIC 解析の CV ドライ平均水素濃度の最大値を包絡する値を設定）</li> <li>・ダクト外（部屋内）8%均一</li> <li>・ダクト内で何らかの理由で着火とダクト外のイグナイタでの着火の2通りを仮定の条件で火炎伝播及び圧力伝播解析により、爆燃の範囲でもダクトユニットの健全性に影響するような内外圧差が生じないことを評価した。</li> </ul> <p>4. 1 ダクト内での着火</p> <p>(1) 解析体系</p> <p>解析体系を図5に示す。点火位置はダクト上部開口部の中央とした。</p> <p>(2) 解析結果</p> <p>図6に燃焼率コンター図を示すとおり、区画内の燃焼は1秒以内で終わっている。ダクト内の圧力はダクト上部と中央部の開口部から抜けるため内部からの圧力上昇値は高くないが、ダクト内での燃焼終了後もダクト外での燃焼が下部で続いているため、区画内の燃焼終了間際にダクト外部の圧力が内部に比べて若干高くなる。この時の自然対流路（ダクト開口部より上側）の内外差圧は表2及び図7に示すとおりであり、過渡的にも再循環ユニットダクトの許容圧力内に収まる結果となった。</p> <div data-bbox="1153 949 1870 1125" style="border: 1px solid black; padding: 5px;"> <p>表2 自然対流路の内外圧差評価結果</p> <table border="1"> <tr> <td>自然対流路の内外圧差最大値</td> <td>泊3号炉の再循環ユニットダクトの許容圧力</td> </tr> <tr> <td>約 7kPa</td> <td>約 19.6kPa(*)</td> </tr> </table> <p>(*)：カタログ保証値</p> </div>	自然対流路の内外圧差最大値	泊3号炉の再循環ユニットダクトの許容圧力	約 7kPa	約 19.6kPa(*)	<p>相違理由</p> <p><b>設計の相違</b></p> <ul style="list-style-type: none"> <li>・泊3号炉には、ダクト下部に開口部はない。ダクト体系内の開口部から圧力が抜けることに相違はない。</li> <li>・ダクト開口箇所の相違</li> <li>・ダクト開口部がダクト下部にも設置している大阪3/4号炉では、ダクト内外差圧が解消しやすい体系。</li> <li>・泊3号炉は、ダクト下部に開口部がないため、下部区画のダクト外の燃焼影響によりダクト内外差圧が大阪に比較し大きくなりやすい体系。(高浜3/4号炉、美浜3号炉と同様)</li> <li>・いずれにおいてもダクトの許容圧力未満であることは同じである。</li> </ul>
自然対流路の内外圧差最大値	大阪 3/4 号機の再循環ユニットダクトの許容圧力									
約 1.5 kPa	約 4.5 kPa(*)									
自然対流路の内外圧差最大値	泊3号炉の再循環ユニットダクトの許容圧力									
約 7kPa	約 19.6kPa(*)									

赤字：設備、運用又は体制の相違（設計方針の相違）  
 青字：記載箇所又は記載内容の相違（記載方針の相違）  
 緑字：記載表現、設備名称の相違（実質的な相違なし）

第48条 最終ヒートシンクへ熱を輸送するための設備

大飯発電所3/4号炉	泊発電所3号炉	相違理由												
<p>4. 2 ダクト外での着火</p> <p>(1) 解析体系 解析体系を図8に示す。着火点は実機の離隔距離を踏まえ、ダクトから3mとした。</p> <p>(2) 解析結果 図9に燃焼率コンター図を示すとおり、区画内の燃焼は1秒以内で終わっている。</p> <p>ダクト下端部に到達した火炎は、ダクト下端部よりダクト内にも伝播し、ダクト内外を広がっていく。その後、火炎はダクト上部を抜け、火炎は消失している。火炎伝播の時間差によりダクト内外の圧力差が生じるが、自然対流路（ダクト開口部より上側）の内外差圧は最大でも表3及び図10に示すとおりであり、過渡的にも再循環ダクトの許容圧力内に収まる結果となった。</p> <table border="1" data-bbox="300 683 853 799"> <caption>表3 自然対流路の内外圧差評価結果（ダクト外着火）</caption> <tr> <td>自然対流路の内外圧差最大値</td> <td>大飯3/4号機の再循環ユニット ダクトの許容圧力</td> </tr> <tr> <td>約3kPa</td> <td>約4.5kPa(*)</td> </tr> <tr> <td colspan="2">(*)：耐圧試験による検証結果</td> </tr> </table> <p>(2) 解析結果 図9の燃焼率コンター図に示すとおり、区画内の燃焼は1秒以内で終わっている。 ダクト下端部が閉口であるため、火炎はダクトの外側を取り囲むように進む。火炎がダクト中央部に到達すると、ダクト中央部からダクト内部にも広がり、ダクト内においても上下方向に進むが、ダクト内の下方へ火炎伝播は、上方と比べ、下端が閉構造のため、閉端部での圧力が次第に高くなることからダクト内下端方向への燃焼ガス膨張が妨げられ、火炎はダクト外側よりも緩やかに伝播している。その後、火炎はダクト上部を抜け、火炎は消失している。火炎伝播の時間差によりダクト内外の圧力差が生じるが、自然対流路（ダクト開口部より上側）の内外差圧は最大でも表3及び図10に示すとおりであり、過渡的にもダクトの許容圧力内に収まる結果となった。</p> <p style="text-align: right;">本記載は、美浜3号炉の参考掲載</p>	自然対流路の内外圧差最大値	大飯3/4号機の再循環ユニット ダクトの許容圧力	約3kPa	約4.5kPa(*)	(*)：耐圧試験による検証結果		<p>4. 2 ダクト外での着火</p> <p>(1) 解析体系 解析体系を図8に示す。着火点は実機の離隔距離を踏まえ、ダクトから3mとした。</p> <p>(2) 解析結果 図9の燃焼率コンター図に示すとおり、区画内の燃焼は1秒以内で終わっている。 ダクト下端部が閉口であるため、火炎はダクトの外側を取り囲むように進む。火炎がダクト中央部に到達すると、ダクト中央部からダクト内部にも広がり、ダクト内においても上下方向に進むが、ダクト内の下方へ火炎伝播は、上方と比べ、下端が閉構造のため、閉端部での圧力が次第に高くなることからダクト内下端方向への燃焼ガス膨張が妨げられ、火炎はダクト外側よりも緩やかに伝播している。その後、火炎はダクト上部を抜け、火炎は消失している。火炎伝播の時間差によりダクト内外の圧力差が生じるが、自然対流路（ダクト開口部より上側）の内外差圧は最大でも表3及び図10に示すとおりであり、過渡的にも再循環ダクトの許容圧力内に収まる結果となった。</p> <table border="1" data-bbox="1099 683 1917 783"> <caption>表3 自然対流路の内外圧力差評価結果</caption> <tr> <td>自然対流路の内外圧力差最大値</td> <td>再循環ダクトの許容圧力</td> </tr> <tr> <td>約4.4kPa</td> <td>約19.6kPa(*)</td> </tr> <tr> <td colspan="2">(*)：カタログ保証値</td> </tr> </table>	自然対流路の内外圧力差最大値	再循環ダクトの許容圧力	約4.4kPa	約19.6kPa(*)	(*)：カタログ保証値		<p>設計の相違</p> <ul style="list-style-type: none"> <li>泊3号炉には、ダクト下部に開口部はない。ダクト体系内の開口部からダクト内外へ火炎伝播する燃焼状態に相違はない。</li> <li>ダクト開口箇所の相違             <ul style="list-style-type: none"> <li>ダクト開口部がダクト下部にも設置している大飯3/4号炉では、ダクト下端から上端へと火炎伝播する体系。</li> <li>泊3号炉は、ダクト下部に開口部がないため、ダクト中央部開口からダクト内に火炎伝播し、開口している上方への火炎伝播がしやすい体系。（高浜3/4号炉、美浜3号炉と同様）</li> <li>いずれにおいてもダクトの許容圧力未満であることは同じである。</li> </ul> </li> </ul>
自然対流路の内外圧差最大値	大飯3/4号機の再循環ユニット ダクトの許容圧力													
約3kPa	約4.5kPa(*)													
(*)：耐圧試験による検証結果														
自然対流路の内外圧力差最大値	再循環ダクトの許容圧力													
約4.4kPa	約19.6kPa(*)													
(*)：カタログ保証値														



赤字：設備、運用又は体制の相違（設計方針の相違）  
 青字：記載箇所又は記載内容の相違（記載方針の相違）  
 緑字：記載表現、設備名称の相違（実質的な相違なし）

第48条 最終ヒートシンクへ熱を輸送するための設備

大阪発電所3 / 4号炉	泊発電所3号炉	相違理由
<p>5. まとめ</p> <p>解析によるダクト体系での確認により、最も厳しいと考えられる水素濃度が高い条件で燃焼したとしても、ダクトに損傷を与える程度の圧力差は生じないことを確認した。</p> <p>また、温度の面については、燃焼時の雰囲気温度は上昇するが、周囲の壁等への放熱（主に輻射熱伝達）により低下する。この雰囲気温度変化に対して、金属機器類は、雰囲気より大きな熱容量を持つため、温度の上昇は緩やかとなる。例として、8%水素濃度均一区画内での燃焼を解析した結果、ダクトのような薄板の機器であっても燃焼時の表面温度の上昇は約40℃以下となり、ダクト構造に影響を及ぼすことは考えられない。</p> <p>以上より、格納容器再循環ユニット内外で万一水素が燃焼した場合を仮定しても、機器の機能に影響を及ぼすことはないとする。</p> <p>参考文献(1) 水素の有効利用ガイドブック 平成20年3月                  (独) 新エネルギー・産業技術総合開発機構</p>	<p>5. まとめ</p> <p>解析によるダクト体系での確認により、最も厳しいと考えられる水素濃度が高い条件で燃焼したとしても、ダクトに損傷を与える程度の圧力差は生じないことを確認した。</p> <p>また、温度の面については、燃焼時の雰囲気温度は上昇するが、周囲の壁等への放熱（主に輻射熱伝達）により低下する。この雰囲気温度変化に対して、金属機器類は、雰囲気より大きな熱容量を持つため、温度の上昇は緩やかとなる。例として、8%水素濃度均一区画内での燃焼を解析した結果、ダクトのような薄板の機器であっても燃焼時の表面温度の上昇は約40℃以下となり、ダクト構造に影響を及ぼすことは考えられない。</p> <p>以上より、格納容器再循環ユニット内で万一水素が燃焼した場合を仮定しても、機器の機能に影響を及ぼすことはないとする。</p> <p>参考文献(1) 水素の有効利用ガイドブック 平成20年3月                  (独) 新エネルギー・産業技術総合開発機構</p>	

赤字：設備、運用又は体制の相違（設計方針の相違）  
 青字：記載箇所又は記載内容の相違（記載方針の相違）  
 緑字：記載表現、設備名称の相違（実質的な相違なし）

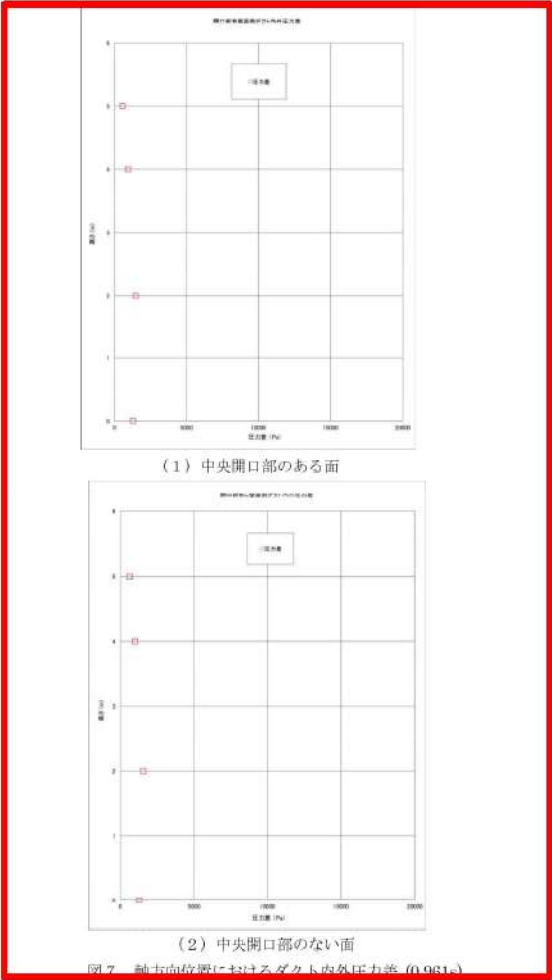
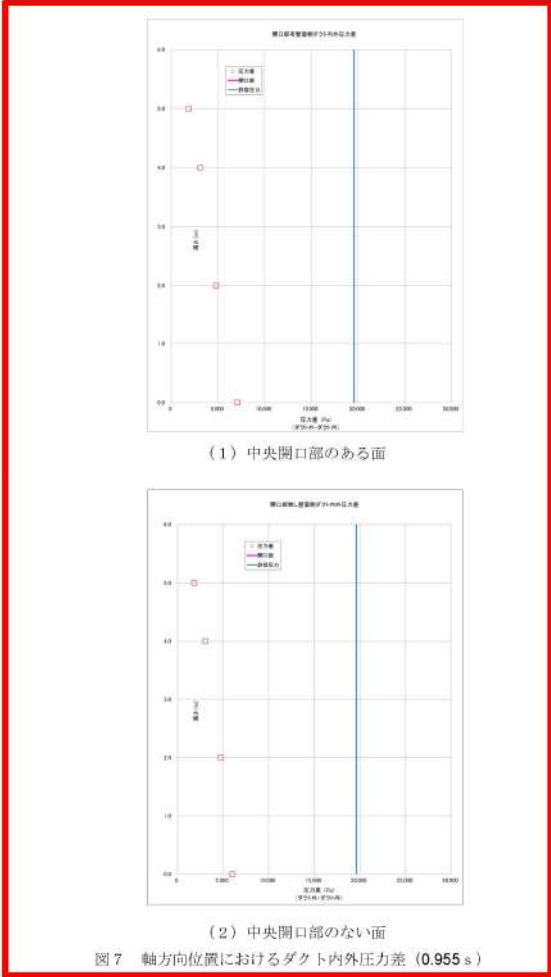
大阪発電所3 / 4号炉	泊発電所3号炉	相違理由
<p>図5 ダクト内外火炎伝播解析体系図 X-Z断面 (Y-Z断面も同様)</p>	<p>図5 ダクト内外火炎伝播解析体系図 X-Z断面 (Y-Z断面も同様)</p>	

赤字：設備、運用又は体制の相違（設計方針の相違）  
 青字：記載箇所又は記載内容の相違（記載方針の相違）  
 緑字：記載表現、設備名称の相違（実質的な相違なし）

第48条 最終ヒートシンクへ熱を輸送するための設備

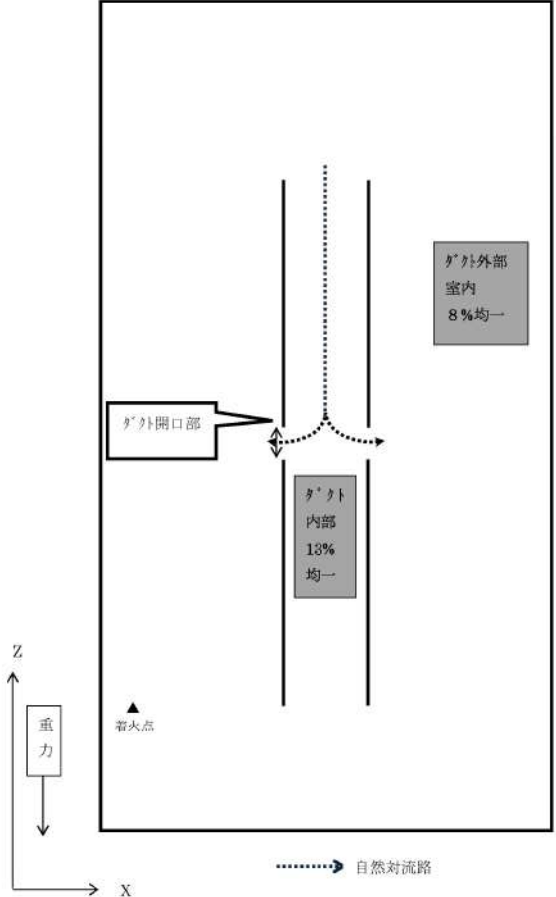
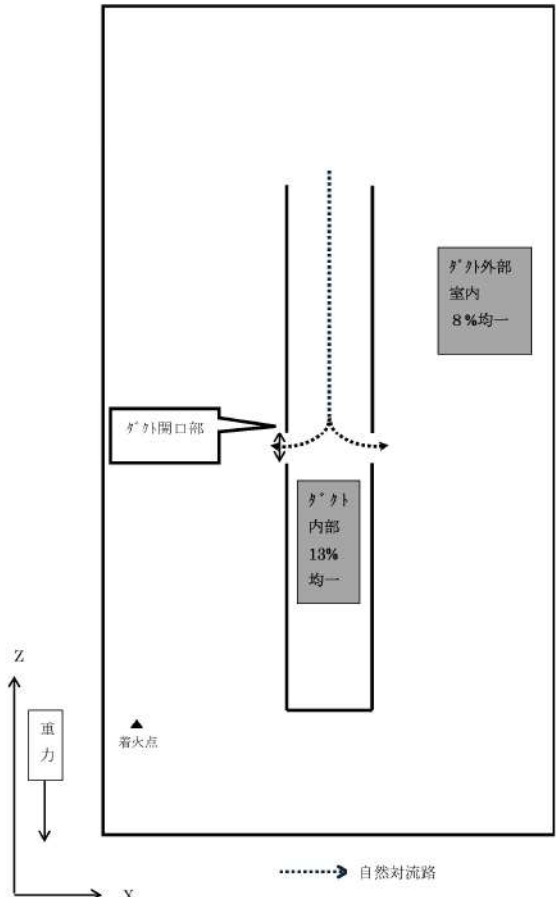
大阪発電所3 / 4号炉	泊発電所3号炉		相違理由																										
<div data-bbox="336 295 840 1189" style="border: 2px solid red; padding: 5px;"> <table border="1"> <thead> <tr> <th>時間</th> <th>水素燃焼率コンター図 (単位 kg/s/m<sup>3</sup>)</th> </tr> </thead> <tbody> <tr> <td>0.3 sec</td> <td></td> </tr> <tr> <td>0.6 sec</td> <td></td> </tr> <tr> <td>0.8 sec</td> <td></td> </tr> <tr> <td>0.9 sec</td> <td></td> </tr> </tbody> </table> </div>	時間	水素燃焼率コンター図 (単位 kg/s/m <sup>3</sup> )	0.3 sec		0.6 sec		0.8 sec		0.9 sec		<div data-bbox="1164 311 1825 1045" style="border: 2px solid red; padding: 5px;"> <table border="1"> <thead> <tr> <th>時間</th> <th>水素燃焼率コンター図 (単位 kg/s/m<sup>3</sup>)</th> <th>時間</th> <th>水素燃焼率コンター図 (単位 kg/s/m<sup>3</sup>)</th> </tr> </thead> <tbody> <tr> <td>0.3 sec</td> <td></td> <td>0.8 sec</td> <td></td> </tr> <tr> <td>0.6 sec</td> <td></td> <td>0.9 sec</td> <td></td> </tr> <tr> <td>0.7 sec</td> <td></td> <td>1.0 sec</td> <td></td> </tr> </tbody> </table> <p style="text-align: right;">(単位 kg/s)</p> </div>		時間	水素燃焼率コンター図 (単位 kg/s/m <sup>3</sup> )	時間	水素燃焼率コンター図 (単位 kg/s/m <sup>3</sup> )	0.3 sec		0.8 sec		0.6 sec		0.9 sec		0.7 sec		1.0 sec		<p>設計の相違                  ・泊3号炉には、                  ゲット下部に開口部                  はない。ゲット体系                  内の開口部から圧                  力が抜けることに                  相違はない。</p>
時間	水素燃焼率コンター図 (単位 kg/s/m <sup>3</sup> )																												
0.3 sec																													
0.6 sec																													
0.8 sec																													
0.9 sec																													
時間	水素燃焼率コンター図 (単位 kg/s/m <sup>3</sup> )	時間	水素燃焼率コンター図 (単位 kg/s/m <sup>3</sup> )																										
0.3 sec		0.8 sec																											
0.6 sec		0.9 sec																											
0.7 sec		1.0 sec																											
<p>図6 水素燃焼率コンター図</p>	<p>図6 水素燃焼率コンター図</p>																												

赤字：設備、運用又は体制の相違（設計方針の相違）  
 青字：記載箇所又は記載内容の相違（記載方針の相違）  
 緑字：記載表現、設備名称の相違（実質的な相違なし）

大阪発電所3 / 4号炉	泊発電所3号炉	相違理由
<div style="border: 2px solid red; padding: 10px;">  <p>(1) 中央開口部のある面</p> <p>(2) 中央開口部のない面</p> <p>図7 軸方向位置におけるダクト内外圧力差 (0.961s)</p> </div>	<div style="border: 2px solid red; padding: 10px;">  <p>(1) 中央開口部のある面</p> <p>(2) 中央開口部のない面</p> <p>図7 軸方向位置におけるダクト内外圧力差 (0.955s)</p> </div>	<p>ダクト開口箇所の相違</p> <ul style="list-style-type: none"> <li>・ダクト開口部がダクト下部にも設置している大阪3/4号炉では、ダクト内外差圧が解消しやすい体系。</li> <li>・泊3号炉は、ダクト下部に開口部がないため、下部区画のダクト外の燃焼影響によりダクト内外差圧が大阪に比較し大きくなりやすい体系。(高浜3/4号炉、美浜3号炉と同様)</li> </ul>

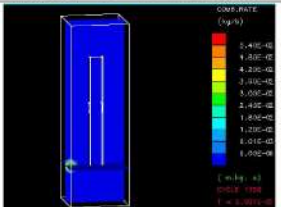
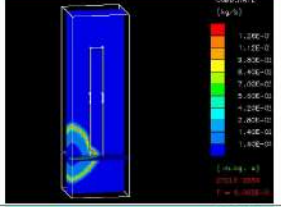
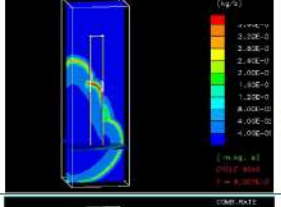
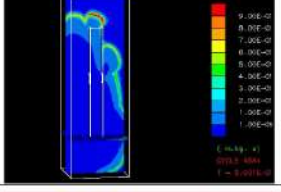
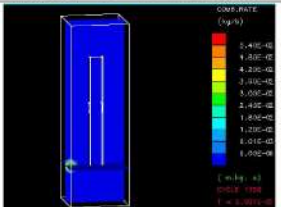
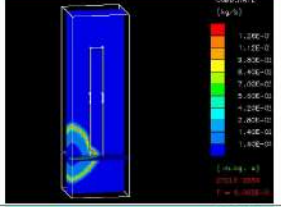
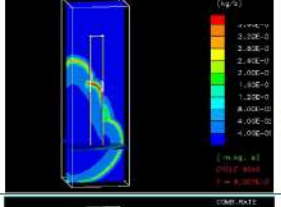
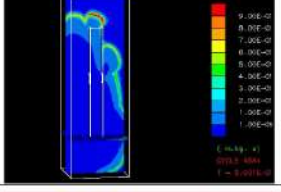
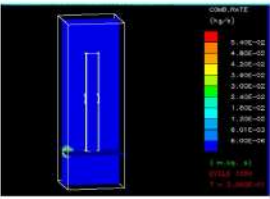
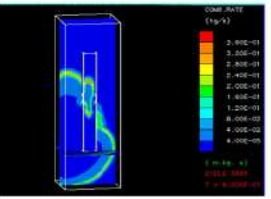
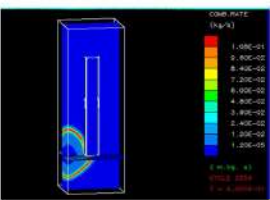
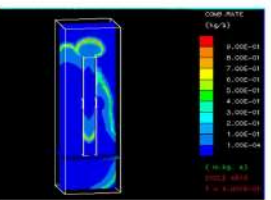
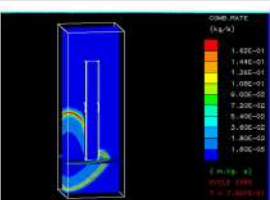
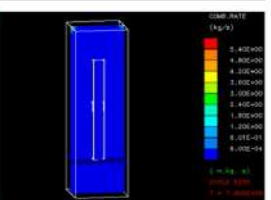
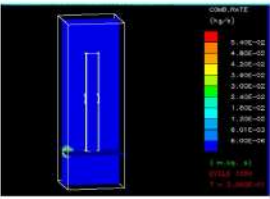
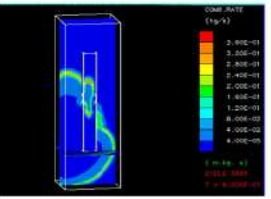
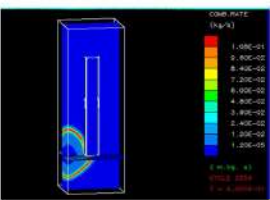
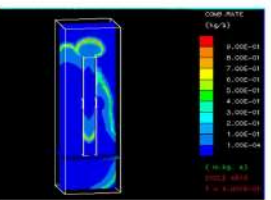
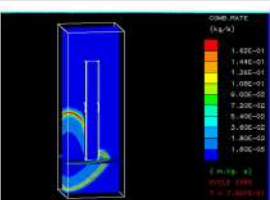
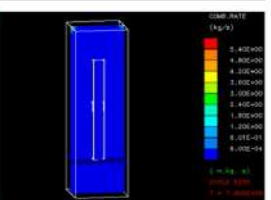
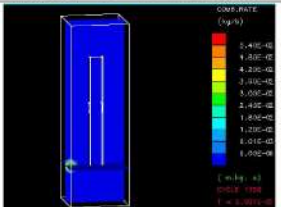
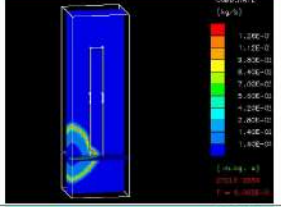
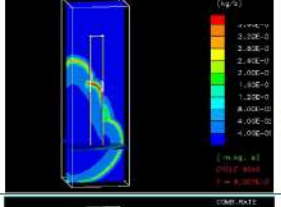
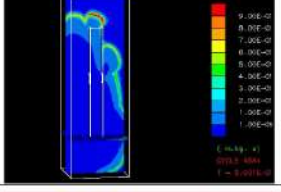
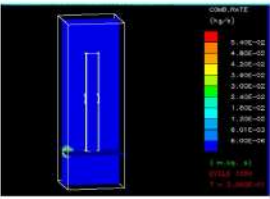
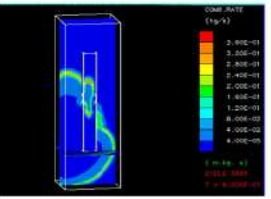
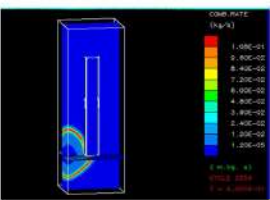
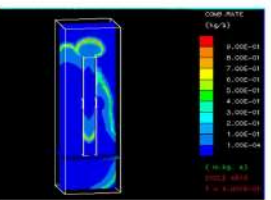
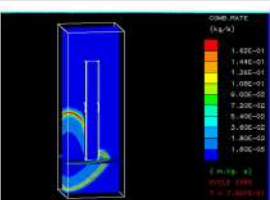
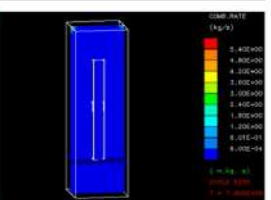


赤字：設備、運用又は体制の相違（設計方針の相違）  
 青字：記載箇所又は記載内容の相違（記載方針の相違）  
 緑字：記載表現、設備名称の相違（実質的な相違なし）

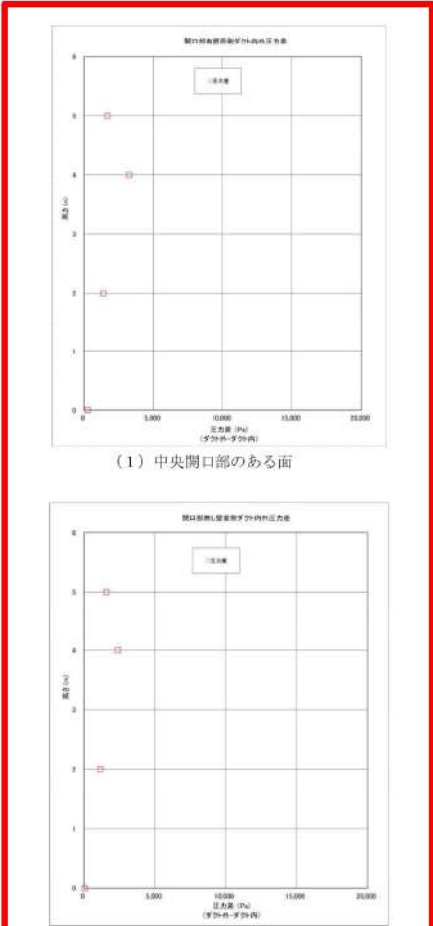
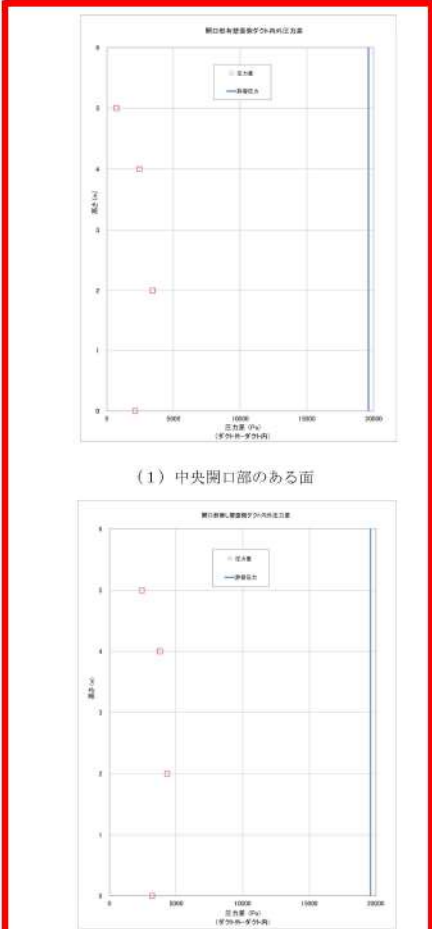
大阪発電所3 / 4号炉	泊発電所3号炉	相違理由
 <p>図8 ダクト内外火炎伝播解析体系図 X-Z断面 (Y-Z断面も同様)</p>	 <p>図8 ダクト内外火炎伝播解析体系図 X-Z断面 (Y-Z断面も同様)</p>	

赤字：設備、運用又は体制の相違（設計方針の相違）  
 青字：記載箇所又は記載内容の相違（記載方針の相違）  
 緑字：記載表現、設備名称の相違（実質的な相違なし）

第48条 最終ヒートシンクへ熱を輸送するための設備

大阪発電所3 / 4号炉	泊発電所3号炉	相違理由																										
<div data-bbox="376 295 795 1193" style="border: 2px solid red; padding: 5px;"> <table border="1"> <thead> <tr> <th>時間</th> <th>水素燃焼率コンター図 (単位 kg/s/m<sup>3</sup>)</th> </tr> </thead> <tbody> <tr> <td>0.3 sec</td> <td></td> </tr> <tr> <td>0.6 sec</td> <td></td> </tr> <tr> <td>0.8 sec</td> <td></td> </tr> <tr> <td>0.9 sec</td> <td></td> </tr> </tbody> </table> </div> <p data-bbox="481 1209 689 1232">図9 水素燃焼率コンター図</p>	時間	水素燃焼率コンター図 (単位 kg/s/m <sup>3</sup> )	0.3 sec		0.6 sec		0.8 sec		0.9 sec		<div data-bbox="1164 295 1881 1061" style="border: 2px solid red; padding: 5px;"> <table border="1"> <thead> <tr> <th>時間</th> <th>水素燃焼率コンター図 (単位 kg/s/m<sup>3</sup>)</th> <th>時間</th> <th>水素燃焼率コンター図 (単位 kg/s/m<sup>3</sup>)</th> </tr> </thead> <tbody> <tr> <td>0.3 sec</td> <td></td> <td>0.8 sec</td> <td></td> </tr> <tr> <td>0.6 sec</td> <td></td> <td>0.9 sec</td> <td></td> </tr> <tr> <td>0.7 sec</td> <td></td> <td>1.0 sec</td> <td></td> </tr> </tbody> </table> <p data-bbox="1736 1029 1825 1053">(単位 kg/s)</p> </div> <p data-bbox="1400 1061 1624 1085">図9 水素燃焼率コンター図</p>	時間	水素燃焼率コンター図 (単位 kg/s/m <sup>3</sup> )	時間	水素燃焼率コンター図 (単位 kg/s/m <sup>3</sup> )	0.3 sec		0.8 sec		0.6 sec		0.9 sec		0.7 sec		1.0 sec		<p data-bbox="1971 311 2072 335"><u>設計の相違</u></p> <ul style="list-style-type: none"> <li data-bbox="1971 343 2128 566">・泊3号炉には、 ダクト下部に開口部はない。ダクト体系内の開口部からダクト外へ火炎伝播する燃焼様態に相違はない。</li> <li data-bbox="1971 582 2128 646"><u>ダクト開口箇所</u>の相違</li> <li data-bbox="1971 654 2128 837">・ダクト開口部がダクト下部にも設置している大阪3/4号炉では、ダクト下端から上端へと火炎伝播する体系。</li> <li data-bbox="1971 853 2128 1189">・泊3号炉は、ダクト下部に開口部がないため、ダクト外中央部開口からダクト内に火炎伝播し、開口している上方への火炎伝播がしやすい体系。(高浜3/4号炉、美浜3号炉と同様)</li> </ul>
時間	水素燃焼率コンター図 (単位 kg/s/m <sup>3</sup> )																											
0.3 sec																												
0.6 sec																												
0.8 sec																												
0.9 sec																												
時間	水素燃焼率コンター図 (単位 kg/s/m <sup>3</sup> )	時間	水素燃焼率コンター図 (単位 kg/s/m <sup>3</sup> )																									
0.3 sec		0.8 sec																										
0.6 sec		0.9 sec																										
0.7 sec		1.0 sec																										

赤字：設備、運用又は体制の相違（設計方針の相違）  
 青字：記載箇所又は記載内容の相違（記載方針の相違）  
 緑字：記載表現、設備名称の相違（実質的な相違なし）

大飯発電所3 / 4号炉	泊発電所3号炉	相違理由
<div style="border: 2px solid red; padding: 10px;">  <p>(1) 中央開口部のある面</p> <p>(2) 中央開口部のない面</p> <p>図10 軸方向位置におけるダクト内外圧力差 (0.857s)</p> </div>	<div style="border: 2px solid red; padding: 10px;">  <p>(1) 中央開口部のある面</p> <p>(2) 中央開口部の内面</p> <p>図10 軸方向位置におけるダクト内外圧力差 (1.006 s)</p> </div>	<p><u>ダクト開口箇所の相違</u></p> <ul style="list-style-type: none"> <li>・ダクト開口部がダクト外下部にも設置している大飯3/4号炉では、ダクト下端から上端へと火炎伝播する体系。</li> <li>・泊3号炉は、ダクト下部に開口部がないため、ダクト中央部開口からダクト内に火炎伝播し、開口している上方への火炎伝播がしやすい体系。（高浜3/4号炉、美浜3号炉と同様）</li> </ul>



赤字：設備、運用又は体制の相違（設計方針の相違）  
 青字：記載箇所又は記載内容の相違（記載方針の相違）  
 緑字：記載表現、設備名称の相違（実質的な相違なし）

第48条 最終ヒートシンクへ熱を輸送するための設備

大阪発電所3/4号炉	泊発電所3号炉	相違理由
<p style="text-align: center;">(参考)</p> <p style="text-align: center;">過去の燃焼試験の整理からの考察</p> <p>過去の水素燃焼に関する試験等の知見を表1に整理した。上表に開放空間またはX, Y, Zの寸法が同等の閉囲空間での水素燃焼試験の条件を、下表に細長い閉囲空間（管路、ダクト系）での水素燃焼試験の条件を示している。爆轟が発生するのは、過去の試験等では、下表のような細長い配管類に水素と支燃性ガスがドライに近い条件で閉じ込められた場合であり、ダクト・配管以外の広い空間での火炎伝播試験の体系では、水素濃度が13～15%（ドライ水素濃度）でも、爆轟は発生していない。ウェット条件になるとさらに高濃度の水素でも発生していない。</p> <p>また、過去の細長い体系（管路、ダクト）での水素燃焼試験結果と再循環ダクトの体系の比較を表2に示す。</p> <p>RUT試験から、約11%未満の水素濃度では、障害物の有無に係らず、爆燃止まりであるのに対して、12.5%以上の水素濃度では障害物がある場合にのみ爆轟が発生している。</p> <p>労働省産業安全研究所の試験では、両端又は片端が閉の場合には、障害物の有無に係らず爆轟が発生している。この結果から、両端又は片端が閉の場合では、障害物がなくても配管の長さとの比(L/D)が大きく、30%程度の高水素濃度の場合は爆轟に転移する可能性が高いことが分かる。</p> <p>SRIの試験結果においては、両端が開放の場合でも水素濃度30%の水素濃度で障害物がある場合に爆轟が発生している。この結果から、配管の両端が開口の場合でも、L/Dが大きく、30%程度の高水素濃度で障害物がある場合には、爆轟が発生する可能性があることが分かる。</p> <p>NUPECの大規模試験は、内径8mの球体系(270m<sup>3</sup>)で多区画(11区画)である特徴があり、この球体系の中に円周約16m、口径1mのドーナツ状八角形空間があるが、15%（ドライ）大気圧の条件でも爆轟は発生していない。この結果から、複数の開口部があり、L/Dが20未満と比較的小さい体系では、15%程度の水素濃度でも爆轟は発生しない傾向にあることが分かる。</p> <p>以上を整理すると、爆轟発生条件として、以下の条件が挙げられる。</p> <ul style="list-style-type: none"> <li>✓水素濃度が12.5%未満では障害物の存在に依存しないが、12.5%以上では水素濃度と共に障害物が存在した方が爆轟の可能性が高まる。</li> <li>✓配管の両端が開口の場合でも、L/Dが大きく、30%程度の高水素濃度で障害物がある場合には、爆轟が発生する可能性がある。</li> <li>✓両端又は片端が閉の場合では、障害物がなくてもL/Dが大きく、30%程度の高水素濃度の場合に爆轟に転移する可能性が高い。</li> <li>✓L/Dが20未満と比較的小さい体系では、15%程度の水素濃度でも爆轟は発生していない。</li> </ul> <p>実機での細長い体系である再循環ダクトでは、保守的に水蒸気凝縮による水素濃度増加を考慮し、GOTHIC解析のCVドライ平均水素濃度の最大値を包絡する値として、ダクト内の水素濃度を保守的に13%とした場合においても、開放された系であり、ダクト内には障害物がない。また、L/Dも10未満であり、過去の爆轟事例のいずれの条件にも当てはまらない。</p>	<p style="text-align: center;">(参考)</p> <p style="text-align: center;">過去の燃焼試験の整理からの考察</p> <p>過去の水素燃焼に関する試験等の知見を表1に整理した。上表に開放空間またはX, Y, Zの寸法が同等の閉囲空間での水素燃焼試験の条件を、下表に細長い閉囲空間（管路、ダクト系）での水素燃焼試験の条件を示している。爆轟が発生するのは、過去の試験等では、下表のような細長い配管類に水素と支燃性ガスがドライに近い条件で閉じ込められた場合であり、ダクト・配管以外の広い空間での火炎伝播試験の体系では、水素濃度が13～15%（ドライ水素濃度）でも、爆轟は発生していない。ウェット条件になるとさらに高濃度の水素でも発生していない。</p> <p>また、過去の細長い体系（管路、ダクト）での水素燃焼試験結果と再循環ダクトの体系の比較を表2に示す。</p> <p>RUT試験から、約11%未満の水素濃度では、障害物の有無に係らず、爆燃止まりであるのに対して、12.5%以上の水素濃度では障害物がある場合にのみ爆轟が発生している。</p> <p>労働省産業安全研究所の試験では、両端又は片端が閉の場合には、障害物の有無に係らず爆轟が発生している。この結果から、両端又は片端が閉の場合では、障害物がなくても配管の長さとの比(L/D)が大きく、30%程度の高水素濃度の場合は爆轟に転移する可能性が高いことが分かる。</p> <p>SRIの試験結果においては、両端が開放の場合でも水素濃度30%の水素濃度で障害物がある場合に爆轟が発生している。この結果から、配管の両端が開口の場合でも、L/Dが大きく、30%程度の高水素濃度で障害物がある場合には、爆轟が発生する可能性があることが分かる。</p> <p>NUPECの大規模試験は、内径8mの球体系(270m<sup>3</sup>)で多区画(11区画)である特徴があり、この球体系の中に円周約16m、口径1mのドーナツ状八角形空間があるが、15%（ドライ）大気圧の条件でも爆轟は発生していない。この結果から、複数の開口部があり、L/Dが20未満と比較的小さい体系では、15%程度の水素濃度でも爆轟は発生しない傾向にあることが分かる。</p> <p>以上を整理すると、爆轟発生条件として、以下の条件が挙げられる。</p> <ul style="list-style-type: none"> <li>✓水素濃度が12.5%未満では障害物の存在に依存しないが、12.5%以上では水素濃度と共に障害物が存在した方が爆轟の可能性が高まる。</li> <li>✓配管の両端が開口の場合でも、L/Dが大きく、30%程度の高水素濃度で障害物がある場合には、爆轟が発生する可能性がある。</li> <li>✓両端又は片端が閉の場合では、障害物がなくてもL/Dが大きく、30%程度の高水素濃度の場合に爆轟に転移する可能性が高い。</li> <li>✓L/Dが20未満と比較的小さい体系では、15%程度の水素濃度でも爆轟は発生していない。</li> </ul> <p>実機での細長い体系である再循環ダクトでは、保守的に水蒸気凝縮による水素濃度増加を考慮し、GOTHIC解析のCVドライ平均水素濃度の最大値を包絡する値として、ダクト内の水素濃度を保守的に13%とした場合においても、開放された系であり、ダクト内には障害物がない。また、L/Dも10未満であり、過去の爆轟事例のいずれの条件にも当てはまらない。</p>	



第48条 最終ヒートシンクへ熱を輸送するための設備

赤字：設備、運用又は体制の相違（設計方針の相違）  
 青字：記載箇所又は記載内容の相違（記載方針の相違）  
 緑字：記載表現、設備名称の相違（実質的な相違なし）

大飯発電所3/4号炉

泊発電所3号炉

相違理由

表1 過去の水素燃焼に関する試験等の知見

試験	試験体系	試験物の有無	水素濃度等	配管の長さ (L) と径 (D) の比 (L/D)	爆轟の発生の有無	備考
NTS試験 (米) EPRI BMC (独)	半径16mの球体系(2100m <sup>3</sup> ) 特徴：広い自由空間 610m <sup>3</sup> 特徴：多区画	なし なし	5~13vol% (水素気濃度4~40vol%) 0.9~14vol% (水素気濃度0~60vol%)	該当なし 該当なし	なし なし	
NUPEC 小規模試験	内径5mの球体系(270m <sup>3</sup> ) 特徴：多区画 (11区画) 円筒約16m、口径1mのドーナツ状8角形空間	手すり状の細長いものがある オリフィス4箇所	6.8,10 vol% (1/7) 5,20vol% (0.7+1.20%) 30vol% (0.7+1.40%)	約2.3	なし	2箇所の上部区画への開口部あり 100%水素高圧(40MPa~)貯蔵のために漏えい孔を設置し、大気への放出後に着火。
NUPEC 大規模試験	内径8mの球体系(270m <sup>3</sup> ) 特徴：多区画 (11区画) 円筒約16m、口径1mのドーナツ状8角形空間	手すり状の細長いものがある オリフィス4箇所	5~15vol% (1/7) 5.6~12.7vol% (0.7+1)	該当なし 約16	なし	2箇所の上部区画への開口部あり 100%水素高圧(40MPa~)貯蔵のために漏えい孔を設置し、大気への放出後に着火。
NEDO試験	100%水素高圧(40MPa~)貯蔵のために漏えい孔を設置し、大気への放出後に着火	なし	8~13 vol% (1/7)	該当なし	なし	爆轟が発生しなかった条件等
RUT試験 (露) OECD/NEU	70 m の閉鎖空間 (480m <sup>3</sup> ) (2.3mW×2.5mH×70m)	12ヶ設置	~60vol% (1/7) (0.7+1条件でも発生)	約28	あり、 12.5vol%(1/7)で爆轟発生。	爆轟が発生しなかった条件等 水素気 10vol%の1/7+1条件では、同一体系でも爆轟は発生せず。
NUPEC (米/NRC) 高温燃焼試験	燃焼管：2体系、両端部とも閉鎖構造。 ・10cm内径×6.1m(SSDA試験) ・27cm内径×21.3m (HTCF試験)	障害物(1/7)を多数設置。	約5~約50vol% (水素・空気系、水素気・水素気系)	SSDA試験：約60 HTCF試験：約78	あり 300K条件では15%(1/7)から、650K条件では11%(1/7)から、それぞれ爆轟発生。	同一体系に、ベントによる開放のバースを追加した試験では爆轟は発生せず。
SHINEDO We-Net)	約10mの燃焼管、一端は閉鎖構造、他は開放	障害物有り(7,13,25個・無しの両方)	20~37vol%	約28	あり	障害物無しでは爆轟発生せず。
労働省産業安全研究所試験	燃焼管： ・28mm内径×管長さ2.1m~9.1m 特徴：端部の閉鎖部を合わせ	障害物(0.7,19,40)の有無	30vol%(1/7)	約75~325	あり	管の両端部とも閉鎖の場合は爆轟は発生せず。(障害物設置の場合も)

・爆轟が発生するのは、過去の試験等では、下表のような長い配管面に水素と空気が混合した状態で閉鎖した状態であり、上記のようなそれぞれ以外の体系では、ドライ濃度13.14,15%でも爆轟は発生しなかった。  
 ・長い閉鎖空間(管径、ダクト系)での水素燃焼試験の条件の整理(爆轟が発生した(生じた)結果を含む)：

表1 過去の水素燃焼に関する試験等の知見

試験	試験体系	試験物の有無	水素濃度等	配管の長さ (L) と径 (D) の比 (L/D)	爆轟の発生の有無	備考
NTS試験 (米) EPRI BMC (独)	半径16mの球体系(2100m <sup>3</sup> ) 特徴：広い自由空間 610m <sup>3</sup> 特徴：多区画	なし なし	5~13vol% (水素気濃度4~40vol%) 0.9~14vol% (水素気濃度0~60vol%)	該当なし 該当なし	なし なし	
NUPEC 小規模試験	内径5mの球体系(270m <sup>3</sup> ) 特徴：多区画 (11区画) 円筒約16m、口径1mのドーナツ状8角形空間	手すり状の細長いものがある オリフィス4箇所	6.8,10 vol% (1/7) 5,20vol% (0.7+1.20%) 30vol% (0.7+1.40%)	約2.3	なし	2箇所の上部区画への開口部あり 100%水素高圧(40MPa~)貯蔵のために漏えい孔を設置し、大気への放出後に着火。
NUPEC 大規模試験	内径8mの球体系(270m <sup>3</sup> ) 特徴：多区画 (11区画) 円筒約16m、口径1mのドーナツ状8角形空間	手すり状の細長いものがある オリフィス4箇所	5~15vol% (1/7) 5.6~12.7vol% (0.7+1)	該当なし 約16	なし	爆轟が発生しなかった条件等 水素気 15vol%の1/7+1条件では、同一体系でも爆轟は発生せず。
NEDO試験	100%水素高圧(40MPa~)貯蔵のために漏えい孔を設置し、大気への放出後に着火	なし	8~13 vol% (1/7)	該当なし	なし	爆轟が発生しなかった条件等 水素気 15vol%の1/7+1条件では、同一体系でも爆轟は発生せず。
RUT試験 (露) OECD/NEU	70 m の閉鎖空間 (480m <sup>3</sup> ) (2.3mW×2.5mH×70m)	12ヶ設置	~60vol% (1/7) (0.7+1条件でも発生)	約28	あり、 12.5vol%(1/7)で爆轟発生。	爆轟が発生しなかった条件等 水素気 15vol%の1/7+1条件では、同一体系でも爆轟は発生せず。
NUPEC(米/NRC) 高温燃焼試験	燃焼管：2体系、両端部とも閉鎖構造。 ・10cm内径×6.1m(SSDA試験) ・27cm内径×21.3m (HTCF試験)	障害物(1/7)を多数設置。	約5~約50vol% (水素・空気系、水素気・水素気系)	SSDA試験：約60 HTCF試験：約78	あり 300K条件では15%(1/7)から、650K条件では11%(1/7)から、それぞれ爆轟発生。	同一体系に、ベントによる開放のバースを追加した試験では爆轟は発生せず。(障害物設置の場合も)
SHINEDO We-Net)	約10mの燃焼管、一端は閉鎖構造、他は開放	障害物有り(7,13,25個・無しの両方)	20~37vol%	約28	あり	障害物無しでは爆轟発生せず。
労働省産業安全研究所試験	燃焼管： ・28mm内径×管長さ2.1m~9.1m 特徴：端部の閉鎖部を合わせ	障害物(0.7,19,40)の有無	30vol%(1/7)	約75~325	あり	管の両端部とも閉鎖の場合は爆轟は発生せず。(障害物設置の場合も)

・爆轟が発生するのは、過去の試験等では、下表のような長い配管面に水素と空気が混合した状態で閉鎖した状態であり、上記のようなそれぞれ以外の体系では、ドライ濃度13.14,15%でも爆轟は発生しなかった。  
 ・長い閉鎖空間(管径、ダクト系)での水素燃焼試験の条件の整理(爆轟が発生した(生じた)結果を含む)：

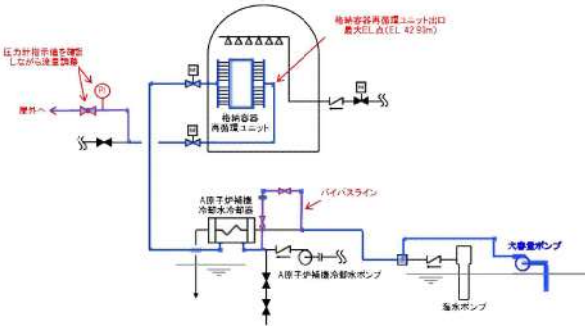
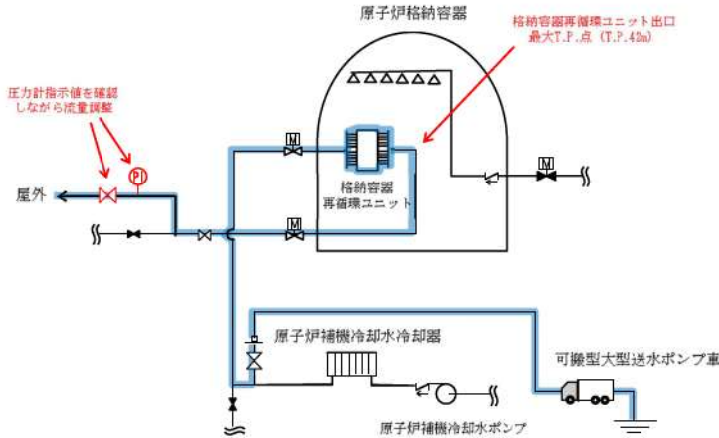
相違理由





第48条 最終ヒートシンクへ熱を輸送するための設備

大阪発電所3/4号炉	泊発電所3号炉	相違理由																						
<p>参考資料-4 再循環ユニットによる自然対流冷却時の沸騰防止運用について</p> <p>1. はじめに 原子炉冷却材喪失事故 (LOCA) + 全交流電源喪失 (SBO) + 最終ヒートシンク喪失 (LUHS) の事象を想定するような重大事故発生時において、格納容器の自然対流冷却を実施するための大容量ポンプによる再循環ユニット通水時における沸騰防止運用について纏めた。本資料では、より条件の厳しい大阪4号機について述べる。</p> <p>2. 格納容器再循環ユニットへの通水流体の沸騰防止運用の成立性について (1) 検討内容 大容量ポンプを用いて格納容器再循環ユニットに通水する際に格納容器再循環ユニット出口における沸騰を防止することが成立することを確認する。 (2) 検討 格納容器温度が最高となる格納容器過温破損 (全交流動力電源喪失+補助給水失敗) における格納容器雰囲気温度の最高値は約 144℃であり、格納容器再循環ユニット内部における流体条件を保守的に格納容器雰囲気温度と同等である約 144℃とした場合の飽和蒸気圧は約 0.31MPa (gage) となる。</p> <p>この場合、再循環ユニットへの通水ラインの静水頭差、ライン圧力損失等の合計は、下表のとおり [ ] である。これに対して、大容量ポンプの吐出圧力は、[ ] 以上としている。</p> <table border="1" data-bbox="280 901 913 1061"> <thead> <tr> <th>項目</th> <th>圧力損失 (MPa)</th> </tr> </thead> <tbody> <tr> <td>ライン損失 (大容量ポンプ～格納容器再循環ユニット出口)</td> <td>[ ]</td> </tr> <tr> <td>静水頭差 (大容量ポンプ～格納容器再循環ユニット)</td> <td>[ ]</td> </tr> <tr> <td>再循環ユニット出口背圧確保 (沸騰防止)</td> <td>0.31 (*)</td> </tr> <tr> <td>合計</td> <td>[ ]</td> </tr> </tbody> </table> <p>*: 保守的に重大事故シナリオ「格納容器過温破損 (全交流動力電源喪失+補助給水失敗)」における格納容器雰囲気温度を基に設定 注: 大容量ポンプを EL.9.3m に設置し通水した場合の評価</p> <p>[ ] 枠囲みの範囲は機密に係る事項ですので公開することができません。</p>	項目	圧力損失 (MPa)	ライン損失 (大容量ポンプ～格納容器再循環ユニット出口)	[ ]	静水頭差 (大容量ポンプ～格納容器再循環ユニット)	[ ]	再循環ユニット出口背圧確保 (沸騰防止)	0.31 (*)	合計	[ ]	<p>参考資料-4 格納容器再循環ユニットによる自然対流冷却時の沸騰防止運用について</p> <p>1. はじめに 原子炉冷却材喪失事故 (LOCA) + 全交流動力電源喪失 (SBO) + 最終ヒートシンク喪失 (LUHS) の事象を想定するような重大事故発生時において、格納容器の自然対流冷却を実施するために可搬型大型送水ポンプ車による格納容器再循環ユニット通水時における沸騰防止運用について纏めた。</p> <p>2. 格納容器再循環ユニットへの通水流体の沸騰防止運用の成立性について (1) 検討内容 可搬型大型送水ポンプ車を用いて格納容器再循環ユニットに通水する際に格納容器再循環ユニット出口における沸騰を防止することが成立することを確認する。 (2) 検討 格納容器温度が最高となる格納容器過温破損 (全交流動力電源喪失+補助給水失敗) における格納容器雰囲気温度の最高値は約 141℃であり、格納容器再循環ユニット内部における流体条件を保守的に格納容器雰囲気温度と同等である 141℃とした場合の飽和蒸気圧は 0.272MPa (gage) [約 28m] となる。</p> <p>この場合、格納容器再循環ユニットへの通水ラインの静水頭差、ライン圧力損失等の合計は、下表のとおり [ ] m である。これに対して、可搬型大型送水ポンプ車の吐出圧力は、[ ] m 以上としている。</p> <table border="1" data-bbox="1097 874 1921 1193"> <thead> <tr> <th>項目</th> <th>必要揚程</th> </tr> </thead> <tbody> <tr> <td>機器圧損 (可搬型大型送水ポンプ車～格納容器再循環ユニット出口)</td> <td>[ ] m</td> </tr> <tr> <td>配管・ホース及び弁類圧損 (可搬型大型送水ポンプ車～格納容器再循環ユニット出口)</td> <td>[ ] m</td> </tr> <tr> <td>静水頭差 (可搬型大型送水ポンプ車～格納容器再循環ユニット)</td> <td>[ ] m</td> </tr> <tr> <td>取水源と移送先の圧力差 (沸騰防止のための格納容器再循環ユニット出口保持圧力)</td> <td>約 28m*</td> </tr> <tr> <td>合計</td> <td>[ ] m</td> </tr> </tbody> </table> <p>* 保守的に重大事故シナリオ「格納容器過温破損 (全交流動力電源喪失+補助給水失敗)」における格納容器雰囲気温度を基に設定 注 可搬型大型送水ポンプ車を T.P. 10m (ポンプ吸込位置 (T.P. 11.25m)) に設置し、通水した場合の評価。</p> <p>[ ] 枠囲みの内容は機密情報に属しますので公開できません。</p>	項目	必要揚程	機器圧損 (可搬型大型送水ポンプ車～格納容器再循環ユニット出口)	[ ] m	配管・ホース及び弁類圧損 (可搬型大型送水ポンプ車～格納容器再循環ユニット出口)	[ ] m	静水頭差 (可搬型大型送水ポンプ車～格納容器再循環ユニット)	[ ] m	取水源と移送先の圧力差 (沸騰防止のための格納容器再循環ユニット出口保持圧力)	約 28m*	合計	[ ] m	<p>設備名称の相違</p> <p>解析結果の相違 ・解析結果は相違するが、格納容器の最高温度の飽和蒸気圧を背圧として考慮する方針は同じである。</p> <p>設計の相違 ・配置設計の相違による圧力損失は相違しているが、必要揚程 (圧力損失) を算出の方法は同じである。</p>
項目	圧力損失 (MPa)																							
ライン損失 (大容量ポンプ～格納容器再循環ユニット出口)	[ ]																							
静水頭差 (大容量ポンプ～格納容器再循環ユニット)	[ ]																							
再循環ユニット出口背圧確保 (沸騰防止)	0.31 (*)																							
合計	[ ]																							
項目	必要揚程																							
機器圧損 (可搬型大型送水ポンプ車～格納容器再循環ユニット出口)	[ ] m																							
配管・ホース及び弁類圧損 (可搬型大型送水ポンプ車～格納容器再循環ユニット出口)	[ ] m																							
静水頭差 (可搬型大型送水ポンプ車～格納容器再循環ユニット)	[ ] m																							
取水源と移送先の圧力差 (沸騰防止のための格納容器再循環ユニット出口保持圧力)	約 28m*																							
合計	[ ] m																							

大飯発電所3/4号炉	泊発電所3号炉	相違理由
<p>(3) 検討結果</p> <p>高浜3、4号機で使用する大容量ポンプの吐出圧力は、格納容器再循環ユニットへの通水流体の沸騰防止を行うための圧力を上回っているため、この運用を行うことができる。</p> <p>なお、格納容器自然対流冷却を実施するために大容量ポンプを用いて格納容器再循環ユニットに海水を通水する際には、格納容器再循環ユニット出口圧力計（格納容器外）にて圧力を確認しながら海水排水ラインに設けられた流量調整弁（格納容器外）を操作し、格納容器再循環ユニット内での沸騰を防止する。</p> <p>【参考1】系統概念図</p>  <p>図-1 再循環ユニット冷却水配管概念図（大飯3、4号）</p>	<p>(3) 検討結果</p> <p>泊3号炉で使用する可搬型大型送水ポンプ車の吐出圧力は、格納容器再循環ユニットへの通水流体の沸騰防止を行うための圧力を上回っているため、この運用を行うことができる。</p> <p>なお、格納容器自然対流冷却を実施するために可搬型大型送水ポンプ車を用いて格納容器再循環ユニットに海水を通水する際には、格納容器再循環ユニット出口圧力計（格納容器外）にて圧力を確認しながら海水排水ラインに設けられた流量調整弁（格納容器外）を操作し、格納容器再循環ユニット内での沸騰を防止する。</p> <p>【参考1】系統概念図</p> 	<p>設備名称の相違</p>

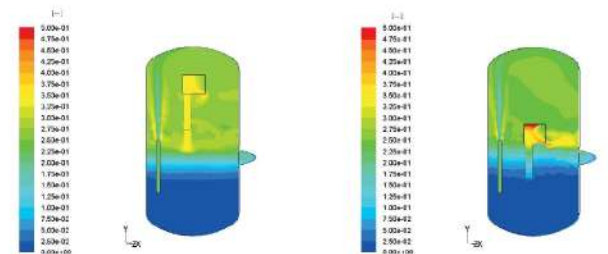
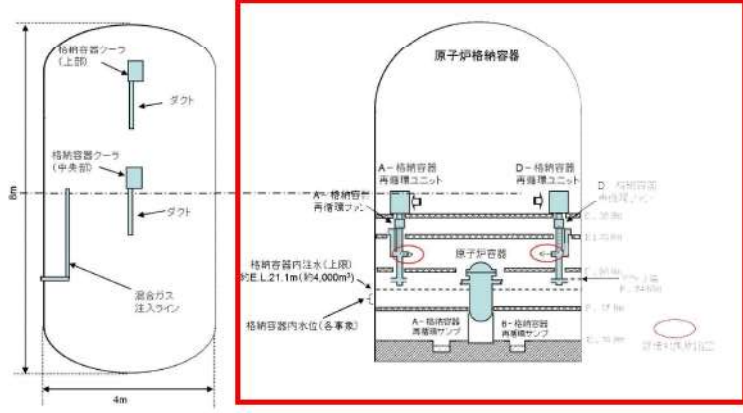
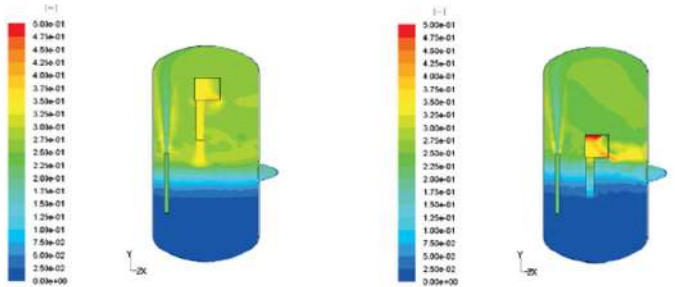
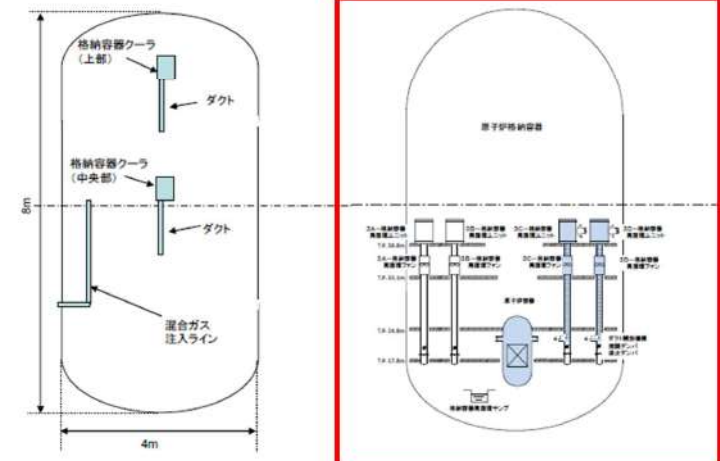


大阪発電所3 / 4号炉	泊発電所3号炉	相違理由
<p>参考資料-5 OECD PANDA 試験の知見を踏まえた自然対流冷却に関する考察</p> <p>1. はじめに 本資料は、OECD で実施された PANDA 試験における格納容器クーラに関する試験を踏まえて、格納容器再循環ユニットの除熱性能への影響を考察したものである。</p> <p>2. OECD PANDA 試験における格納容器クーラ試験 (1) 格納容器クーラ試験の概要 PANDA 試験における格納容器クーラに関する試験 (ST4) は、原子炉格納容器内で水素成層化したことを前提として、軽い不凝縮性ガス (実機：水素、PANDA 試験：ヘリウム) によるクーラの除熱性能への影響を評価したものである。</p> <p>(2) 試験内容 試験は以下のように試験容器内中央部からの注入ガス成分を変化させ、以下の3フェーズにより実施している。 ・フェーズⅠ：水蒸気注入 (図 1a、2a) ・フェーズⅡ：水蒸気-ヘリウム混合ガスの注入 (図 1b~e、図 2b~e) ・フェーズⅢ：水蒸気注入 (図 1f、2f)</p> <p>(3) 試験条件 PANDA 試験では、感度ケースとして以下の条件を考慮している。 ・格納容器クーラの設置高さ (基本ケース：容器中央、感度ケース：容器上部) ・容器からのベント (加圧状態による影響の確認) ・クーラ下部のダクト開口部閉止</p> <p>(4) 試験結果概要 基本ケース (クーラを容器中央設置 (図 1a~f)) では、フェーズⅡ (水蒸気-ヘリウム混合ガスを注入する段階) において、ヘリウム濃度が高いガスがクーラケーシング内に蓄積することで、(図 1b) の段階ですでに排気ダクトを通る下降流がなくなっており、クーラ内部にヘリウム濃度が高まったガスが成層化して蓄積することにより約20%のクーラ除熱性能低下が見られた (図 1c)。また、蓄積したガスがクーラ入口付近から逆に放出され、容器内の密度成層化を形成している (図 1e、f) 一方、感度ケース (クーラを容器上部設置 (図 2a~f)) では、フェーズⅡにおいてクーラケーシング内へのヘリウムの蓄積が観察されたが、基本ケースと比べてより小さな範囲に留まった。このため、除熱性能の低下は基本ケースと比べて限定的であった。</p>	<p>参考資料-5 OECD PANDA 試験の知見を踏まえた自然対流冷却に関する考察</p> <p>1. はじめに 本資料は、OECD で実施された PANDA 試験における格納容器クーラに関する試験を踏まえて、格納容器再循環ユニットの除熱性能への影響を考察したものである。</p> <p>2. OECD PANDA 試験における格納容器クーラ試験 (1) 格納容器クーラ試験の概要 PANDA 試験における格納容器クーラに関する試験 (ST4) は、原子炉格納容器内で水素成層化したことを前提として、軽い不凝縮性ガス (実機：水素、PANDA 試験：ヘリウム) によるクーラの除熱性能への影響を評価したものである。</p> <p>(2) 試験内容 試験は以下のように試験容器内中央部からの注入ガス成分を変化させ、以下の3フェーズにより実施している。 ・フェーズⅠ：水蒸気注入 (図 1a、2a) ・フェーズⅡ：水蒸気-ヘリウム混合ガスの注入 (図 1b~e、図 2b~e) ・フェーズⅢ：水蒸気注入 (図 1f、2f)</p> <p>(3) 試験条件 PANDA 試験では、感度ケースとして以下の条件を考慮している。 ・格納容器クーラの設置高さ (基本ケース：容器中央、感度ケース：容器上部) ・容器からのベント (加圧状態による影響の確認) ・クーラ下部のダクト開口部閉止</p> <p>(4) 試験結果概要 基本ケース (クーラを容器中央設置 (図 1a~f)) では、フェーズⅡ (水蒸気-ヘリウム混合ガスを注入する段階) において、ヘリウム濃度が高いガスがクーラケーシング内に蓄積することで、(図 1b) の段階ですでに排気ダクトを通る下降流がなくなっており、クーラ内部にヘリウム濃度が高まったガスが成層化して蓄積することにより約20%のクーラ除熱性能低下が見られた (図 1c)。また、蓄積したガスがクーラ入口付近から逆に放出され、容器内の密度成層化を形成している (図 1e、f) 一方、感度ケース (クーラを容器上部設置 (図 2a~f)) では、フェーズⅡにおいてクーラケーシング内へのヘリウムの蓄積が観察されたが、基本ケースと比べてより小さな範囲に留まった。このため、除熱性能の低下は基本ケースと比べて限定的であった。</p>	

大阪発電所 3 / 4 号炉	泊発電所 3 号炉	相違理由
<p>Figure 40. Temperature Contour Map for the Test with the Cooler at the Middle Position</p> <p>Figure 41. Temperature Contour Map for the Test with the Cooler at the Top Position</p> <p>3. PANDA 試験結果を踏まえた考察 上記の結果を踏まえ、PANDA 試験結果と実機 PWR プラントにおける格納容器内成層化による格納容器クールド熱性能の考察を表 1 にまとめる。</p>	<p>Figure 40. Temperature Contour Map for the Test with the Cooler at the Middle Position</p> <p>Figure 41. Temperature Contour Map for the Test with the Cooler at the Top Position</p> <p>3. PANDA 試験結果を踏まえた考察 上記の結果を踏まえ、PANDA 試験結果と実機 PWR プラントにおける格納容器内成層化による格納容器クールド熱性能の考察を表 1 にまとめる。</p>	





大阪発電所3/4号炉	泊発電所3号炉	相違理由
 <p>図 2.48 ST4-1 2次炉 DW1ヘリウムモル分率 (2,000秒, Phase2)</p> <p>図 2.49 ST4-2 2次炉 DW1ヘリウムモル分率 (2,000秒, Phase2)</p> <p>(1) 格納容器上部 (2) 格納容器中央部</p> <p>図 3 注入ラインとクーラを含む断面におけるフェーズII(2,000秒後)のヘリウムモル分率          (出典：平成21年度 シビリアクシデント時格納容器内多次元熱流動及びFP挙動解析、平成22年6月、独立行政法人 原子力安全基盤機構)</p>  <p>図 4 PANDAと原子炉格納容器(大阪3、4号機の例)との設備位置の相対位置比較</p>	 <p>図 2.48 ST4-1 2次炉 DW1ヘリウムモル分率 (2,000秒, Phase2)</p> <p>図 2.49 ST4-2 2次炉 DW1ヘリウムモル分率 (2,000秒, Phase2)</p> <p>(1) 格納容器上部 (2) 格納容器中央部</p> <p>図 3 注入ラインとクーラを含む断面におけるフェーズII(2,000秒後)のヘリウムモル分率          (出典：平成21年度 シビリアクシデント時格納容器内多次元熱流動及びFP挙動解析、平成22年6月、独立行政法人 原子力安全基盤機構)</p>  <p>図 4 PANDAと原子炉格納容器(泊3号炉の例)との設備位置の相対位置比較</p>	<p>設計の相違</p>
<p>48-7-61</p>		



第48条 最終ヒートシンクへ熱を輸送するための設備

大阪発電所3/4号炉	泊発電所3号炉	相違理由
<p>参考資料-6 格納容器再循環ユニットによる格納容器内自然対流冷却の水素影響について</p> <p>1. はじめに</p> <p>原子炉格納容器内に水素が存在する場合に、格納容器再循環ユニットの除熱性能は水素濃度に応じて変化するため、不確かさが存在する。このため、格納容器破損防止の観点で、ドライ換算で13vol%の水素が原子炉格納容器内に存在する場合の感度解析を実施し、原子炉格納容器圧力及び温度に対する影響を確認した。</p> <p>2. 影響評価</p> <p>格納容器破損モード「雰囲気圧力・温度による静的負荷(格納容器過圧破損)」の評価事故シーケンス「大破断LOCA時に低圧注入機能、高圧注入機能及び格納容器スプレー機能が喪失する事故」における原子炉格納容器圧力及び温度の推移をそれぞれ図1及び図2に示す。</p> <p>ドライ換算で13vol%の水素が原子炉格納容器内に存在する場合、原子炉格納容器圧力は格納容器再循環ユニットによる格納容器内自然対流冷却開始前に最高値に到達するため、最高値に関して格納容器内自然対流冷却の水素濃度の影響はない。その後の格納容器内自然対流冷却開始後においては、水素濃度の影響を考慮しても、格納容器内自然対流冷却により原子炉格納容器圧力は低下傾向となっており、原子炉格納容器最高使用圧力の2倍(0.78MPa[gage])に対して十分余裕がある。また、原子炉格納容器雰囲気温度への影響は小さく、原子炉格納容器雰囲気温度200℃に対して十分余裕があるため、水素濃度による不確かさを考慮しても、評価項目となるパラメータに与える影響は小さいことを確認した。</p> <div style="border: 1px solid black; padding: 5px; margin-top: 10px;"> <p>2. 影響評価</p> <p>格納容器破損モード「雰囲気圧力・温度による静的負荷(格納容器過圧破損)」における評価事故シーケンスである「大破断LOCA時に高圧注入機能、低圧注入機能及び格納容器スプレー機能が喪失する事故」の場合の原子炉格納容器圧力及び温度の推移をそれぞれ図1及び図2に示す。</p> <p>最大限水素が発生した状態(評価項目であるドライ換算水素濃度13%)では、原子炉格納容器圧力を約0.016MPa、原子炉格納容器雰囲気温度を約2℃高く評価するが、評価項目である原子炉格納容器最高使用圧力の2倍及び原子炉格納容器雰囲気温度200℃に対して十分余裕があり、水素濃度の不確かさを考慮しても評価項目となるパラメータに与える影響は小さい。</p> </div> <div style="border: 1px solid black; padding: 5px; margin-top: 10px; text-align: center;"> <p>本記載は、伊方3号炉の参考掲載</p> </div>	<p>参考資料-6 格納容器再循環ユニットによる格納容器内自然対流冷却の水素影響について</p> <p>1. はじめに</p> <p>原子炉格納容器内に水素が存在する場合に、格納容器再循環ユニットの除熱性能は水素濃度に応じて変化するため、不確かさが存在する。このため、格納容器破損防止の観点で、ドライ換算で13vol%の水素が原子炉格納容器内に存在する場合の感度解析を実施し、原子炉格納容器圧力及び温度に対する影響を確認した。</p> <p>2. 影響評価</p> <p>格納容器破損モード「雰囲気圧力・温度による静的負荷(格納容器過圧破損)」の評価事故シーケンス「大破断LOCA時に低圧注入機能、高圧注入機能及び格納容器スプレー機能が喪失する事故」における原子炉格納容器圧力及び温度の推移をそれぞれ図1及び図2に示す。</p> <p>ドライ換算で13vol%の水素が原子炉格納容器内に存在する場合、原子炉格納容器圧力を約0.011MPaの範囲で高めに評価し、原子炉格納容器雰囲気温度は約1℃未満の上昇幅である。評価項目である原子炉格納容器圧力及び温度は、それぞれ原子炉格納容器の最高使用圧力の2倍(0.566MPa[gage])及び200℃に対して十分な余裕があり、水素濃度による不確かさを考慮しても、評価項目となるパラメータに与える影響は小さいことを確認した。</p>	<p>相違理由</p> <p><u>解析結果の相違</u></p> <ul style="list-style-type: none"> <li>・大飯3/4号炉では、自然対流冷却開始前に格納容器圧力のピークを迎え、自然対流冷却により格納容器圧力が減圧されるため、水素影響を考慮しても200℃・2Pdに影響ないと評価している。</li> <li>・泊は、自然対流冷却開始後に格納容器圧力のピークを迎えた後、減圧する圧力挙動であるため、水素影響による圧力影響・温度影響を具体的に示している。(伊方と同様)</li> <li>・具体的な水素影響を考慮した数値を記載するかしないかの相違であるが、200℃・2Pdに影響するものでないことは同様である。</li> </ul> <p><u>記載表現の相違</u></p> <ul style="list-style-type: none"> <li>・泊と同じ解析挙動の伊方の記載に合せている。</li> </ul>

大阪発電所3 / 4号炉	泊発電所3号炉	相違理由
<div data-bbox="315 276 960 1348" style="border: 2px solid red; padding: 10px;"> <p>図1 原子炉格納容器圧力の推移 (格納容器再循環ユニットによる格納容器内自然対流冷却の水素影響確認)</p> <p>図2 原子炉格納容器雰囲気温度の推移 (格納容器再循環ユニットによる格納容器内自然対流冷却の水素影響確認)</p> </div>	<div data-bbox="1200 236 1845 1284" style="border: 2px solid red; padding: 10px;"> <p>図1 原子炉格納容器圧力の推移 (格納容器再循環ユニットによる格納容器内自然対流冷却の水素影響確認)</p> <p>図2 格納容器内雰囲気温度の推移 (格納容器再循環ユニットによる格納容器内自然対流冷却の水素影響確認)</p> </div>	<p>解析結果の相違</p>
<p>48-8-61</p>	<p>48-7-63</p>	



第48条 最終ヒートシンクへ熱を輸送するための設備

大阪発電所3 / 4号炉	泊発電所3号炉	相違理由
<p style="text-align: center;">参考資料-7 実機における凝縮水の影響について</p> <p>1. はじめに 本資料は、実機における凝縮水の影響について考察を行うものである。</p> <p>2. 実機における凝縮水の影響 実機において、格納容器再循環ユニット冷却コイルの凝縮水ドレンについては、下記のような経路を通じて最終的には格納容器サンプへ流出する。図1に格納容器再循環ユニットにおける凝縮水ドレンの流路の模式図を示す。</p> <p><b>【凝縮水が少量の場合（通常運転時等）】</b> 個々の冷却コイル下部に設置されているドレンパンから、ドレンラインを経由して格納容器サンプへ排出される。本ドレンラインは、通常運転時に発生する凝縮水処理機能、及び原子炉冷却材圧力バウンダリから少量の1次冷却材漏えいが発生した場合に備えて、その単位時間当たりの漏えい量を凝縮水として測定する機能を有しており、多量の凝縮水の排出を目的としたものではない。</p> <p><b>【凝縮水が多量の場合（重大事故時等）】</b> 重大事故時等においては上記ドレンラインの許容排出流量を超える可能性があるが、超過分の凝縮水についてはドレンパンから溢れることになる。この場合、ユニット外側に流れた凝縮水は、ユニット設置フロアの床ドレンを通じて格納容器サンプへ排出される。一方、ユニット内側に流れた凝縮水はダクト側へ流れ、<b>ダクト下端部の吹出口からダクト外へ流れる</b>。いずれの場合についても、流出先の床ドレンを通じて格納容器サンプへ排出される。</p> <p>(参考) ドレンパンは、上面から見て直下にあるコイルを十分に覆い隠す程度に広い面積を持っており、さらに、ドレンパンの底面端部はドレンパンの排水溝やサポート板の取り付けにより、端部から溢れた水がドレンパン底面を伝って下部のコイルへ直接滴下し難い構造となっているために、溢れ出した水がその下部のコイルに滴下せず速やかに排出される。また仮に、下部のコイルへ直接水が滴下した場合にもコイル上面には天板が設置されているために上部からの凝縮水の影響を防ぐことが可能である。</p>	<p style="text-align: center;">参考資料-7 実機における凝縮水の影響について</p> <p>1. はじめに 本資料は、実機における凝縮水の影響について考察を行うものである。</p> <p>2. 実機における凝縮水の影響 実機において、格納容器再循環ユニット冷却コイルの凝縮水ドレンについては、下記のような経路を通じて最終的には格納容器サンプへ流出する。図1に格納容器再循環ユニットにおける凝縮水ドレンの流路の模式図を示す。</p> <p><b>【凝縮水が少量の場合（通常運転時等）】</b> 個々の冷却コイル下部に設置されているドレンパンから、ドレンラインを経由して格納容器サンプへ排出される。本ドレンラインは、通常運転時に発生する凝縮水処理機能、及び原子炉冷却材圧力バウンダリから少量の1次冷却材漏えいが発生した場合に備えて、その単位時間当たりの漏えい量を凝縮水として測定する機能を有しており、多量の凝縮水の排出を目的としたものではない。</p> <p><b>【凝縮水が多量の場合（重大事故時等）】</b> 重大事故時等においては上記ドレンラインの許容排出流量を超える可能性があるが、超過分の凝縮水についてはドレンパンから溢れることになる。この場合、ユニット外側に流れた凝縮水は、ユニット設置フロアの床ドレンを通じて格納容器サンプへ排出される。一方、ユニット内側に流れた凝縮水はダクト側へ流れる。<b>ダクト下方には再循環ユニットファン出口ダンパがあり、重大事故時には閉止状態となっているので、ダンパ上部での水位が上昇した場合にはダクト開口からダクト外へ流れる</b>。いずれの場合についても、流出先の床ドレンを通じて格納容器サンプへ排出される。</p> <p>(参考) ドレンパンは、上面から見て直下にあるコイルを十分に覆い隠す程度に広い面積を持っており、さらに、ドレンパンの底面端部はドレンパンの排水溝やサポート板の取り付けにより、端部から溢れた水がドレンパン底面を伝って下部のコイルへ直接滴下し難い構造となっているために、溢れ出した水がその下部のコイルに滴下せず速やかに排出される。また仮に、下部のコイルへ直接水が滴下した場合にもコイル上面には天板が設置されているために上部からの凝縮水の影響を防ぐことが可能である。</p>	<p style="text-align: center;">相違理由</p> <p style="text-align: right;"><a href="#">設計方針の相違</a></p>



大阪発電所3 / 4号炉	泊発電所3号炉	相違理由
<div data-bbox="224 274 940 1177" style="border: 2px solid black; width: 100%; height: 100%;"></div> <div data-bbox="398 1173 795 1193" style="display: flex; justify-content: space-around; font-size: small;"> <span>通常運転時等</span> <span>重大事故時等</span> </div> <div data-bbox="497 1197 676 1219" style="text-align: center;">凝縮水ドレン流路模式図</div> <div data-bbox="333 1227 831 1251" style="text-align: center;">図1 格納容器再循環ユニットにおける凝縮水ドレンの流路（模式図）</div> <div data-bbox="452 1305 900 1334" style="border: 1px solid black; padding: 2px; margin-top: 20px; font-size: x-small;">枠囲みの範囲は機密に係る事項ですので公開することはできません。</div>	<div data-bbox="1108 274 1908 1165" style="border: 2px solid black; width: 100%; height: 100%;"></div> <div data-bbox="1299 1161 1720 1184" style="display: flex; justify-content: space-around; font-size: small;"> <span>通常運転時等</span> <span>重大事故時等</span> </div> <div data-bbox="1393 1192 1576 1216" style="text-align: center;">凝縮水ドレン流路模式図</div> <div data-bbox="1229 1224 1733 1246" style="text-align: center;">図1 格納容器再循環ユニットにおける凝縮水ドレンの流路（模式図）</div> <div data-bbox="1375 1321 1886 1350" style="border: 1px solid black; padding: 2px; margin-top: 20px; font-size: x-small;">枠囲みの内容は機密情報に属しますので公開できません。</div>	<p data-bbox="1975 274 2101 296" style="color: red;">設計方針の相違</p>

大阪発電所3/4号炉	泊発電所3号炉	相違理由
<p>参考資料-8 格納容器再循環ユニットによる自然対流冷却発生プロセスの定量的考察</p> <p>格納容器再循環ユニットによる自然対流冷却の発生概念については図4-1に示した通りであり、冷却水通水後に過渡状態を経てユニット外側から下部ダクトへの定常的な流れが発生する。自然対流冷却が確立することに関しては、参考資料-5で示した OECD PANDA における実証試験や、独立行政法人 原子力安全基盤機構 (JNES) による同試験の解析による検証結果でも確認することができる。本参考資料では、JNES の解析結果を基にした自然対流冷却発生プロセスの定量的な考察を行う。</p> <p>JNES では、国のアクシデントマネジメント (AM) レビューやリスク上重要とされるシビアアクシデント (SA) 現象及び AM 策の有効性を評価するために、最新の試験研究等で得られた知見やデータを活用して解析ツールの整備が実施されており、数値流体力学解析手法を用いて格納容器内熱流動解析手法を整備し、試験データを用いて検証すること、さらに、代表的な格納容器 AM 策に適用したその有効性が評価されている。この一環として下記の2点の検討結果が報告されている。</p> <p><b>【1. PANDA 試験の試験前解析】</b></p> <p>格納容器内熱流動研究に関する OECD 国際協力プロジェクト PANDA 試験のデータを用いて格納容器内熱流動解析手法を検証するとともに、PANDA 試験の格納容器自然対流冷却試験シリーズの試験前解析を実施しており、クォー周辺の詳細流動等のクォー特性に係る有用な知見を得ている。</p> <p><b>【2. 実炉解析】</b></p> <p>上記で検証した解析手法を PWR 実炉の格納容器体系に適用して、SA 時に格納容器自然対流冷却を実施した場合のクォー除熱効果や格納容器内温度分布、混合ガスの濃度分布等を評価している。解析メッシュは上記より粗いものの、格納容器自然対流冷却 AM は格納容器内雰囲気を効果的に冷却させることを確認している。</p> <p>なお、これらの内容は以下の報告書に纏められている。</p> <p>①アクシデントマネジメント知識ベース整備に関する報告書 (格納容器内多次元流動解析手法の検証と自然対流冷却 AM 策への適用) (H17~H19 年度)</p> <p>②アクシデントマネジメント時格納容器内多次元熱流動及び FP 挙動解析 (H20~H21 年度)</p> <p>以下では、格納容器再循環ユニットによる自然対流冷却の自然対流冷却発生のプロセスについて、上記報告書に纏められたこれらの2点の検討結果に基づき、以下に定量的考察を説明する。</p> <p>1. PANDA 試験の試験前解析</p> <p>PANDA 試験の試験前解析は H17~H21 度まで毎年実施しているが、ダクト系を模擬した再循環クォーの解析については H20 年度と H21 年度にて実施している。ここでこのうち最新の H21 年度報告書をモデルとして説明する。</p> <p>(1)解析モデルと解析条件</p>	<p>参考資料-8 格納容器再循環ユニットによる自然対流冷却発生プロセスの定量的考察</p> <p>格納容器再循環ユニットによる自然対流冷却の発生概念については図4-1に示した通りであり、冷却水通水後に過渡状態を経てユニット外側から下部ダクトへの定常的な流れが発生する。自然対流冷却が確立することに関しては、参考資料-5で示した OECD PANDA における実証試験や、独立行政法人 原子力安全基盤機構 (JNES) による同試験の解析による検証結果でも確認することができる。本参考資料では、JNES の解析結果を基にした自然対流冷却発生プロセスの定量的な考察を行う。</p> <p>JNES では、国のアクシデントマネジメント (AM) レビューやリスク上重要とされるシビアアクシデント (SA) 現象及び AM 策の有効性を評価するために、最新の試験研究等で得られた知見やデータを活用して解析ツールの整備が実施されており、数値流体力学解析手法を用いて格納容器内熱流動解析手法を整備し、試験データを用いて検証すること、さらに、代表的な格納容器 AM 策に適用したその有効性が評価されている。この一環として下記の2点の検討結果が報告されている。</p> <p><b>【1. PANDA 試験の試験前解析】</b></p> <p>格納容器内熱流動研究に関する OECD 国際協力プロジェクト PANDA 試験のデータを用いて格納容器内熱流動解析手法を検証するとともに、PANDA 試験の格納容器自然対流冷却試験シリーズの試験前解析を実施しており、クォー周辺の詳細流動等のクォー特性に係る有用な知見を得ている。</p> <p><b>【2. 実炉解析】</b></p> <p>上記で検証した解析手法を PWR 実炉の格納容器体系に適用して、SA 時に格納容器自然対流冷却を実施した場合のクォー除熱効果や格納容器内温度分布、混合ガスの濃度分布等を評価している。解析メッシュは上記より粗いものの、格納容器自然対流冷却 AM は格納容器内雰囲気を効果的に冷却させることを確認している。</p> <p>なお、これらの内容は以下の報告書に纏められている。</p> <p>①アクシデントマネジメント知識ベース整備に関する報告書 (格納容器内多次元流動解析手法の検証と自然対流冷却 AM 策への適用) (H17~H19 年度)</p> <p>②アクシデントマネジメント時格納容器内多次元熱流動及び FP 挙動解析 (H20~H21 年度)</p> <p>以下では、格納容器再循環ユニットによる自然対流冷却の自然対流冷却発生のプロセスについて、上記報告書に纏められたこれらの2点の検討結果に基づき、以下に定量的考察を説明する。</p> <p>1. PANDA 試験の試験前解析</p> <p>PANDA 試験の試験前解析は H17~H21 度まで毎年実施しているが、ダクト系を模擬した再循環クォーの解析については H20 年度と H21 年度にて実施している。ここでこのうち最新の H21 年度報告書をモデルとして説明する。</p> <p>(1)解析モデルと解析条件</p>	

泊発電所3号炉 SA基準適合性 比較表

第48条 最終ヒートシンクへ熱を輸送するための設備

大阪発電所3 / 4号炉	泊発電所3号炉	相違理由
<p>H21年度のPANDA試験のST4シリーズは自然対流冷却AM策を模擬した試験でクーラの配置、及びクーラ下部のダクト有無の影響について模擬格納容器内(DW)の流れに及ぼす影響を把握するものである。PANDA試験の解析モデルを図1に、解析条件を表1に示す。</p> <p>図1に示す通りで、クーラは伝熱管とケーシングで構成され、気体が入り出る一側面のみを開放する形状としている。伝熱管群は開放側面に面して奥行を持ち配置されている。クーラ下部へダクトを配置するケースでは、ケーシング奥側の伝熱管群が存在しない領域の中心にダクトを配置する形状としている。DW内のクーラの配置はDW内上段と中段に配置する2ケースを実施している。本説明では、ダクト有で、流入蒸気の成層化の影響を受け難いDW上段設置のケースST4-1をモデルケースとする。</p> <p>表1に示す通りで、DW内の初期圧力は1.3barで、SA時に想定される格納容器内への流入条件として前半1000秒(Phase1)は水蒸気のみが流入し、後半1000秒(Phase2)は水素ガスを模擬したヘリウムと水蒸気の混合ガスが流入する。本説明では、クーラ作動から自然対流の流れが形成され、除熱量が安定化するまでの過程を把握できるPhase1をモデルケースとする。</p>	<p>H21年度のPANDA試験のST4シリーズは自然対流冷却AM策を模擬した試験でクーラの配置、及びクーラ下部のダクト有無の影響について模擬格納容器内(DW)の流れに及ぼす影響を把握するものである。PANDA試験の解析モデルを図1に、解析条件を表1に示す。</p> <p>図1に示す通りで、クーラは伝熱管とケーシングで構成され、気体が入り出る一側面のみを開放する形状としている。伝熱管群は開放側面に面して奥行を持ち配置されている。クーラ下部へダクトを配置するケースでは、ケーシング奥側の伝熱管群が存在しない領域の中心にダクトを配置する形状としている。DW内のクーラの配置はDW内上段と中段に配置する2ケースを実施している。本説明では、ダクト有で、流入蒸気の成層化の影響を受け難いDW上段設置のケースST4-1をモデルケースとする。</p> <p>表1に示す通りで、DW内の初期圧力は1.3barで、SA時に想定される格納容器内への流入条件として前半1000秒(Phase1)は水蒸気のみが流入し、後半1000秒(Phase2)は水素ガスを模擬したヘリウムと水蒸気の混合ガスが流入する。本説明では、クーラ作動から自然対流の流れが形成され、除熱量が安定化するまでの過程を把握できるPhase1をモデルケースとする。</p>	



第48条 最終ヒートシンクへ熱を輸送するための設備

大阪発電所3/4号炉	泊発電所3号炉	相違理由																																																						
<p>図1 PANDA試験の試験前解析モデル図</p>	<p>図1 PANDA試験の試験前解析モデル図</p>																																																							
<p>表1 PANDA試験の試験前解析条件</p> <table border="1"> <thead> <tr> <th rowspan="2">ST4</th> <th colspan="3">DW内初期条件</th> <th colspan="3">ガス流入条件(インジェクション)</th> </tr> <tr> <th>圧力</th> <th>温度</th> <th>気相組成</th> <th>組成</th> <th>流速</th> <th>温度</th> </tr> </thead> <tbody> <tr> <td>Phase1</td> <td>1.3bar</td> <td>108℃</td> <td>空気</td> <td>水蒸気</td> <td>40m/s</td> <td>140℃</td> </tr> <tr> <td>Phase2</td> <td>Phase1 結果</td> <td>Phase1 結果</td> <td>Phase1 結果</td> <td>水蒸気 ヘリウム</td> <td>40m/s 25m/s</td> <td>140℃</td> </tr> </tbody> </table>	ST4	DW内初期条件			ガス流入条件(インジェクション)			圧力	温度	気相組成	組成	流速	温度	Phase1	1.3bar	108℃	空気	水蒸気	40m/s	140℃	Phase2	Phase1 結果	Phase1 結果	Phase1 結果	水蒸気 ヘリウム	40m/s 25m/s	140℃	<p>表1 PANDA試験の試験前解析条件</p> <table border="1"> <thead> <tr> <th rowspan="2">ST4</th> <th colspan="3">DW内初期条件</th> <th colspan="3">ガス流入条件(インジェクション)</th> </tr> <tr> <th>圧力</th> <th>温度</th> <th>気相組成</th> <th>組成</th> <th>流速</th> <th>温度</th> </tr> </thead> <tbody> <tr> <td>Phase1</td> <td>1.3bar</td> <td>108℃</td> <td>空気</td> <td>水蒸気</td> <td>40m/s</td> <td>140℃</td> </tr> <tr> <td>Phase2</td> <td>Phase1 結果</td> <td>Phase1 結果</td> <td>Phase1 結果</td> <td>水蒸気 ヘリウム</td> <td>40m/s 25m/s</td> <td>140℃</td> </tr> </tbody> </table>	ST4	DW内初期条件			ガス流入条件(インジェクション)			圧力	温度	気相組成	組成	流速	温度	Phase1	1.3bar	108℃	空気	水蒸気	40m/s	140℃	Phase2	Phase1 結果	Phase1 結果	Phase1 結果	水蒸気 ヘリウム	40m/s 25m/s	140℃	
ST4		DW内初期条件			ガス流入条件(インジェクション)																																																			
	圧力	温度	気相組成	組成	流速	温度																																																		
Phase1	1.3bar	108℃	空気	水蒸気	40m/s	140℃																																																		
Phase2	Phase1 結果	Phase1 結果	Phase1 結果	水蒸気 ヘリウム	40m/s 25m/s	140℃																																																		
ST4	DW内初期条件			ガス流入条件(インジェクション)																																																				
	圧力	温度	気相組成	組成	流速	温度																																																		
Phase1	1.3bar	108℃	空気	水蒸気	40m/s	140℃																																																		
Phase2	Phase1 結果	Phase1 結果	Phase1 結果	水蒸気 ヘリウム	40m/s 25m/s	140℃																																																		

大阪発電所3/4号炉	泊発電所3号炉	相違理由																																																								
<p>(2)解析結果</p> <p>クーラ除熱量及びDW内圧力の時間変化を図2、及び図3に示す。また、クーラ除熱がほぼ安定化した時刻での流速分布、温度分布、水蒸気モル分布を図5～図7に示す。</p> <p>図2の除熱量の時間変化より、除熱量は200秒までにほぼ安定化した状態となっており、その後は図3に示すDW内での圧力の上昇に追従して、増加する変化を示している。</p> <p>図5に示す1000秒後のDW内の流速分布図では、流れはクーラ入口から水平に侵入し、クーラ内で下降流となって下部ダクトを降下してダクト下部からDWへ流出する流れが形成されている。また、クーラ入口の流速分布は入口上部ほど高速の流れを示しており、クーラ下部では流れの一部が正面からクーラ外側へ下降流となってDWへ流出している。</p> <p>図6、図7の温度分布、水蒸気モル分布図ではクーラ内部、ダクト内部がDW内と比較して冷却され、水蒸気の割合が低下していることが確認できる。クーラ下部については冷却空気が滞留し、滞留空気の一部がクーラ下部から直接DW内へ流出することが確認できる。</p> <div data-bbox="392 582 817 853"> <table border="1"> <caption>図2 除熱量時間変化(ST4-1 試験)</caption> <thead> <tr> <th>時間 [秒]</th> <th>単位時間当たり除熱量 [MW]</th> </tr> </thead> <tbody> <tr><td>0</td><td>8.5</td></tr> <tr><td>200</td><td>9.0</td></tr> <tr><td>400</td><td>9.2</td></tr> <tr><td>600</td><td>9.4</td></tr> <tr><td>800</td><td>9.6</td></tr> <tr><td>1000</td><td>9.8</td></tr> </tbody> </table> </div> <div data-bbox="392 901 817 1173"> <table border="1"> <caption>図3 試験容器内平均圧力時間変化(ST4-1 試験)</caption> <thead> <tr> <th>時間 [秒]</th> <th>DW内平均圧力 [MPa]</th> </tr> </thead> <tbody> <tr><td>0</td><td>1.3</td></tr> <tr><td>200</td><td>1.4</td></tr> <tr><td>400</td><td>1.45</td></tr> <tr><td>600</td><td>1.5</td></tr> <tr><td>800</td><td>1.55</td></tr> <tr><td>1000</td><td>1.6</td></tr> </tbody> </table> </div>	時間 [秒]	単位時間当たり除熱量 [MW]	0	8.5	200	9.0	400	9.2	600	9.4	800	9.6	1000	9.8	時間 [秒]	DW内平均圧力 [MPa]	0	1.3	200	1.4	400	1.45	600	1.5	800	1.55	1000	1.6	<p>(2)解析結果</p> <p>クーラ除熱量及びDW内圧力の時間変化を図2、及び図3に示す。また、クーラ除熱がほぼ安定化した時刻での流速分布、温度分布、水蒸気モル分布を図5～図7に示す。</p> <p>図2の除熱量の時間変化より、除熱量は200秒までにほぼ安定化した状態となっており、その後は図3に示すDW内での圧力の上昇に追従して、増加する変化を示している。</p> <p>図5に示す1000秒後のDW内の流速分布図では、流れはクーラ入口から水平に侵入し、クーラ内で下降流となって下部ダクトを降下してダクト下部からDWへ流出する流れが形成されている。また、クーラ入口の流速分布は入口上部ほど高速の流れを示しており、クーラ下部では流れの一部が正面からクーラ外側へ下降流となってDWへ流出している。</p> <p>図6、図7の温度分布、水蒸気モル分布図ではクーラ内部、ダクト内部がDW内と比較して冷却され、水蒸気割合が低下していることが確認できる。クーラ下部については冷却空気が滞留し、滞留空気の一部がクーラ下部から直接DW内へ流出することが確認できる。</p> <div data-bbox="1299 582 1724 853"> <table border="1"> <caption>図2 除熱量時間変化(ST4-1 試験)</caption> <thead> <tr> <th>時間 [秒]</th> <th>単位時間当たり除熱量 [MW]</th> </tr> </thead> <tbody> <tr><td>0</td><td>8.5</td></tr> <tr><td>200</td><td>9.0</td></tr> <tr><td>400</td><td>9.2</td></tr> <tr><td>600</td><td>9.4</td></tr> <tr><td>800</td><td>9.6</td></tr> <tr><td>1000</td><td>9.8</td></tr> </tbody> </table> </div> <div data-bbox="1299 901 1724 1173"> <table border="1"> <caption>図3 試験容器内平均圧力時間変化(ST4-1 試験)</caption> <thead> <tr> <th>時間 [秒]</th> <th>DW内平均圧力 [MPa]</th> </tr> </thead> <tbody> <tr><td>0</td><td>1.3</td></tr> <tr><td>200</td><td>1.4</td></tr> <tr><td>400</td><td>1.45</td></tr> <tr><td>600</td><td>1.5</td></tr> <tr><td>800</td><td>1.55</td></tr> <tr><td>1000</td><td>1.6</td></tr> </tbody> </table> </div>	時間 [秒]	単位時間当たり除熱量 [MW]	0	8.5	200	9.0	400	9.2	600	9.4	800	9.6	1000	9.8	時間 [秒]	DW内平均圧力 [MPa]	0	1.3	200	1.4	400	1.45	600	1.5	800	1.55	1000	1.6	
時間 [秒]	単位時間当たり除熱量 [MW]																																																									
0	8.5																																																									
200	9.0																																																									
400	9.2																																																									
600	9.4																																																									
800	9.6																																																									
1000	9.8																																																									
時間 [秒]	DW内平均圧力 [MPa]																																																									
0	1.3																																																									
200	1.4																																																									
400	1.45																																																									
600	1.5																																																									
800	1.55																																																									
1000	1.6																																																									
時間 [秒]	単位時間当たり除熱量 [MW]																																																									
0	8.5																																																									
200	9.0																																																									
400	9.2																																																									
600	9.4																																																									
800	9.6																																																									
1000	9.8																																																									
時間 [秒]	DW内平均圧力 [MPa]																																																									
0	1.3																																																									
200	1.4																																																									
400	1.45																																																									
600	1.5																																																									
800	1.55																																																									
1000	1.6																																																									

大阪発電所3 / 4号炉	泊発電所3号炉	相違理由
<p data-bbox="168 172 1025 263">                     本試験前解析に対応するPANDA試験結果のクーラ除熱量の時間変化を図4に示す。                      図4に示す通りで、除熱量は約1000秒でほぼ安定化する結果となっており、図2に示す試験前解析の結果より若干安定化までの時間は要しているものの、ほぼ同様の傾向を示す結果となった。                 </p> <p data-bbox="403 774 884 798">図4 PANDA試験結果での除熱量時間変化(ST4試験)</p> <p data-bbox="241 849 987 1007">                     出典：Ralf Kapulla, Guillaume Mignot, and Domenico Paladino, Laboratory for Thermalhydraulics (LTH), Paul Scherrer Institut, 5232 Villigen, Switzerland, "Large-Scale Containment Cooler Performance Experiments under Accident Conditions", in Science and Technology of Nuclear Installations, "Severe Accident Analysis in Nuclear Power Plants"                 </p>	<p data-bbox="1084 172 1942 263">                     本試験前解析に対応するPANDA試験結果のクーラ除熱量の時間変化を図4に示す。                      図4に示す通りで、除熱量は約1000秒でほぼ安定化する結果となっており、図2に示す試験前解析の結果より若干安定化までの時間は要しているものの、ほぼ同様の傾向を示す結果となった。                 </p> <p data-bbox="1265 774 1747 798">図4 PANDA試験結果での除熱量時間変化(ST4試験)</p> <p data-bbox="1061 849 1906 978">                     出典：Ralf Kapulla, Guillaume Mignot, and Domenico Paladino, Laboratory for Thermalhydraulics (LTH), Paul Scherrer Institut, 5232 Villigen, Switzerland, "Large-Scale Containment Cooler Performance Experiments under Accident Conditions", in Science and Technology of Nuclear Installations, "Severe Accident Analysis in Nuclear Power Plants"                 </p>	



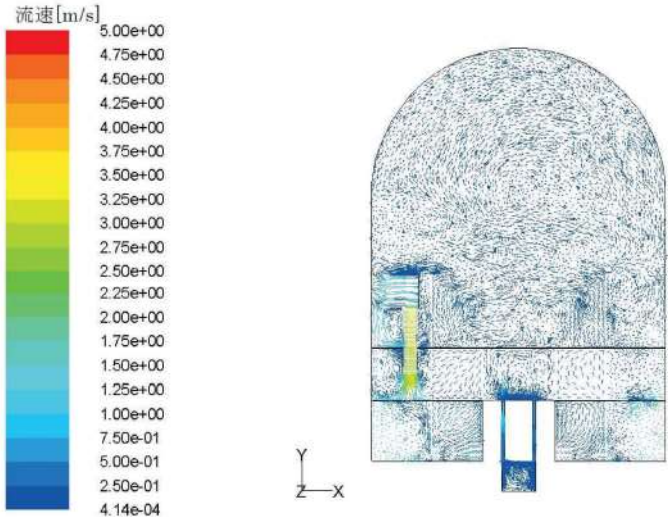
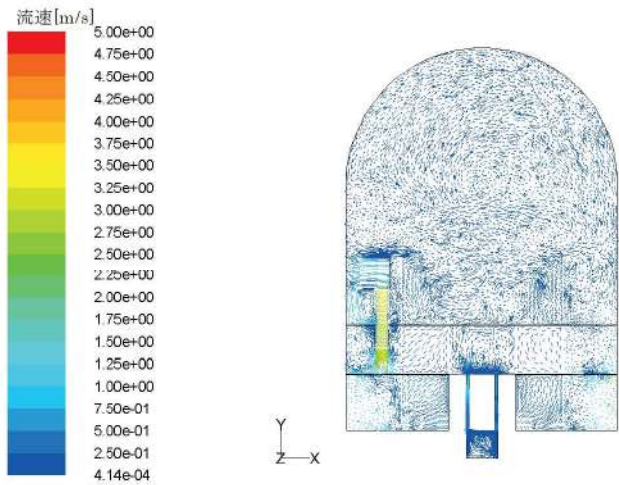
大阪発電所3 / 4号炉	泊発電所3号炉	相違理由
<div data-bbox="257 327 750 837"> </div> <p data-bbox="481 842 761 869">図5 流速分布(1000秒、ST4-1試験)</p> <div data-bbox="257 901 907 1204"> </div> <p data-bbox="324 1204 907 1228">図6 温度分布(1000秒、ST4-1試験) 図7 水蒸気モル分布(1000秒、ST4-1試験)</p>	<div data-bbox="1176 295 1668 805"> </div> <p data-bbox="1400 810 1668 837">図5 流速分布(1000秒、ST4-1試験)</p> <div data-bbox="1176 869 1825 1173"> </div> <p data-bbox="1232 1173 1825 1197">図6 温度分布(1000秒、ST4-1試験) 図7 水蒸気モル分布(1000秒、ST4-1試験)</p>	

第48条 最終ヒートシンクへ熱を輸送するための設備

大阪発電所3/4号炉	泊発電所3号炉	相違理由
<p>2. 実炉解析</p> <p>実炉解析はH17～H21度まで毎年実施しているが、再循環クーラの除熱量の時間変化が掲載されている報告書はH17～H19年度までである。ここでは1項、PANDA試験解析に基づく実炉解析と、除熱量の時間変化が掲載される最新のH19年度報告書をモデルとして説明する。</p> <p>2. 1 H21年度の実炉解析</p> <p>(1)解析モデルと解析条件</p> <p>H21年度の実炉解析は、ST4試験のPANDA試験解析で得た解析手法及び知見をドライ型PWR4ループプラントの実炉スケールの格納容器へ適用して重大事故時の条件下の実炉格納容器内の解析を実施している。</p> <p>実炉解析での解析モデルを図8に、解析条件を表2に示す。</p> <p>図8に示す通りで、格納容器モデルは上部コンパートメントの自由空間だけでなく、互いに階段やグレーチング等の開口で連通する下部コンパートメントを含む、全体系を対象としており、オペレーティングフロアにはダクト付きの再循環クーラを模擬している。</p> <p>再循環クーラの冷却モデルは、クーラ単体の除熱性能を基に、クーラ内各セルあたりの除熱量を時々刻々計算して、格納容器体系の除熱量を計算するもので、局所的な流動や雰囲気温度の影響及びダクト等の周辺形状の効果を解析できるモデルとなっている。</p> <p>SA後の事象進展が準静的に至った状態を想定して流動解析を実施している。破断箇所はループ室内、加圧器室の配管破断と原子炉下部ヘッドの破損を想定しているが本説明では代表的なケースとしてループ室破断をモデルケースとする。表2に示す通りで、初期条件はクーラが作動する条件で、かつ、格納容器内流れ場が安定している状態における温度、圧力及び気相組成を初期条件としている。流入条件は原子炉キャビティ室床面からガスを流入させている。</p>	<p>2. 実炉解析</p> <p>実炉解析はH17～H21度まで毎年実施しているが、再循環クーラの除熱量の時間変化が掲載されている報告書はH17～H19年度までである。ここでは1項、PANDA試験解析に基づく実炉解析と、除熱量の時間変化が掲載される最新のH19年度報告書をモデルとして説明する。</p> <p>2. 1 H21年度の実炉解析</p> <p>(1)解析モデルと解析条件</p> <p>H21年度の実炉解析は、ST4試験のPANDA試験解析で得た解析手法及び知見をドライ型PWR4ループプラントの実炉スケールの格納容器へ適用して重大事故時の条件下の実炉格納容器内の解析を実施している。</p> <p>実炉解析での解析モデルを図8に、解析条件を表2に示す。</p> <p>図8に示す通りで、格納容器モデルは上部コンパートメントの自由空間だけでなく、互いに階段やグレーチング等の開口で連通する下部コンパートメントを含む、全体系を対象としており、オペレーティングフロアにはダクト付きの再循環クーラを模擬している。</p> <p>再循環クーラの冷却モデルは、クーラ単体の除熱性能を基に、クーラ内各セルあたりの除熱量を時々刻々計算して、格納容器体系の除熱量を計算するもので、局所的な流動や雰囲気温度の影響及びダクト等の周辺形状の効果を解析できるモデルとなっている。</p> <p>SA後の事象進展が準静的に至った状態を想定して流動解析を実施している。破断箇所はループ室内、加圧器室の配管破断と原子炉下部ヘッドの破損を想定しているが本説明では代表的なケースとしてループ室破断をモデルケースとする。表2に示す通りで、初期条件はクーラが作動する条件で、かつ、格納容器内流れ場が安定している状態における温度、圧力及び気相組成を初期条件としている。流入条件は原子炉キャビティ室床面からガスを流入させている。</p>	

大阪発電所3/4号炉	泊発電所3号炉	相違理由																												
<div data-bbox="224 391 952 885" style="text-align: center;"> <p>再循環クーラ</p> <p>再循環クーラ</p> <p>格納容器解析体系 (正面)</p> <p>格納容器解析体系 (天上看下)</p> <p>Y-X</p> <p>図8 実炉解析モデル図</p> </div> <div data-bbox="481 1029 660 1061" style="text-align: center;"> <p>表2 実炉解析条件</p> </div> <table border="1" data-bbox="201 1053 940 1204"> <thead> <tr> <th rowspan="2">破断位置</th> <th colspan="2">格納容器内初期条件</th> <th colspan="2">ガス流入条件 (原子炉キャビティ)</th> </tr> <tr> <th>圧力/温度</th> <th>気相質量分率 空気/蒸気/水素</th> <th>流入流量</th> <th>質量分率 空気/蒸気/水素</th> </tr> </thead> <tbody> <tr> <td>ループ室</td> <td>0.164MPa/127℃</td> <td>0.54/0.43/0.03</td> <td>7.969×10<sup>-2</sup>kg/s</td> <td>0.44/0.30/0.26</td> </tr> </tbody> </table>	破断位置	格納容器内初期条件		ガス流入条件 (原子炉キャビティ)		圧力/温度	気相質量分率 空気/蒸気/水素	流入流量	質量分率 空気/蒸気/水素	ループ室	0.164MPa/127℃	0.54/0.43/0.03	7.969×10 <sup>-2</sup> kg/s	0.44/0.30/0.26	<div data-bbox="1187 454 1803 853" style="text-align: center;"> <p>再循環クーラ</p> <p>再循環クーラ</p> <p>格納容器解析体系 (正面)</p> <p>格納容器解析体系 (天上看下)</p> <p>Y-X</p> <p>図8 実炉解析モデル図</p> </div> <div data-bbox="1411 1021 1601 1053" style="text-align: center;"> <p>表2 実炉解析条件</p> </div> <table border="1" data-bbox="1086 1045 1926 1212"> <thead> <tr> <th rowspan="2">破断位置</th> <th colspan="2">格納容器内初期条件</th> <th colspan="2">ガス流入条件 (原子炉キャビティ)</th> </tr> <tr> <th>圧力/温度</th> <th>気相質量分率 空気/蒸気/水素</th> <th>流入流量</th> <th>質量分率 空気/蒸気/水素</th> </tr> </thead> <tbody> <tr> <td>ループ室</td> <td>0.164MPa/127℃</td> <td>0.54/0.43/0.03</td> <td>7.969×10<sup>-2</sup>kg/s</td> <td>0.44/0.30/0.26</td> </tr> </tbody> </table>	破断位置	格納容器内初期条件		ガス流入条件 (原子炉キャビティ)		圧力/温度	気相質量分率 空気/蒸気/水素	流入流量	質量分率 空気/蒸気/水素	ループ室	0.164MPa/127℃	0.54/0.43/0.03	7.969×10 <sup>-2</sup> kg/s	0.44/0.30/0.26	
破断位置		格納容器内初期条件		ガス流入条件 (原子炉キャビティ)																										
	圧力/温度	気相質量分率 空気/蒸気/水素	流入流量	質量分率 空気/蒸気/水素																										
ループ室	0.164MPa/127℃	0.54/0.43/0.03	7.969×10 <sup>-2</sup> kg/s	0.44/0.30/0.26																										
破断位置	格納容器内初期条件		ガス流入条件 (原子炉キャビティ)																											
	圧力/温度	気相質量分率 空気/蒸気/水素	流入流量	質量分率 空気/蒸気/水素																										
ループ室	0.164MPa/127℃	0.54/0.43/0.03	7.969×10 <sup>-2</sup> kg/s	0.44/0.30/0.26																										



大阪発電所3/4号炉	泊発電所3号炉	相違理由
<p>(2)解析結果</p> <p>格納容器内の流速分布、温度分布、水蒸気モル分布を図9～図11に示す。図9に示す3600秒後の流速分布図では、流れはクーラ入口から水平に侵入し、クーラ内で下降流となって下部ダクトを降下してダクト下部から格納容器へ流出する流れが形成されている。また、クーラ入口の流速分布は入口下部で低速の流線を示しており、クーラ下部では流れの一部が正面からクーラ外側へ下降流となって格納容器内へ流出している。図10、図11の温度分布、水蒸気モル分布図ではクーラ内部、ダクト内部が格納容器内と比較して冷却され、水蒸気の割合が低下していることが確認できる。クーラ下部については冷却空気が滞留し、滞留空気の一部がクーラ下部から直接格納容器内へ流出することが確認できる。</p>  <p>図9 流速分布(3600秒、ループ室破断)</p>	<p>(2)解析結果</p> <p>格納容器内の流速分布、温度分布、水蒸気モル分布を図9～図11に示す。図9に示す3600秒後の流速分布図では、流れはクーラ入口から水平に侵入し、クーラ内で下降流となって下部ダクトを降下してダクト下部から格納容器へ流出する流れが形成されている。また、クーラ入口の流速分布は入口下部で低速の流線を示しており、クーラ下部では流れの一部が正面からクーラ外側へ下降流となって格納容器内へ流出している。図10、図11の温度分布、水蒸気モル分布図ではクーラ内部、ダクト内部が格納容器内と比較して冷却され、水蒸気の割合が低下していることが確認できる。クーラ下部については冷却空気が滞留し、滞留空気の一部がクーラ下部から直接格納容器内へ流出することが確認できる。</p>  <p>図3.12 流速分布(ケース1:3600秒、z=0m)</p>	

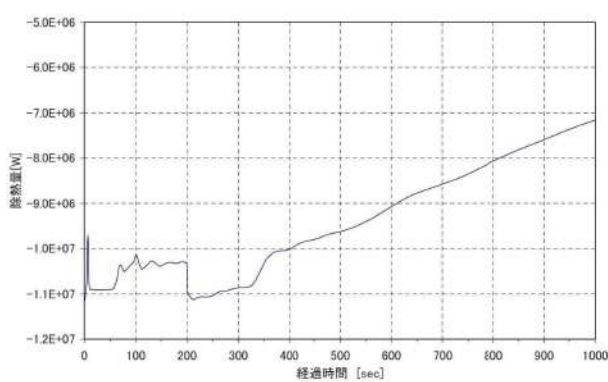
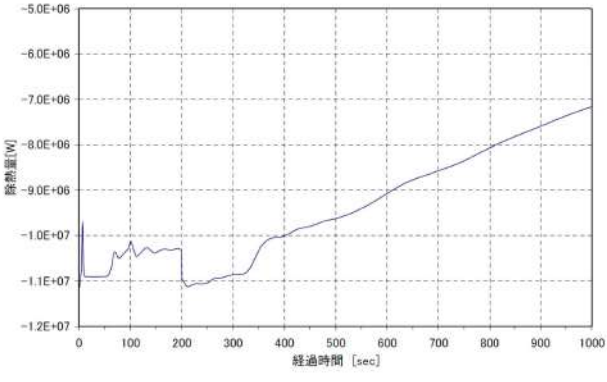
大阪発電所3 / 4号炉	泊発電所3号炉	相違理由
<div data-bbox="286 341 878 798"> <p>温度[K]</p> </div> <div data-bbox="488 810 779 833"> <p>図10 温度分布(3600秒、ループ室破断)</p> </div> <div data-bbox="302 858 878 1315"> <p>モル分率[-]</p> </div> <div data-bbox="474 1327 810 1350"> <p>図11 水蒸気モル分布(3600秒、ループ室破断)</p> </div>	<div data-bbox="1198 319 1792 775"> <p>温度[K]</p> </div> <div data-bbox="1400 788 1691 810"> <p>図10 温度分布(3600秒、ループ室破断)</p> </div> <div data-bbox="1214 836 1792 1292"> <p>モル分率[-]</p> </div> <div data-bbox="1388 1305 1724 1327"> <p>図11 水蒸気モル分布(3600秒、ループ室破断)</p> </div>	

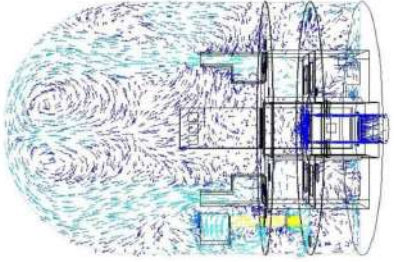
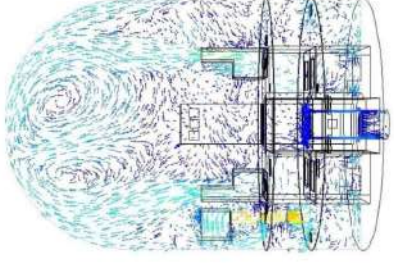
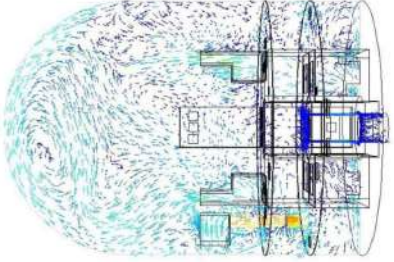
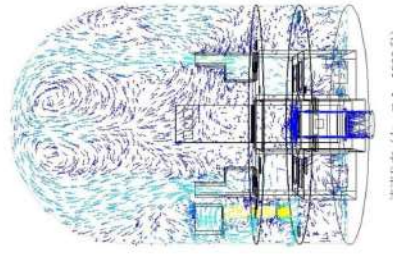
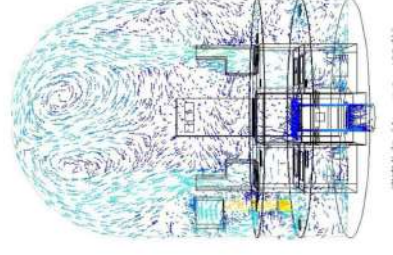
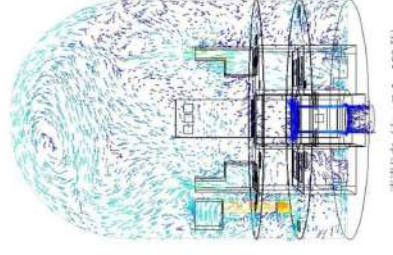


第48条 最終ヒートシンクへ熱を輸送するための設備

大阪発電所3/4号炉	泊発電所3号炉	相違理由																												
<p>2. 2 H19年度の実炉解析</p> <p>(1)解析モデルと解析条件</p> <p>H19年度の実炉解析は、ダクト無クーラを用いたTest25のPANDA試験解析で得た解析手法及び知見をドライ型PWR4ループプラントの実炉スケールの格納容器へ適用して重大事故時の条件下の実炉格納容器内の解析を実施している。</p> <p>実炉解析の解析モデルはH21年度と同様であり図8に示す。</p> <p>解析は定常計算にて格納容器内流動を確立させた後に、クーラを作動させて非定常計算を実施しており、破断箇所はループ室内、加圧器室の配管破断を想定しているが本説明では代表的なケースとしてループ室破断をモデルケースとする。解析条件は表3に示す。</p> <p style="text-align: center;">表3 実炉解析条件</p> <table border="1" data-bbox="183 539 952 694"> <thead> <tr> <th rowspan="2">破断位置</th> <th colspan="2">格納容器内初期条件</th> <th colspan="2">ガス流入条件(蒸気発生器基礎部)</th> </tr> <tr> <th>圧力/温度</th> <th>気相質量分率 空気/蒸気/水素</th> <th>流入流量</th> <th>流入温度</th> </tr> </thead> <tbody> <tr> <td>ループ室</td> <td>0.49MPa/140℃</td> <td>0.26/0.74/0.0</td> <td>10 kg/s /1.0kg/s</td> <td>152℃</td> </tr> </tbody> </table> <p>(2)解析結果</p> <p>クーラ除熱量の時間変化を図12に示す。また、解析開始から100秒、400秒、1000秒後の流速分布、温度分布、水蒸気質量分率分布を図13～図15に示す。</p> <p>図12の除熱量の時間変化より、クーラ作動開始後約15秒の間にクーラ除熱量が一時的に減少する期間があるが、これはクーラを通過する流れが確立するまでの期間に相当する。クーラを通過する流れがほぼ確立した15秒以降では小さな変動が時々見られる程度であり、300秒以降は除熱量がゆるやかに減少傾向となっているが、これは格納容器内雰囲気温度が全体的に低下しているためであり、クーラの冷却効果が非常に大きいものであることを示している。</p> <p>図13に示す流速分布図では、100秒後では既に安定した自然対流を形成しており、400秒後、1000秒後でもこの傾向に大きな変化はない。流れはクーラ入口から水平に侵入し、クーラ内で下降流となって下部ダクトを降下してダクト下部から格納容器へ流出する流れが形成されている。また、クーラ入口の流速分布は入口下部で低速の流線を示しており、クーラ下部では流れの一部が正面からクーラ外側へ下降流となって格納容器内へ流出している。また、図14、図15の温度分布、水蒸気質量分率分布図ではクーラ内部、ダクト内部が格納容器内と比較して冷却され、水蒸気の割合が低下していることが確認できる。クーラ下部については冷却空気が滞留し、滞留空気の一部がクーラ下部から直接格納容器内へ流出することが確認でき、これはH21年度の結果と同様である。</p>	破断位置	格納容器内初期条件		ガス流入条件(蒸気発生器基礎部)		圧力/温度	気相質量分率 空気/蒸気/水素	流入流量	流入温度	ループ室	0.49MPa/140℃	0.26/0.74/0.0	10 kg/s /1.0kg/s	152℃	<p>2. 2 H19年度の実炉解析</p> <p>(1)解析モデルと解析条件</p> <p>H19年度の実炉解析は、ダクト無クーラを用いたTest25のPANDA試験解析で得た解析手法及び知見をドライ型PWR4ループプラントの実炉スケールの格納容器へ適用して重大事故時の条件下の実炉格納容器内の解析を実施している。</p> <p>実炉解析の解析モデルはH21年度と同様であり図8に示す。</p> <p>解析は定常計算にて格納容器内流動を確立させた後に、クーラを作動させて非定常計算を実施しており、破断箇所はループ室内、加圧器室の配管破断を想定しているが本説明では代表的なケースとしてループ室破断をモデルケースとする。解析条件は表3に示す。</p> <p style="text-align: center;">表3 実炉解析条件</p> <table border="1" data-bbox="1093 539 1926 703"> <thead> <tr> <th rowspan="2">破断位置</th> <th colspan="2">格納容器内初期条件</th> <th colspan="2">ガス流入条件(蒸気発生器基礎部)</th> </tr> <tr> <th>圧力/温度</th> <th>気相質量分率 空気/蒸気/水素</th> <th>流入流量</th> <th>流入温度</th> </tr> </thead> <tbody> <tr> <td>ループ室</td> <td>0.49MPa/140℃</td> <td>0.26/0.74/0.0</td> <td>10kg/s/1.0kg/s</td> <td>152℃</td> </tr> </tbody> </table> <p>(2)解析結果</p> <p>クーラ除熱量の時間変化を図12に示す。また、解析開始から100秒、400秒、1000秒後の流速分布、温度分布、水蒸気質量分率分布を図13～図15に示す。</p> <p>図12の除熱量の時間変化より、クーラ作動開始後約15秒の間にクーラ除熱量が一時的に減少する期間があるが、これはクーラを通過する流れが確立するまでの期間に相当する。クーラを通過する流れがほぼ確立した15秒以降では小さな変動が時々見られる程度であり、300秒以降は除熱量がゆるやかに減少傾向となっているが、これは格納容器内雰囲気温度が全体的に低下しているためであり、クーラの冷却効果が非常に大きいものであることを示している。</p> <p>図13に示す流速分布図では、100秒後では既に安定した自然対流を形成しており、400秒後、1000秒後でもこの傾向に大きな変化はない。流れはクーラ入口から水平に侵入し、クーラ内で下降流となって下部ダクトを降下してダクト下部から格納容器へ流出する流れが形成されている。また、クーラ入口の流速分布は入口下部で低速の流線を示しており、クーラ下部では流れの一部が正面からクーラ外側へ下降流となって格納容器内へ流出している。また、図14、図15の温度分布、水蒸気質量分率分布図ではクーラ内部、ダクト内部が格納容器内と比較して冷却され、水蒸気の割合が低下していることが確認できる。クーラ下部については冷却空気が滞留し、滞留空気の一部がクーラ下部から直接格納容器内へ流出することが確認でき、これはH21年度の結果と同様である。</p>	破断位置	格納容器内初期条件		ガス流入条件(蒸気発生器基礎部)		圧力/温度	気相質量分率 空気/蒸気/水素	流入流量	流入温度	ループ室	0.49MPa/140℃	0.26/0.74/0.0	10kg/s/1.0kg/s	152℃	
破断位置		格納容器内初期条件		ガス流入条件(蒸気発生器基礎部)																										
	圧力/温度	気相質量分率 空気/蒸気/水素	流入流量	流入温度																										
ループ室	0.49MPa/140℃	0.26/0.74/0.0	10 kg/s /1.0kg/s	152℃																										
破断位置	格納容器内初期条件		ガス流入条件(蒸気発生器基礎部)																											
	圧力/温度	気相質量分率 空気/蒸気/水素	流入流量	流入温度																										
ループ室	0.49MPa/140℃	0.26/0.74/0.0	10kg/s/1.0kg/s	152℃																										



大阪発電所3 / 4号炉	泊発電所3号炉	相違理由
 <p data-bbox="492 790 739 821">図 12 除熱量時間変化(ケース1)</p>	 <p data-bbox="1411 790 1657 821">図 12 除熱量時間変化(ケース1)</p>	

大阪発電所3 / 4号炉	泊発電所3号炉	相違理由																																										
<div style="display: flex; justify-content: space-around;"> <div style="text-align: center;">  <p>流速分布 (ケース1: 1000秒)</p> </div> <div style="text-align: center;">  <p>流速分布 (ケース1: 400秒)</p> </div> <div style="text-align: center;">  <p>流速分布 (ケース1: 100秒)</p> </div> </div> <div style="margin-top: 10px;"> <p>流速 m/s</p> <table border="1"> <tr><td>6.00e+00</td></tr> <tr><td>5.70e+00</td></tr> <tr><td>5.40e+00</td></tr> <tr><td>5.10e+00</td></tr> <tr><td>4.80e+00</td></tr> <tr><td>4.50e+00</td></tr> <tr><td>4.20e+00</td></tr> <tr><td>3.90e+00</td></tr> <tr><td>3.60e+00</td></tr> <tr><td>3.30e+00</td></tr> <tr><td>3.00e+00</td></tr> <tr><td>2.70e+00</td></tr> <tr><td>2.40e+00</td></tr> <tr><td>2.10e+00</td></tr> <tr><td>1.80e+00</td></tr> <tr><td>1.50e+00</td></tr> <tr><td>1.20e+00</td></tr> <tr><td>9.00e-01</td></tr> <tr><td>6.00e-01</td></tr> <tr><td>3.00e-01</td></tr> <tr><td>0.00e+00</td></tr> </table> </div> <div style="text-align: center; margin-top: 20px;"> <p>図 13 流速分布図(ケース1)</p> </div>	6.00e+00	5.70e+00	5.40e+00	5.10e+00	4.80e+00	4.50e+00	4.20e+00	3.90e+00	3.60e+00	3.30e+00	3.00e+00	2.70e+00	2.40e+00	2.10e+00	1.80e+00	1.50e+00	1.20e+00	9.00e-01	6.00e-01	3.00e-01	0.00e+00	<div style="display: flex; justify-content: space-around;"> <div style="text-align: center;">  <p>流速分布 (ケース1: 1000秒)</p> </div> <div style="text-align: center;">  <p>流速分布 (ケース1: 400秒)</p> </div> <div style="text-align: center;">  <p>流速分布 (ケース1: 100秒)</p> </div> </div> <div style="margin-top: 10px;"> <p>流速 m/s</p> <table border="1"> <tr><td>6.00e+00</td></tr> <tr><td>5.70e+00</td></tr> <tr><td>5.40e+00</td></tr> <tr><td>5.10e+00</td></tr> <tr><td>4.80e+00</td></tr> <tr><td>4.50e+00</td></tr> <tr><td>4.20e+00</td></tr> <tr><td>3.90e+00</td></tr> <tr><td>3.60e+00</td></tr> <tr><td>3.30e+00</td></tr> <tr><td>3.00e+00</td></tr> <tr><td>2.70e+00</td></tr> <tr><td>2.40e+00</td></tr> <tr><td>2.10e+00</td></tr> <tr><td>1.80e+00</td></tr> <tr><td>1.50e+00</td></tr> <tr><td>1.20e+00</td></tr> <tr><td>9.00e-01</td></tr> <tr><td>6.00e-01</td></tr> <tr><td>3.00e-01</td></tr> <tr><td>0.00e+00</td></tr> </table> </div> <div style="text-align: center; margin-top: 20px;"> <p>図 13 流速分布図(ケース1)</p> </div>	6.00e+00	5.70e+00	5.40e+00	5.10e+00	4.80e+00	4.50e+00	4.20e+00	3.90e+00	3.60e+00	3.30e+00	3.00e+00	2.70e+00	2.40e+00	2.10e+00	1.80e+00	1.50e+00	1.20e+00	9.00e-01	6.00e-01	3.00e-01	0.00e+00	<p></p>
6.00e+00																																												
5.70e+00																																												
5.40e+00																																												
5.10e+00																																												
4.80e+00																																												
4.50e+00																																												
4.20e+00																																												
3.90e+00																																												
3.60e+00																																												
3.30e+00																																												
3.00e+00																																												
2.70e+00																																												
2.40e+00																																												
2.10e+00																																												
1.80e+00																																												
1.50e+00																																												
1.20e+00																																												
9.00e-01																																												
6.00e-01																																												
3.00e-01																																												
0.00e+00																																												
6.00e+00																																												
5.70e+00																																												
5.40e+00																																												
5.10e+00																																												
4.80e+00																																												
4.50e+00																																												
4.20e+00																																												
3.90e+00																																												
3.60e+00																																												
3.30e+00																																												
3.00e+00																																												
2.70e+00																																												
2.40e+00																																												
2.10e+00																																												
1.80e+00																																												
1.50e+00																																												
1.20e+00																																												
9.00e-01																																												
6.00e-01																																												
3.00e-01																																												
0.00e+00																																												

大阪発電所3 / 4号炉	泊発電所3号炉	相違理由
<p>温度 K</p> <ul style="list-style-type: none"> <li>4.00e+02</li> <li>4.15e+02</li> <li>4.10e+02</li> <li>4.05e+02</li> <li>4.00e+02</li> <li>3.95e+02</li> <li>3.90e+02</li> <li>3.85e+02</li> <li>3.80e+02</li> <li>3.75e+02</li> <li>3.70e+02</li> <li>3.65e+02</li> <li>3.60e+02</li> <li>3.55e+02</li> <li>3.50e+02</li> <li>3.45e+02</li> <li>3.40e+02</li> <li>3.35e+02</li> <li>3.30e+02</li> <li>3.25e+02</li> <li>3.20e+02</li> </ul> <p>温度分布 (ケース1: 100 秒)</p> <p>温度分布 (ケース1: 400 秒)</p> <p>温度分布 (ケース1: 1000 秒)</p>	<p>温度 K</p> <ul style="list-style-type: none"> <li>4.20e+02</li> <li>4.15e+02</li> <li>4.10e+02</li> <li>4.05e+02</li> <li>4.00e+02</li> <li>3.95e+02</li> <li>3.90e+02</li> <li>3.85e+02</li> <li>3.80e+02</li> <li>3.75e+02</li> <li>3.70e+02</li> <li>3.65e+02</li> <li>3.60e+02</li> <li>3.55e+02</li> <li>3.50e+02</li> <li>3.45e+02</li> <li>3.40e+02</li> <li>3.35e+02</li> <li>3.30e+02</li> <li>3.25e+02</li> <li>3.20e+02</li> </ul> <p>温度分布 (ケース1: 100 秒)</p> <p>温度分布 (ケース1: 400 秒)</p> <p>温度分布 (ケース1: 1000 秒)</p>	<p>相違理由</p>
<p>図 14 温度分布図(ケース1)</p>		<p>図 14 温度分布図(ケース1)</p>



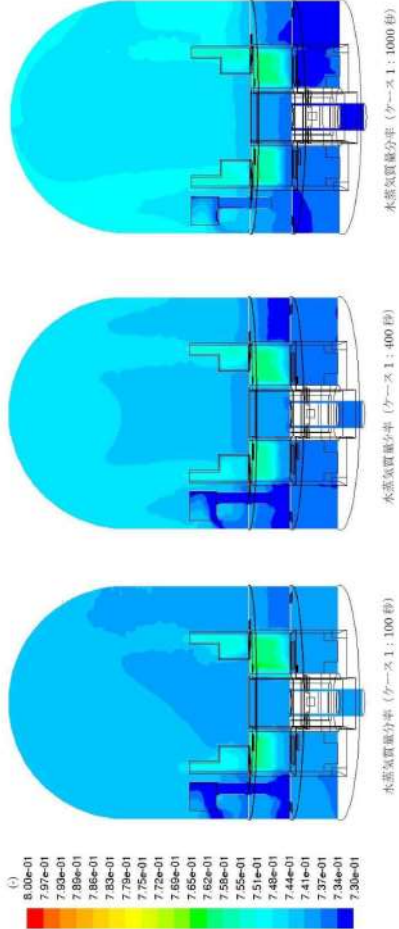
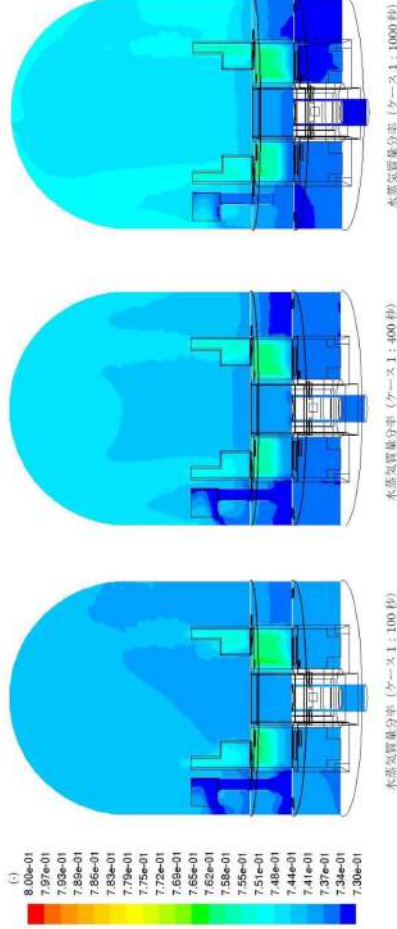
大阪発電所3 / 4号炉	泊発電所3号炉	相違理由
 <p>水蒸気質量分率 (ケース1: 100秒)</p> <p>水蒸気質量分率 (ケース1: 400秒)</p> <p>水蒸気質量分率 (ケース1: 1000秒)</p> <p>8.00e-01 7.97e-01 7.99e-01 7.89e-01 7.86e-01 7.83e-01 7.79e-01 7.75e-01 7.72e-01 7.69e-01 7.65e-01 7.62e-01 7.58e-01 7.55e-01 7.51e-01 7.48e-01 7.44e-01 7.41e-01 7.37e-01 7.34e-01 7.30e-01</p>	 <p>水蒸気質量分率 (ケース1: 100秒)</p> <p>水蒸気質量分率 (ケース1: 400秒)</p> <p>水蒸気質量分率 (ケース1: 1000秒)</p> <p>8.00e-01 7.97e-01 7.93e-01 7.88e-01 7.86e-01 7.83e-01 7.79e-01 7.77e-01 7.72e-01 7.69e-01 7.65e-01 7.62e-01 7.58e-01 7.55e-01 7.51e-01 7.48e-01 7.44e-01 7.41e-01 7.37e-01 7.34e-01 7.30e-01</p>	

図 15 水蒸気質量分率分布図(ケース1)

図 15 水蒸気質量分率分布図(ケース1)

大阪発電所3/4号炉	泊発電所3号炉	相違理由
<p>3. PANDA 試験と実機条件との比較</p> <p>PANDA 試験のクーラモデルと実機再循環ユニットのダクト系を含めた形状は、それぞれ図1及び参考資料0の図1-2に示すようにほぼ同様（相似）な形状をしており、実機の方が大型である。</p> <p>一方、自然対流の流れの安定化には、主としてドラフト力と圧力損失、ユニット外からユニット内への初期流れの形成が影響するものと考えられる。ここで、ユニットの単位除熱能力（単位通過面積当たりの除熱量、及び単位流速を流した場合のコイル前後の温度（密度）変化量）が同様とした場合を想定すると、スケールの変化が生じた場合には下記の通り、圧力損失は同等のまま、ドラフト力の増加と初期流れの形成時間の遅れの影響は相殺される方向となる。その結果として、自然対流の安定化までの時間については、PANDA 試験と実機で大きな差異は発生しないものと予想される。</p> <ul style="list-style-type: none"> <li>・ドラフト力=ユニット内外の密度差×ドラフト高さであるため、スケールが大きい実機の方がドラフト高さが大きい分ドラフト力も大きくなり、自然対流の流速が速くなる。</li> <li>・圧力損失=抵抗係数×動圧であり、抵抗係数はスケールに影響しないために、流速が一定であれば圧力損失はスケールが変化しても変わらない。</li> <li>・ユニット外から内への初期の流れの形成は、ユニット内の容積とユニットの除熱能力に主として影響されるが、容積はスケールの三乗に比例するのに対して、除熱能力（伝熱面積）は二乗に比例するために、流速一定であればスケールが大きい実機の方が初期の流れの形成については時間を要する傾向となる。</li> </ul>	<p>3. PANDA 試験と実機条件との比較</p> <p>PANDA 試験のクーラモデルと実機再循環ユニットのダクト系を含めた形状は、それぞれ図1及び参考資料0の図1-2に示すようにほぼ同様（相似）な形状をしており、実機の方が大型である。</p> <p>一方、自然対流の流れの安定化には、主としてドラフト力と圧力損失、ユニット外からユニット内への初期流れの形成が影響するものと考えられる。ここで、ユニットの単位除熱能力（単位通過面積当たりの除熱量、及び単位流速を流した場合のコイル前後の温度（密度）変化量）が同様とした場合を想定すると、スケールの変化が生じた場合には下記の通り、圧力損失は同等のまま、ドラフト力の増加と初期流れの形成時間の遅れの影響は相殺される方向となる。その結果として、自然対流の安定化までの時間については、PANDA 試験と実機で大きな差異は発生しないものと予想される。</p> <ul style="list-style-type: none"> <li>・ドラフト力=ユニット内外の密度差×ドラフト高さであるため、スケールが大きい実機の方がドラフト高さが大きい分ドラフト力も大きくなり、自然対流の流速が速くなる。</li> <li>・圧力損失=抵抗係数×動圧であり、抵抗係数はスケールに影響しないために、流速が一定であれば圧力損失はスケールが変化しても変わらない。</li> <li>・ユニット外から内への初期の流れの形成は、ユニット内の容積とユニットの除熱能力に主として影響されるが、容積はスケールの三乗に比例するのに対して、除熱能力（伝熱面積）は二乗に比例するために、流速一定であればスケールが大きい実機の方が初期の流れの形成については時間を要する傾向となる。</li> </ul>	



第48条 最終ヒートシンクへ熱を輸送するための設備

大阪発電所3 / 4号炉	泊発電所3号炉	相違理由
<p>4. まとめ</p> <p>PANDA試験の試験前解析の結果では、自然対流冷却の除熱量はクーラ作動から200秒程度で安定化し、また、対応する実際のPANDA試験結果においても1000秒程で安定化している。さらに、実炉解析では、15秒程度で流れが形成され、300秒程度で流れが安定化する結果が得られている。</p> <p>安定化した状態においては、クーラ周囲の流れはクーラ入口から水平に侵入し、クーラ内で下降流となって下部ダクトを降下してダクト下部から排出する流れが形成される。また、クーラ入口の流速分布は入口上部ほど高速の流線を示し、クーラ下部では流れの一部が正面からクーラ外側へ下降流となって流出している。クーラ周囲の温度分布、水蒸気モル分布はクーラ内部、ダクト内部が容器内と比較して冷却され、水蒸気の割合が低下している。クーラ下部については冷却空気が滞留し、滞留空気の一部がクーラ下部から直接外側へ流出する。これらの流況は、PANDA試験解析、実炉解析の結果において確認できている。</p> <p>以上より、格納容器再循環ユニットによる自然対流発生のプロセスについて、再循環ユニットが冷却に寄与し始める初期状態から約十数分以内に、ユニット外側からダクトへの下降流が発生し定常的な自然対流冷却状態に至ることが、PANDA試験と試験前解析及び実炉解析の条件下において定量的に確認されていると言える。</p> <p>実機の格納容器再循環ユニットは、PANDA試験等のクーラと基本的な構造、仕組みは類似（形状は相似）していることから、実機において上記の知見と大きく異なる挙動が発生することは考え難い。しかしながら、PANDA試験モデル及び条件と実機では詳細が異なることが予想されることから、初期状態から自然対流冷却安定化までの時間やそれが有効性評価に与える影響については定量的に把握しておくことが重要である。そのために、今後、PANDA試験の詳細な試験結果を含めたデータの分析を行うこと等により知見の拡充を図り、引き続き実機での挙動を定量的に分析することとする。</p> <p style="text-align: right;">以上</p>	<p>4. まとめ</p> <p>PANDA試験の試験前解析の結果では、自然対流冷却の除熱量はクーラ作動から200秒程度で安定化し、また、対応する実際のPANDA試験結果においても1000秒程で安定化している。さらに、実炉解析では、15秒程度で流れが形成され、300秒程度で流れが安定化する結果が得られている。</p> <p>安定化した状態においては、クーラ周囲の流れはクーラ入口から水平に侵入し、クーラ内で下降流となって下部ダクトを降下してダクト下部から排出する流れが形成される。また、クーラ入口の流速分布は入口上部ほど高速の流線を示し、クーラ下部では流れの一部が正面からクーラ外側へ下降流となって流出している。クーラ周囲の温度分布、水蒸気モル分布はクーラ内部、ダクト内部が容器内と比較して冷却され、水蒸気の割合が低下している。クーラ下部については冷却空気が滞留し、滞留空気の一部がクーラ下部から直接外側へ流出する。これらの流況は、PANDA試験解析、実炉解析の結果において確認できている。</p> <p>以上より、格納容器再循環ユニットによる自然対流発生のプロセスについて、再循環ユニットが冷却に寄与し始める初期状態から約十数分以内に、ユニット外側からダクトへの下降流が発生し定常的な自然対流冷却状態に至ることが、PANDA試験の試験前解析及び実炉解析の結果から定量的に確認されていると言える。</p> <p>実機の格納容器再循環ユニットは、PANDA試験等のクーラと基本的な構造、仕組みは類似（形状は相似）していることから、実機において上記の知見と大きく異なる挙動が発生することは考え難い。しかしながら、PANDA試験モデル及び条件と実機では詳細が異なることが予想されることから、初期状態から自然対流冷却安定化までの時間やそれが有効性評価に与える影響については定量的に把握しておくことが重要である。そのために、今後、PANDA試験の詳細な試験結果を含めたデータの分析を行うこと等により知見の拡充を図り、引き続き実機での挙動を定量的に分析することとする。</p> <p style="text-align: right;">以上</p>	



大阪発電所3 / 4号炉	泊発電所3号炉	相違理由
<p style="text-align: center;">参考文献</p> <p>1. Evaluation of the Cooling Performance of Non Safety Grade Air Recirculation System Cooling Coils (JAERI-memo 08-127, June 1996, "PROCEEDINGS OF THE WORKSHOP ON SEVERE ACCIDENT RESEARCH IN JAPAN (SARJ・95) December 4-6, 1995, Tokyo Japan")</p> <p>2. Ralf Kapulla, Guillaume Mignot, and Domenico Paladino, "Large-Scale Containment Cooler Performance Experiments under Accident Conditions", Hindawi Publishing Corporation Science and Technology of Nuclear Installations Volume 2012, Article ID 943197, 20 pages</p> <p>3. アクシデントマネジメント知識ベース整備に関する報告書（格納容器内多次元流動解析手法の検証と自然対流冷却AM策への適用）(H17～H19年度) 独立行政法人 原子力安全基盤機構 事業成果報告書</p> <p>4. アクシデントマネジメント時格納容器内多次元熱流動及びFP挙動解析(H20～H21年度)独立行政法人 原子力安全基盤機構 事業成果報告書</p>	<p style="text-align: center;">参考文献</p> <p>1. Evaluation of the Cooling Performance of Non Safety Grade Air Recirculation System Cooling Coils (JAERI-memo 08-127, June 1996, "PROCEEDINGS OF THE WORKSHOP ON SEVERE ACCIDENT RESEARCH IN JAPAN (SARJ・95) December 4-6, 1995, Tokyo Japan")</p> <p>2. Ralf Kapulla, Guillaume Mignot, and Domenico Paladino, "Large-Scale Containment Cooler Performance Experiments under Accident Conditions", Hindawi Publishing Corporation Science and Technology of Nuclear Installations Volume 2012, Article ID 943197, 20 pages</p> <p>3. アクシデントマネジメント知識ベース整備に関する報告書（格納容器内多次元流動解析手法の検証と自然対流冷却AM策への適用）(H17～H19年度) 独立行政法人 原子力安全基盤機構 事業成果報告書</p> <p>4. アクシデントマネジメント時格納容器内多次元熱流動及びFP挙動解析 (H20～H21年度) 独立行政法人 原子力安全基盤機構 事業成果報告書</p>	

大阪発電所3/4号炉	泊発電所3号炉	相違理由
<p data-bbox="248 169 943 193">参考資料-9 格納容器再循環ユニットラフフィルタ撤去による影響について</p> <p data-bbox="147 239 566 263">1. 格納容器再循環ユニットラフフィルタの機能</p> <p data-bbox="165 274 1039 365">換気空調設備においては、コイルの上流側にコイルの汚れによる伝熱性能低下を考慮して基本的にコイル上流側にラフィルタを設置しており、格納容器再循環ユニットも冷却コイルの前面にラフフィルタを設置している。</p> <p data-bbox="147 410 642 434">2. 格納容器再循環ユニットラフフィルタ撤去による影響</p> <p data-bbox="165 443 1039 534">添付に大阪3/4号機の格納容器再循環ユニットラフフィルタの差圧データを示す。当該フィルタの差圧上昇はほとんどなく、空気の清浄度は良いと判断でき、格納容器再循環ユニットにフィルタがなくても問題はない。</p> <p data-bbox="165 683 1039 807">一方、重大事故時においては、エアロゾル発生による悪影響が懸念されるが、自然対流冷却開始時点ではエアロゾルはCVスプレーにより除去できるため、格納容器内に有意なエアロゾルの浮遊はないことから、格納容器再循環ユニットによる自然対流冷却について、エアロゾルによる有意な除熱性能劣化の影響はない。(参考資料-2参照)</p> <p data-bbox="147 852 230 876">3. まとめ</p> <p data-bbox="165 885 1039 976">大阪3/4号機の格納容器再循環ユニットに内蔵しているラフフィルタは、冷却コイルの汚れによる伝熱性能低下を防止する目的で設置しているが、これまでフィルタ差圧の上昇はほとんど無く、ラフフィルタがなくても問題ないと判断できる。</p> <p data-bbox="165 987 1039 1078">また、重大事故時においても自然対流冷却開始時点では格納容器内に有意なエアロゾルの浮遊はないため、エアロゾルによる有意な除熱性能劣化の影響はない。従って、格納容器再循環ユニットのラフフィルタの撤去による悪影響はない。</p> <p data-bbox="1003 1123 1039 1147">以上</p>	<p data-bbox="1167 169 1850 193">参考資料-9 格納容器再循環ユニット粗フィルタ撤去による影響について</p> <p data-bbox="1064 239 1458 263">1. 格納容器再循環ユニット粗フィルタの機能</p> <p data-bbox="1081 274 1955 365">換気空調設備においては、コイルの上流側にコイルの汚れによる伝熱性能低下を考慮して基本的にコイル上流側にラフィルタを設置しており、格納容器再循環ユニットも冷却コイルの前面に粗フィルタを設置している。</p> <p data-bbox="1064 410 1536 434">2. 格納容器再循環ユニット粗フィルタ撤去による影響</p> <p data-bbox="1081 443 1955 501">泊3号炉の格納容器再循環ユニット粗フィルタは294Paの差圧を目安に交換をする運用をしているが、2009年12月の運転開始以来、フィルタ交換の実績はない。</p> <p data-bbox="1081 512 1955 603">また、同様の仕様のフィルタ、フィルタユニットの1、2号炉については、既に2000年よりプラント運転中D号機の粗フィルタを撤去した運用を行っているが、4定検に1度の目視点検においても、ユニットのコイルが汚れるような現象は見られていない。</p> <p data-bbox="1081 614 1955 671">以上より、プラント運転中の格納容器内雰囲気空気の清浄度は良いと判断でき、格納容器再循環ユニットにフィルタがなくても問題はない。</p> <p data-bbox="1081 683 1955 807">一方、重大事故時においては、エアロゾル発生による悪影響が懸念されるが、自然対流冷却開始時点ではエアロゾルはCVスプレーにより除去できるため、格納容器内に有意なエアロゾルの浮遊はないことから、格納容器再循環ユニットによる自然対流冷却について、エアロゾルによる有意な除熱性能劣化の影響はない。(参考資料-2参照)</p> <p data-bbox="1064 852 1146 876">3. まとめ</p> <p data-bbox="1081 885 1955 976">泊3号炉の格納容器再循環ユニットに内蔵している粗フィルタは、冷却コイルの汚れによる伝熱性能低下を防止する目的で設置しているが、これまでフィルタ差圧の上昇はほとんど無く、粗フィルタがなくても問題ないと判断できる。</p> <p data-bbox="1081 987 1955 1078">また、重大事故時においても自然対流冷却開始時点では格納容器内に有意なエアロゾルの浮遊はないため、エアロゾルによる有意な除熱性能劣化の影響はない。従って、格納容器再循環ユニットの粗フィルタの撤去による悪影響はない。</p> <p data-bbox="1912 1123 1948 1147">以上</p>	<p data-bbox="1977 443 2096 467">記載方針の相違</p> <p data-bbox="1977 478 2121 703">・大阪は差圧データを添付しているが、泊3号では実績値が少ないため、環境条件が同等と考える泊1,2号の状況を補足記載している。</p> <p data-bbox="1977 922 2096 946">設備名称の相違</p>

大阪発電所3 / 4号炉	泊発電所3号炉	相違理由																																																																																				
<p style="text-align: center;">添付</p> <div style="border: 2px solid blue; padding: 10px; margin: 20px auto; width: fit-content;"> <p style="text-align: center;">大阪3/4号機格納容器再循環ユニットラフフィルタの差圧実績</p> <table border="1" style="width: 100%; border-collapse: collapse; text-align: center;"> <thead> <tr> <th rowspan="2">定検回数</th> <th colspan="4">ラフフィルタ差圧[Pa]</th> </tr> <tr> <th>3号機A</th> <th>3号機D</th> <th>4号機A</th> <th>4号機D</th> </tr> </thead> <tbody> <tr><td>1</td><td>220</td><td>220</td><td>205</td><td>235</td></tr> <tr><td>2</td><td>215</td><td>210</td><td>215</td><td>235</td></tr> <tr><td>3</td><td>215</td><td>205</td><td>220</td><td>230</td></tr> <tr><td>4</td><td>225</td><td>215</td><td>225</td><td>230</td></tr> <tr><td>5</td><td>225</td><td>215</td><td>235</td><td>240</td></tr> <tr><td>6</td><td>230</td><td>215</td><td>250</td><td>238</td></tr> <tr><td>7</td><td>235</td><td>220</td><td>260</td><td>240</td></tr> <tr><td>8</td><td>235</td><td>235</td><td>210(交換)</td><td>210(交換)</td></tr> <tr><td>9</td><td>250</td><td>240</td><td>220</td><td>220</td></tr> <tr><td>10</td><td>205(交換)</td><td>220(交換)</td><td>200</td><td>220</td></tr> <tr><td>11</td><td>205</td><td>210</td><td>210</td><td>230</td></tr> <tr><td>12</td><td>215</td><td>225</td><td>215</td><td>240</td></tr> <tr><td>13</td><td>220</td><td>230</td><td>225</td><td>240</td></tr> <tr><td>14</td><td>220</td><td>235</td><td>235</td><td>240</td></tr> <tr><td>15</td><td>230</td><td>235</td><td></td><td></td></tr> </tbody> </table> <p>フィルタ交換目安：290Pa</p> </div> <p style="text-align: right; margin-top: 20px;">48-8-83</p>	定検回数	ラフフィルタ差圧[Pa]				3号機A	3号機D	4号機A	4号機D	1	220	220	205	235	2	215	210	215	235	3	215	205	220	230	4	225	215	225	230	5	225	215	235	240	6	230	215	250	238	7	235	220	260	240	8	235	235	210(交換)	210(交換)	9	250	240	220	220	10	205(交換)	220(交換)	200	220	11	205	210	210	230	12	215	225	215	240	13	220	230	225	240	14	220	235	235	240	15	230	235				<p style="color: blue; text-decoration: underline;">記載方針の相違</p>
定検回数		ラフフィルタ差圧[Pa]																																																																																				
	3号機A	3号機D	4号機A	4号機D																																																																																		
1	220	220	205	235																																																																																		
2	215	210	215	235																																																																																		
3	215	205	220	230																																																																																		
4	225	215	225	230																																																																																		
5	225	215	235	240																																																																																		
6	230	215	250	238																																																																																		
7	235	220	260	240																																																																																		
8	235	235	210(交換)	210(交換)																																																																																		
9	250	240	220	220																																																																																		
10	205(交換)	220(交換)	200	220																																																																																		
11	205	210	210	230																																																																																		
12	215	225	215	240																																																																																		
13	220	230	225	240																																																																																		
14	220	235	235	240																																																																																		
15	230	235																																																																																				